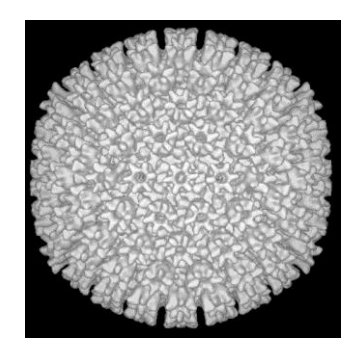
Échographie et infections congénitales





www.infections-grossesse.com

Professeur O. Picone

Service de Gynécologie-Obstétrique,

Hôpital Louis Mourier, Colombes















Cette image correspond à

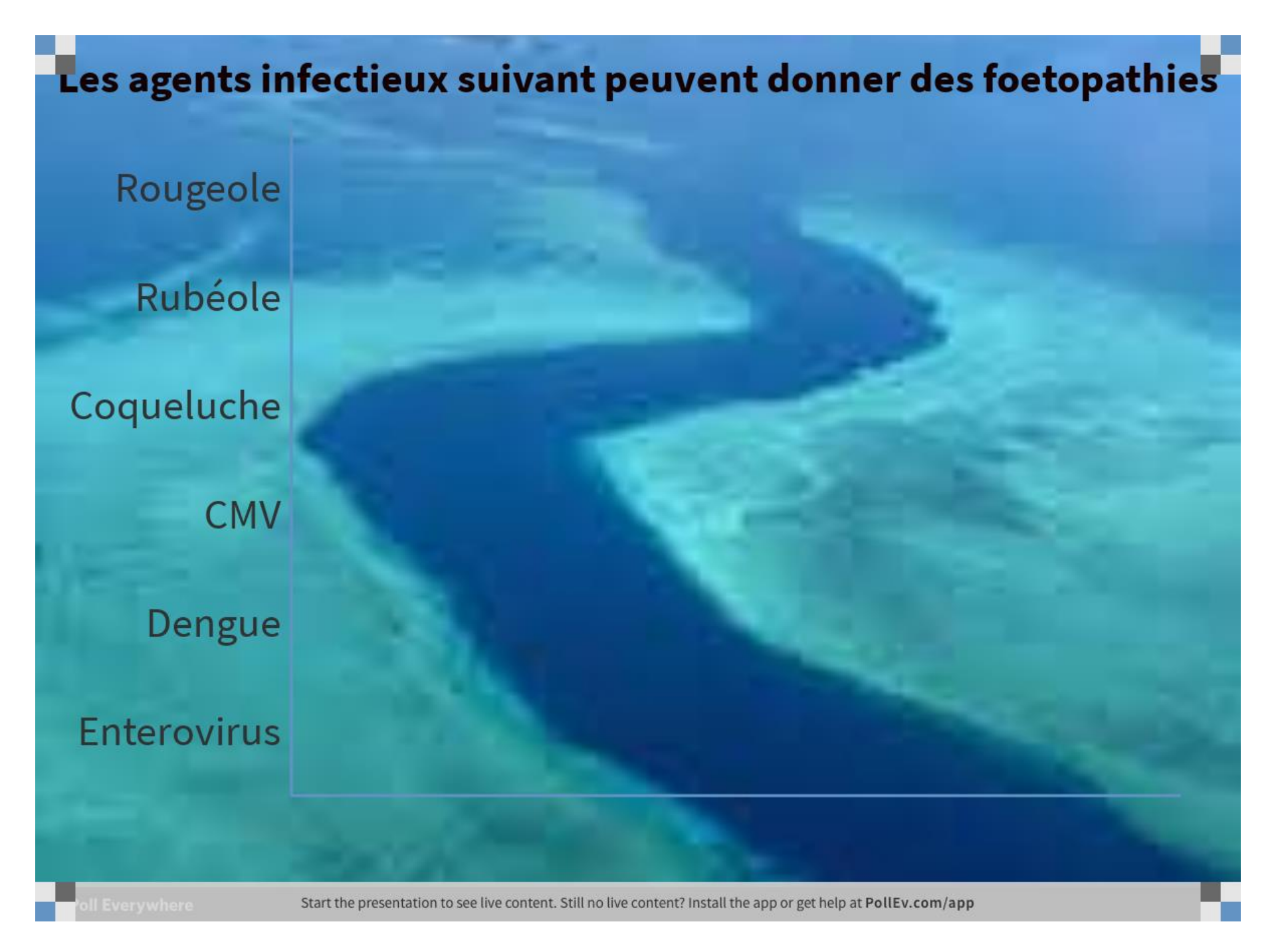
une bride intra ventriculaire



une zone de porencephalie

ne se voit que dans le CMV

est de bon pronostic



Toxoplasma gondii (protozooaire)

1ère cause d'infection parasitaire congénitale

54% des femmes sont immunisées

2% de séroconversions chez les autres

1500 à 2000 nouveaux nés infectés par an

Diagnostic Échographique

Dilatations ventriculaires bilatérales et symétriques

Calcifications cérébrales

Intestin hyperéchogène

Placentomégalie

Hépatomégalie, calcifications hépatiques, ascite, épanchement pleural ou péricardique

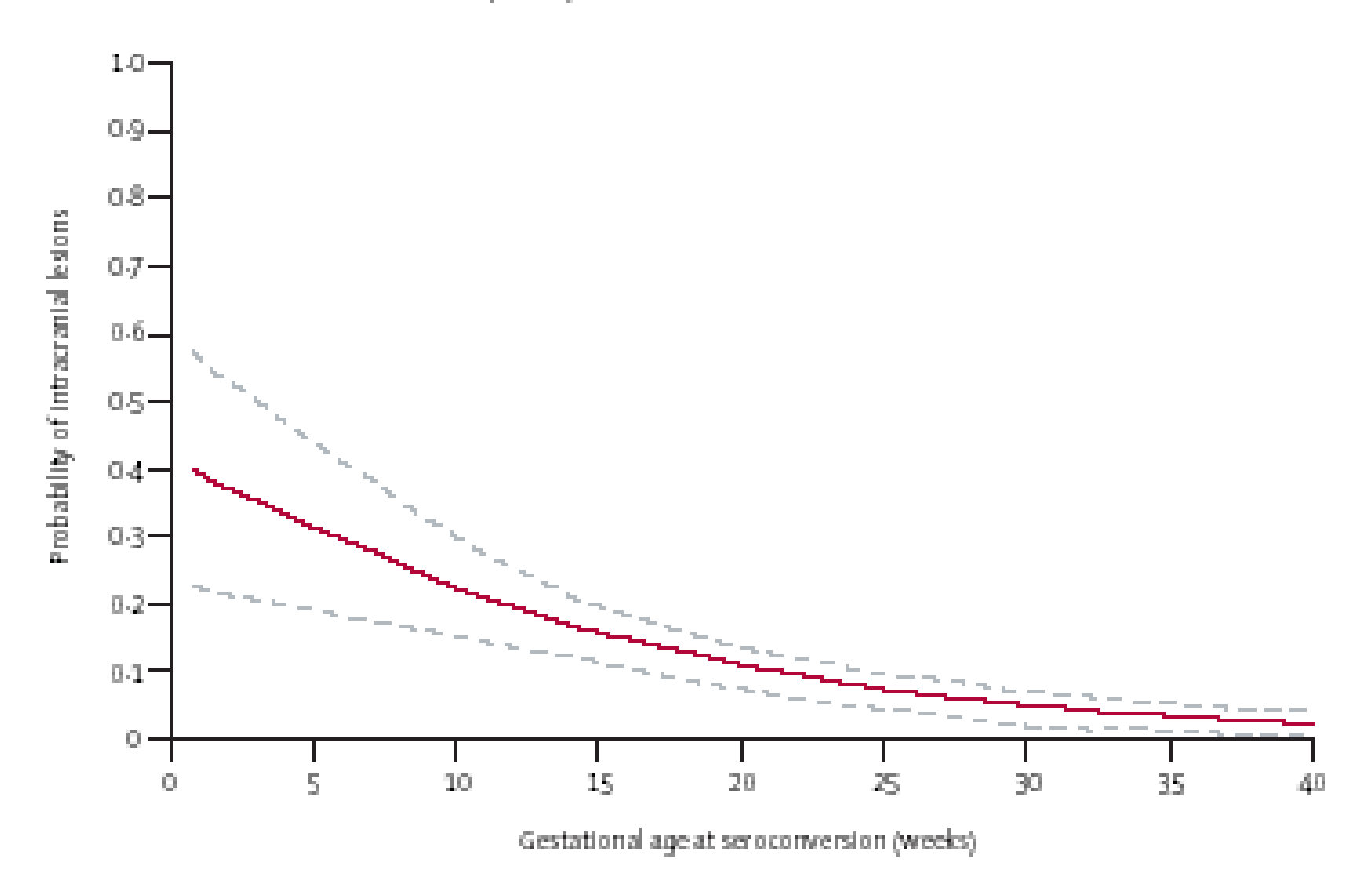
Conséquences foetales

T1: FCS

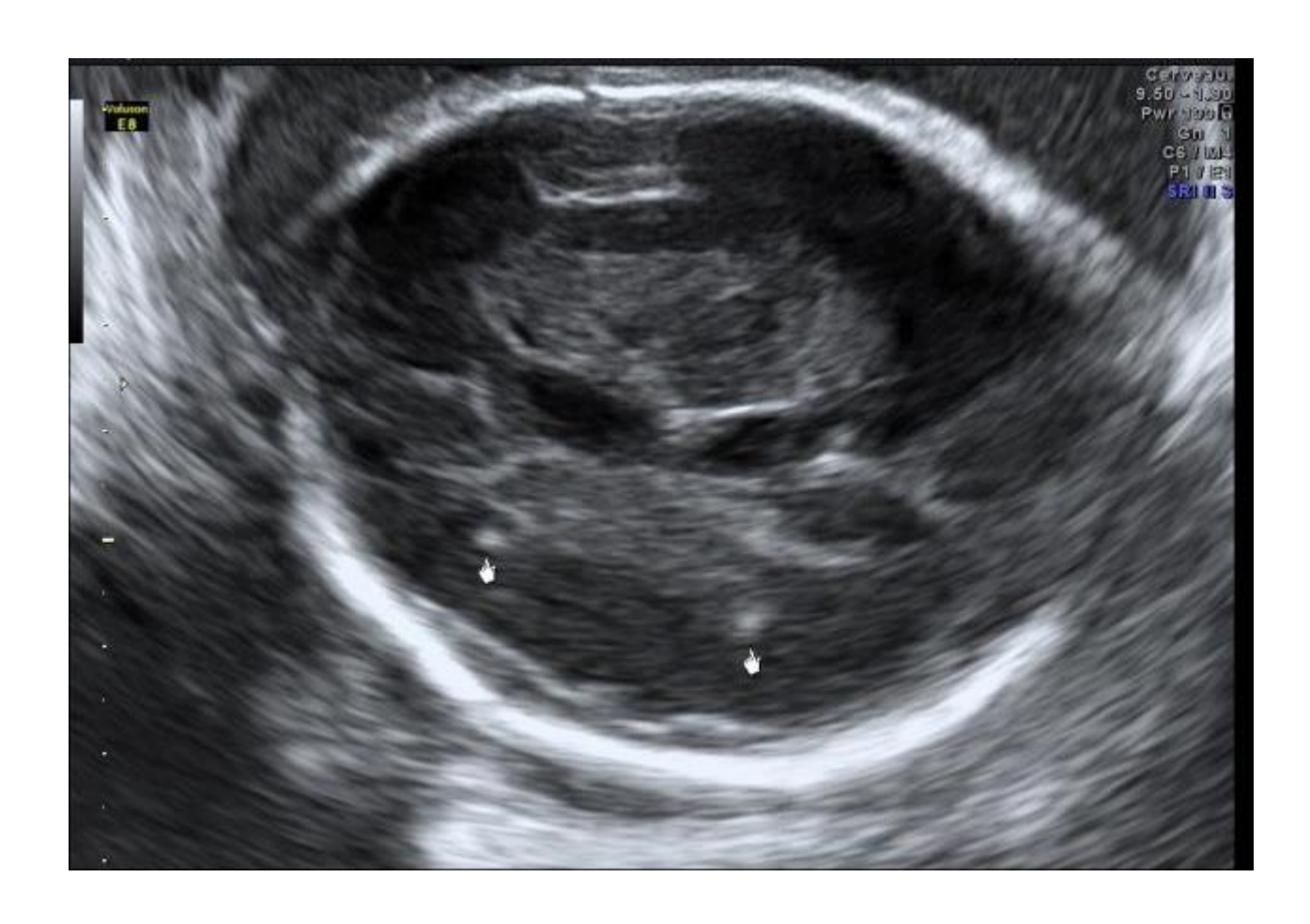
T2: Hydrocéphalie, calcifications cérébrales, choriorétinite, MFIU

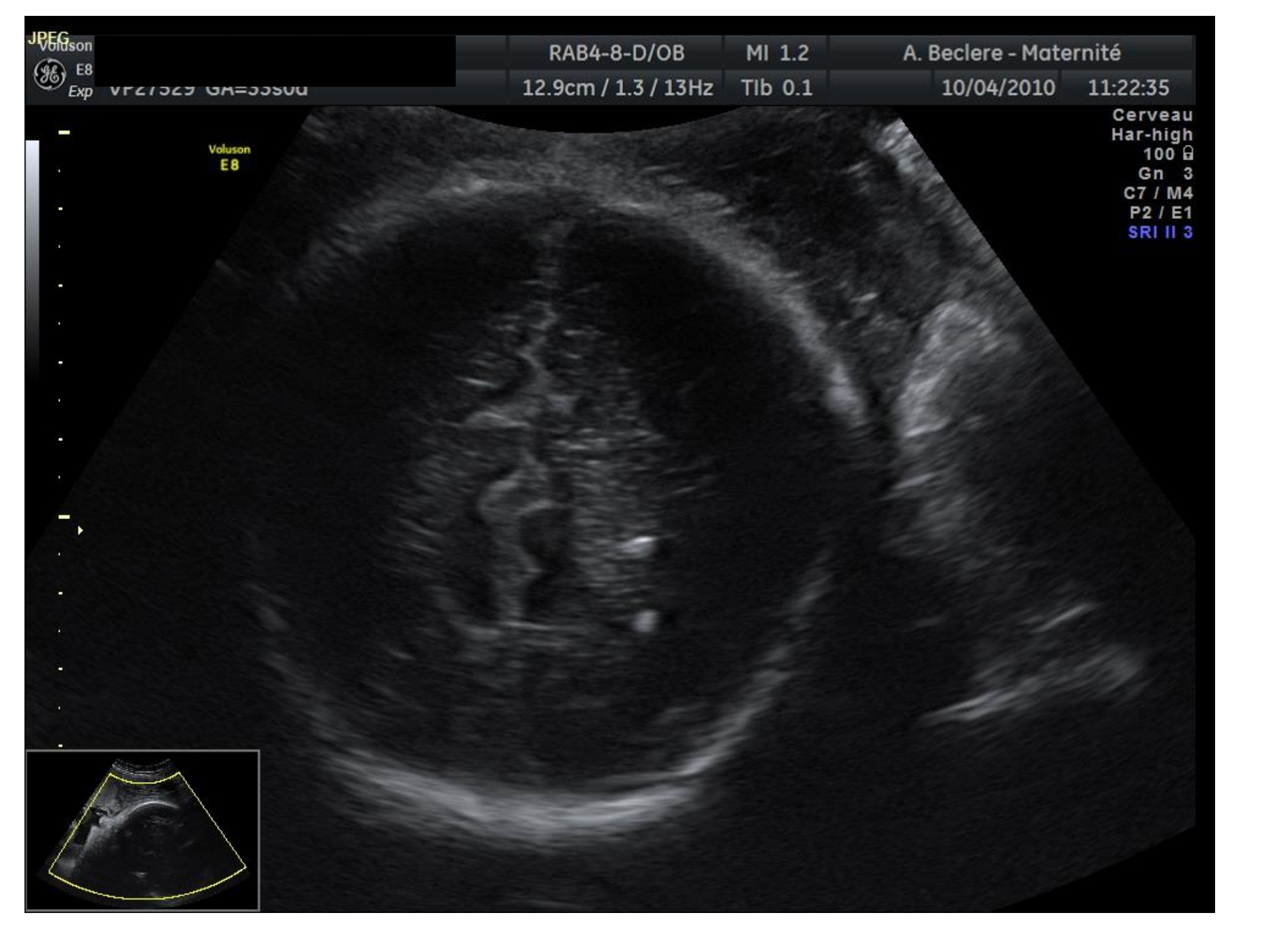
T3: asymptomatiques, mais 80% de rechutes chez l'enfant

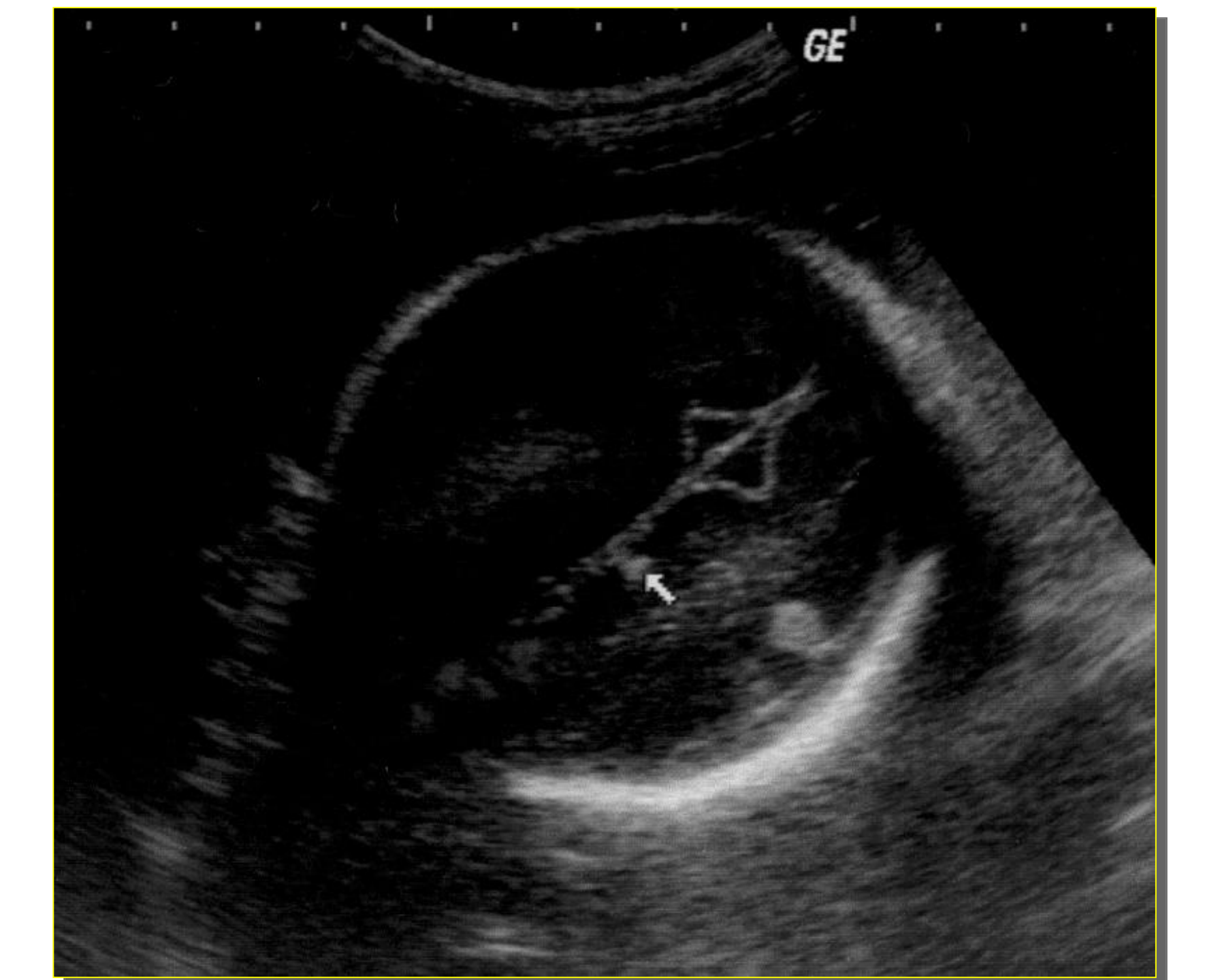
A Risk of intracranial lesions (n=473)



Nodules intra-cérébraux



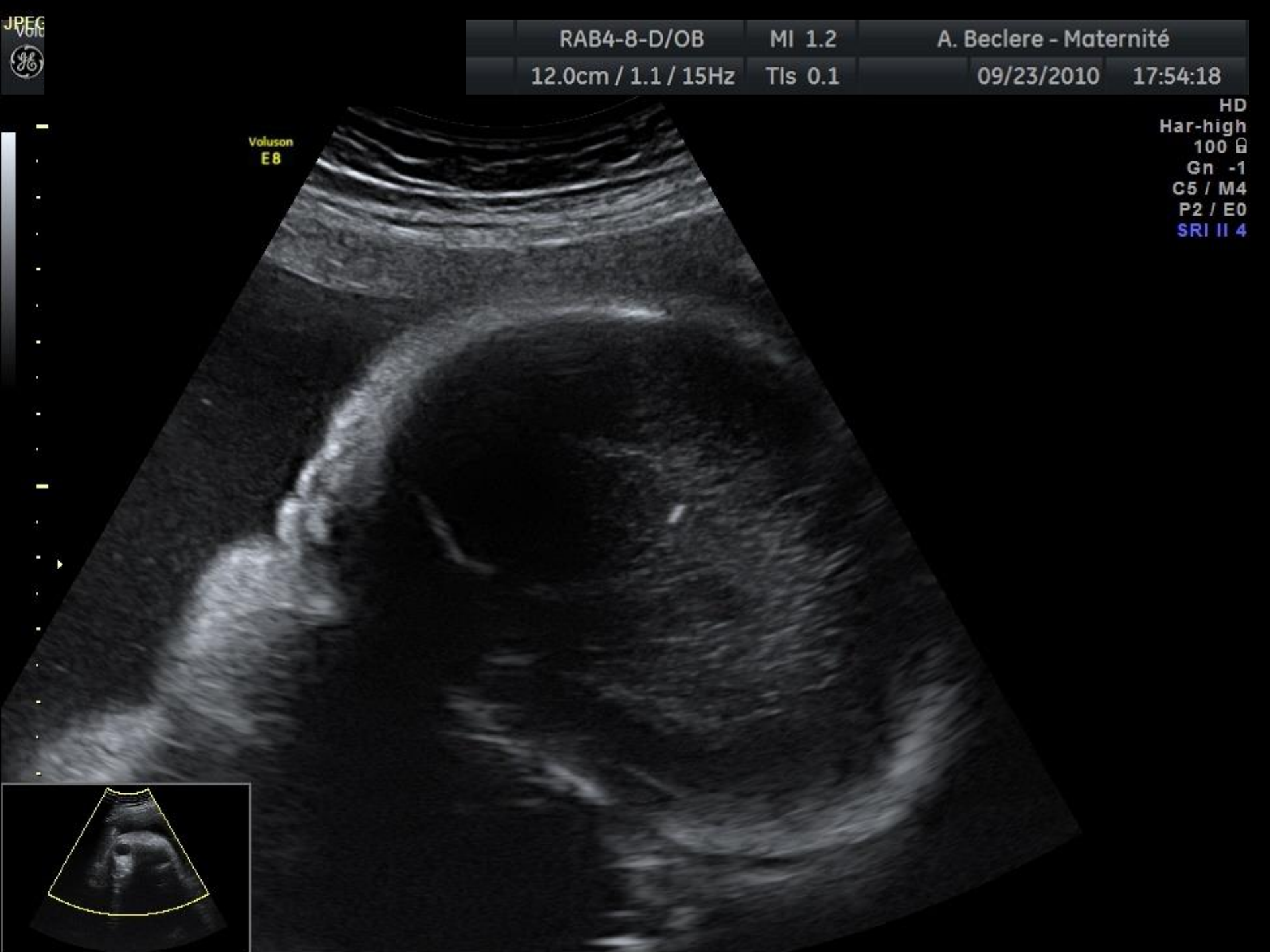


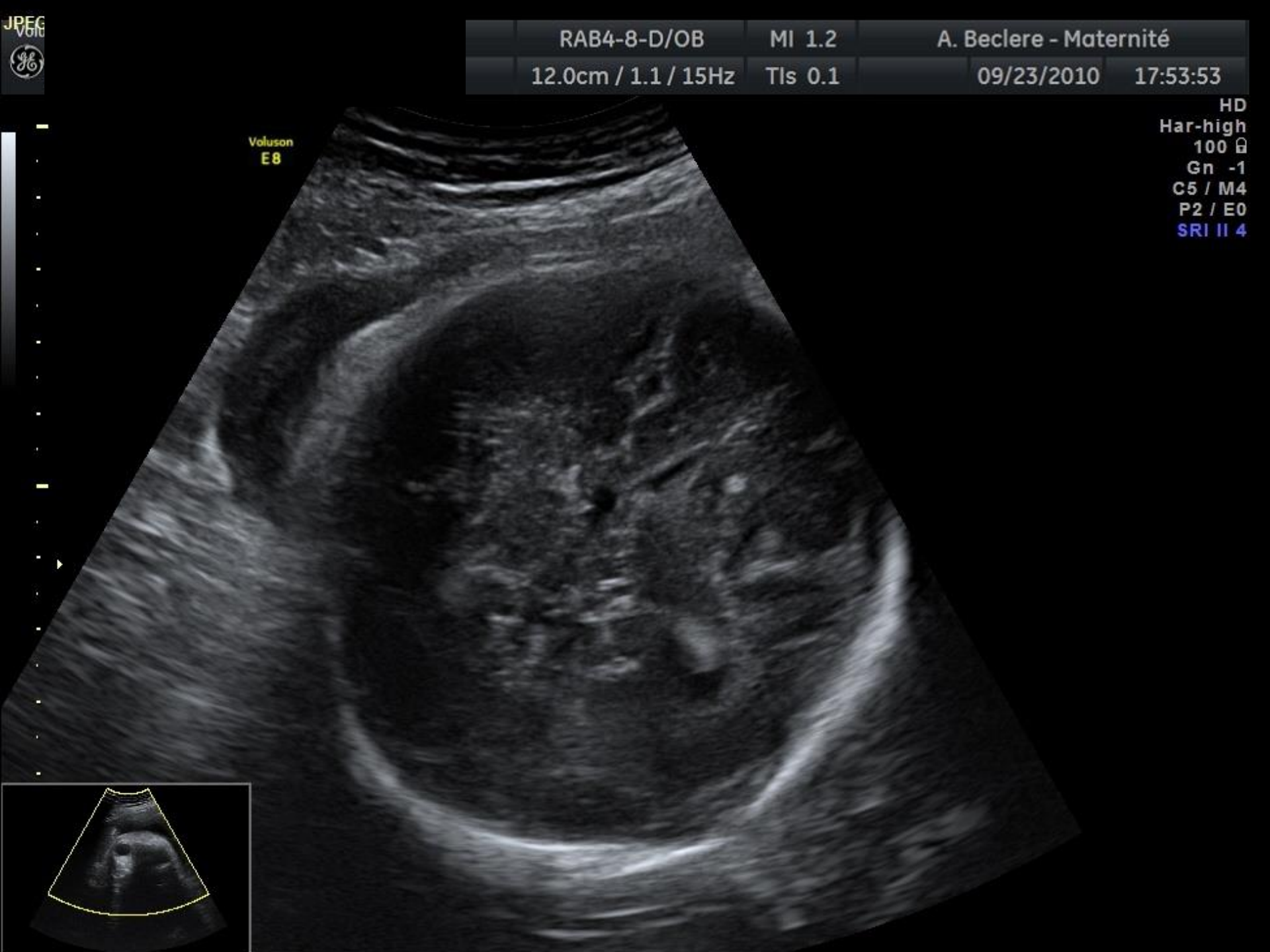


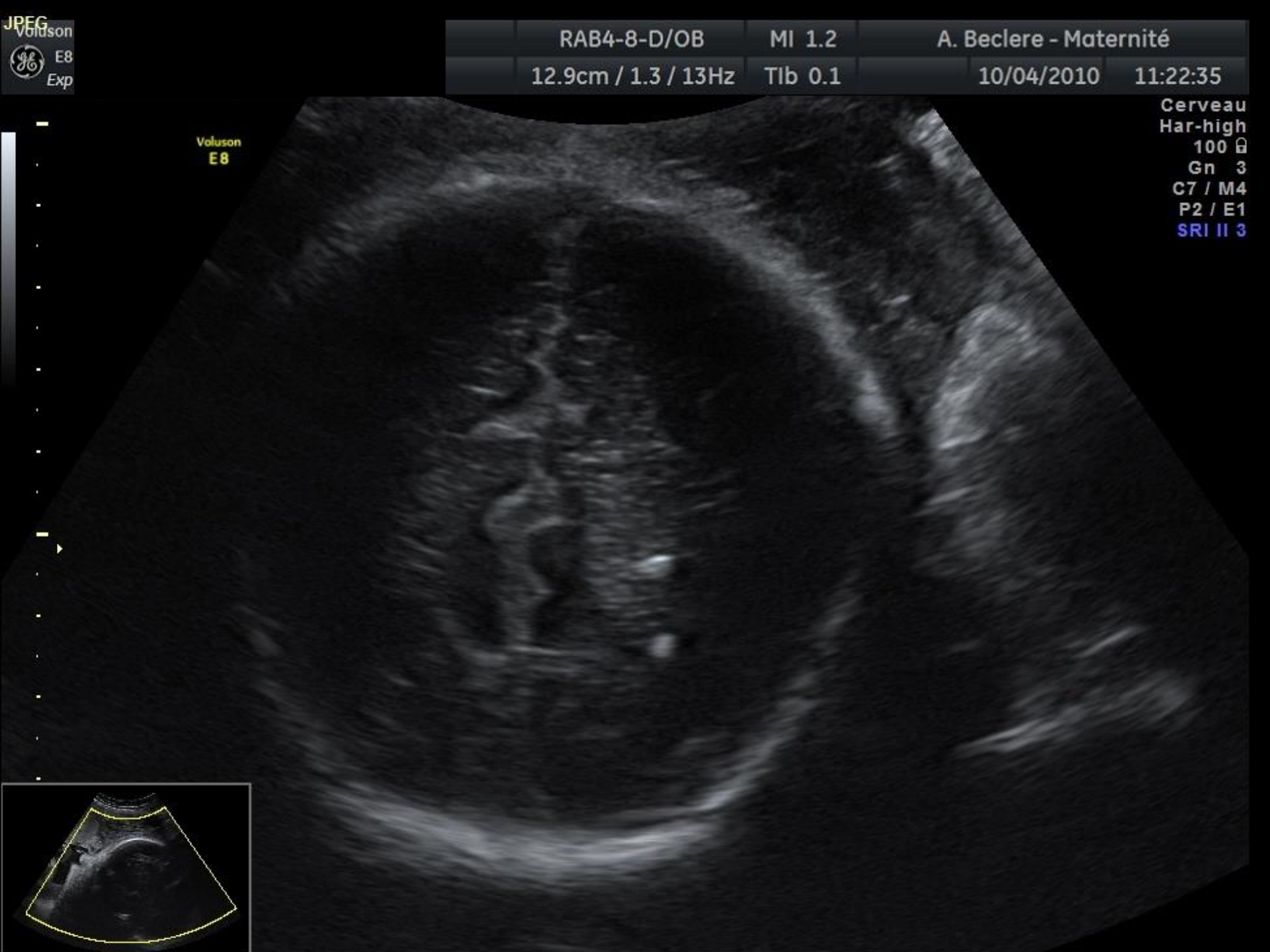


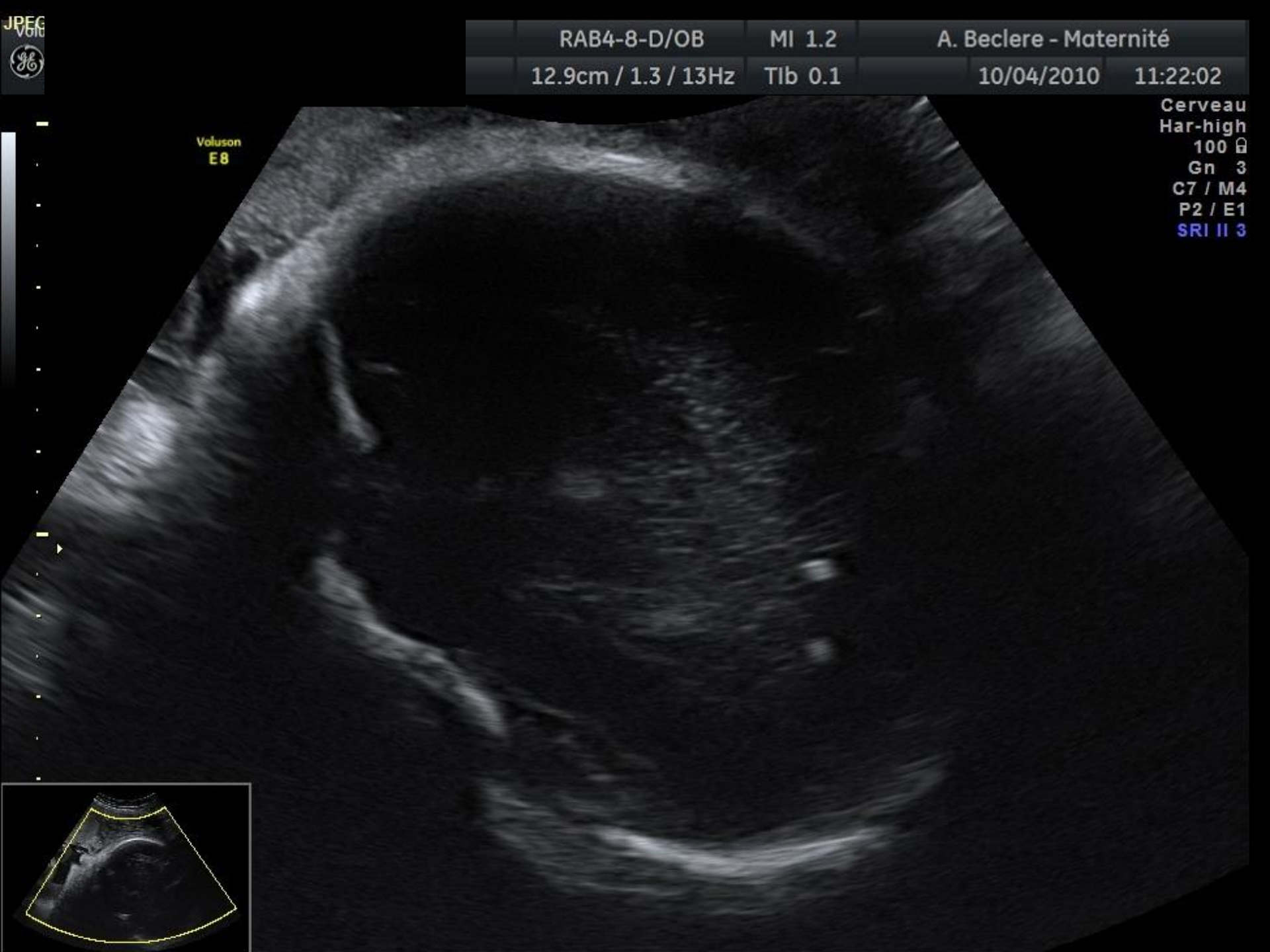














Ventriculomégalie V3

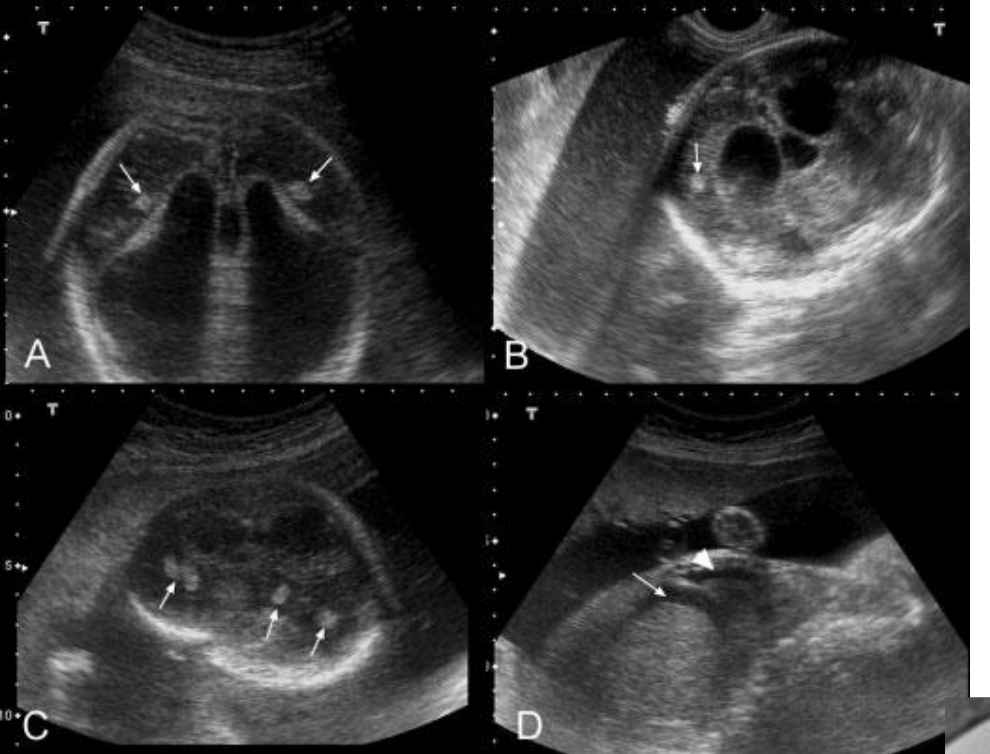




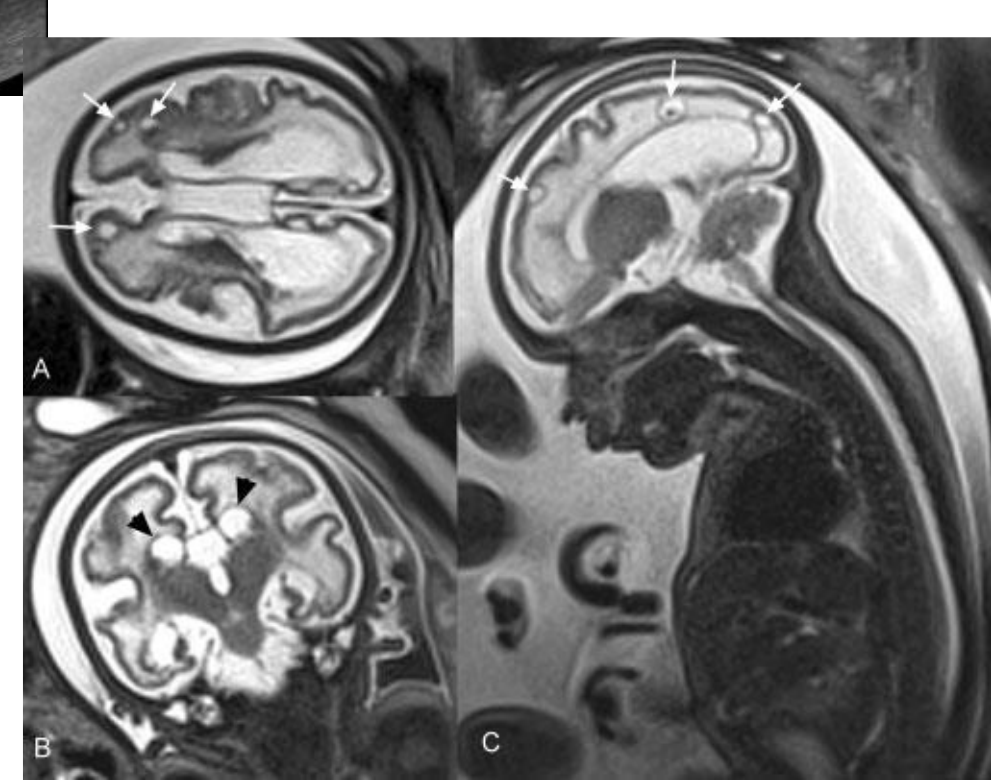








Malinger et al., Prenat Diagn 2011



Corps calleux

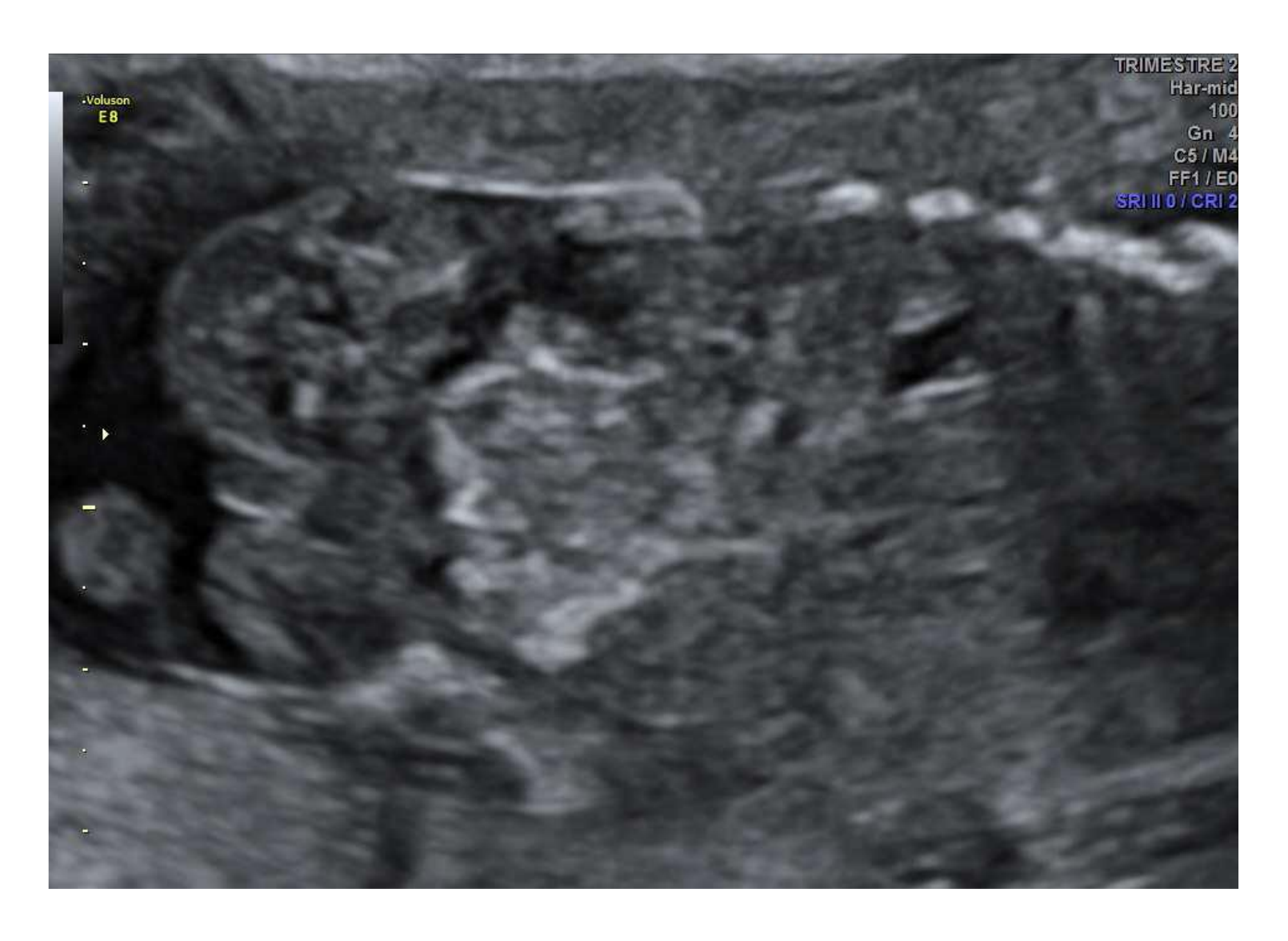


Placentite





Hyperéchogénicité intestinale

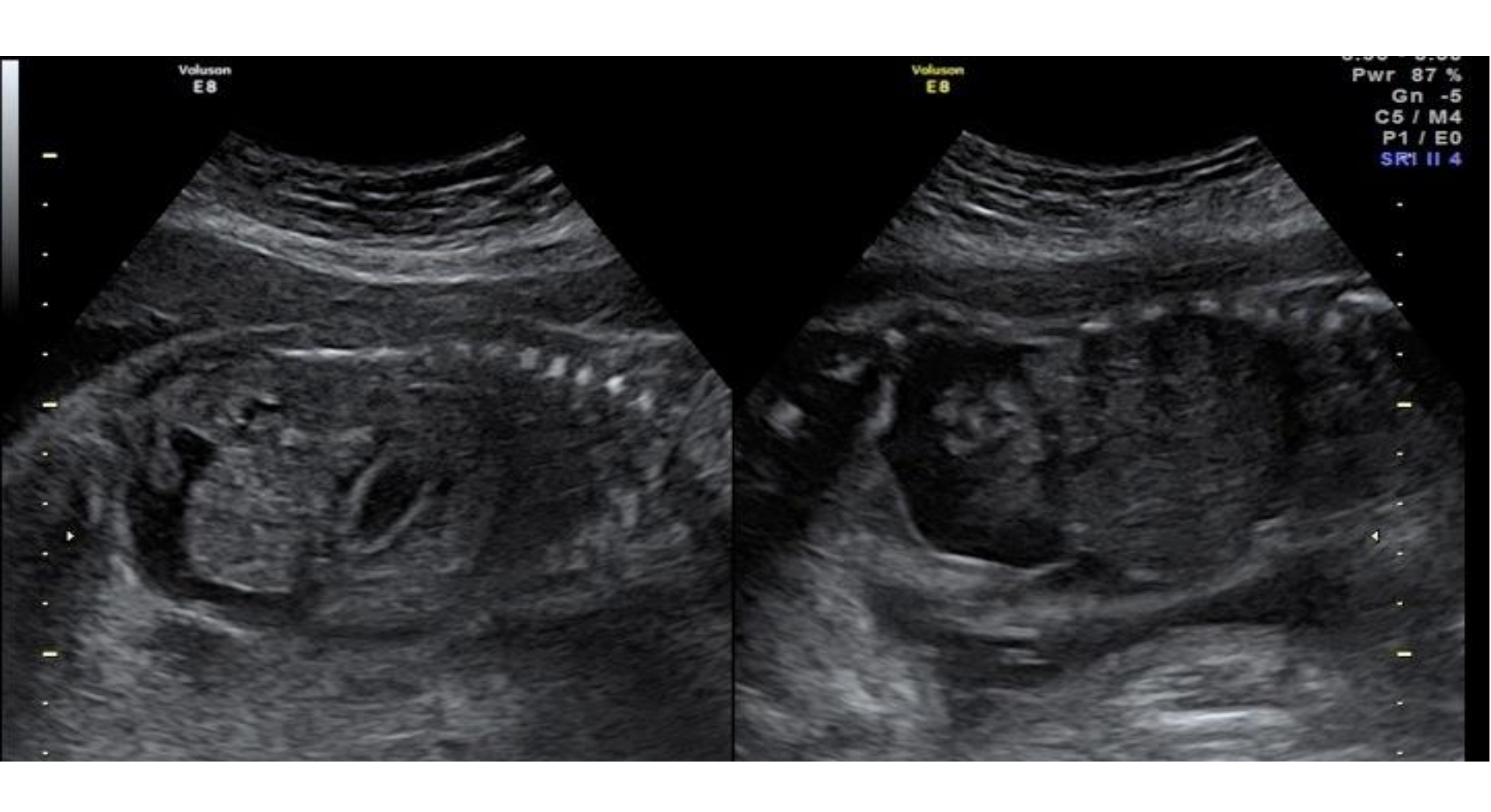


Ascite





Ascite



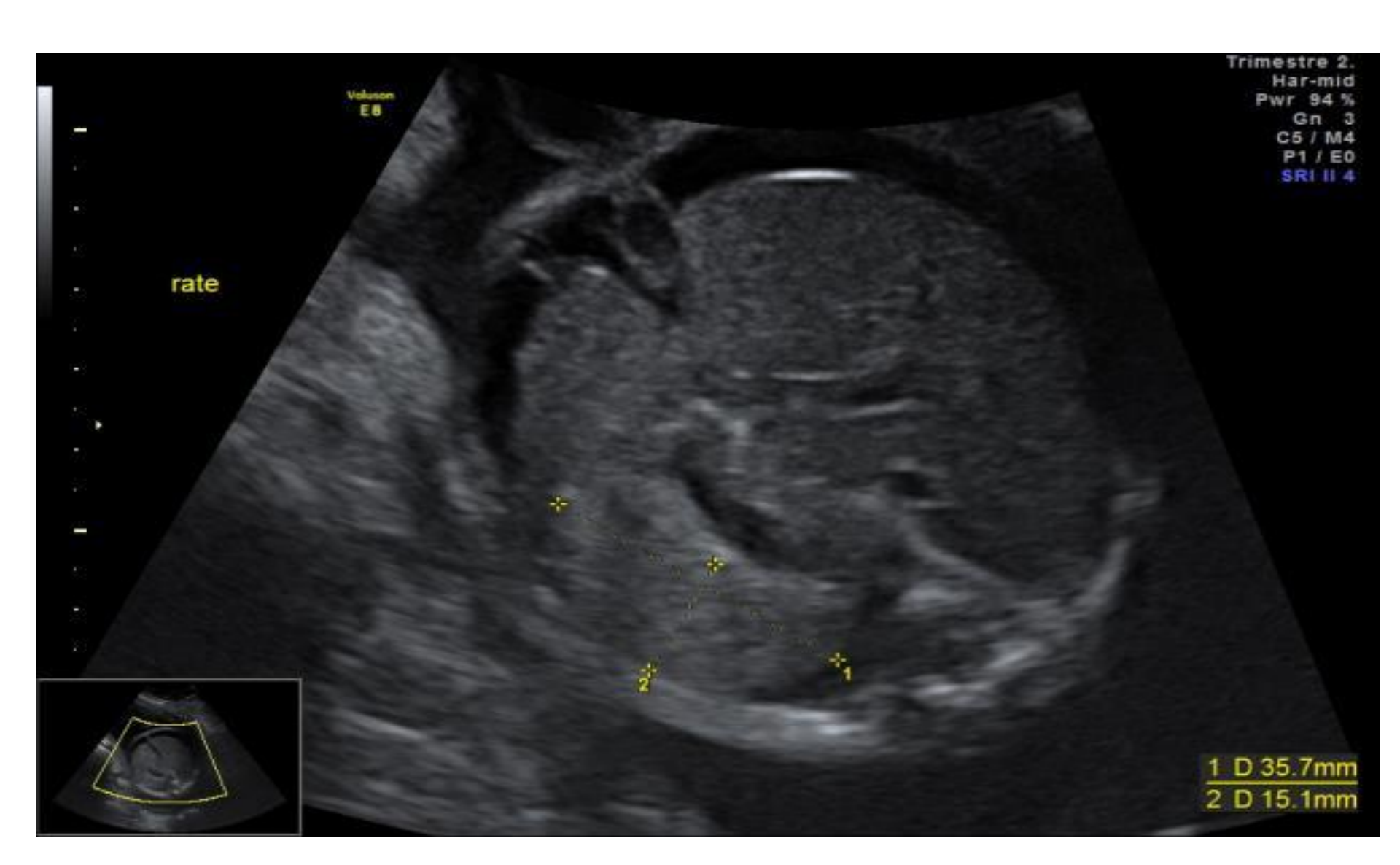
Hydrocèle vaginale testiculaire

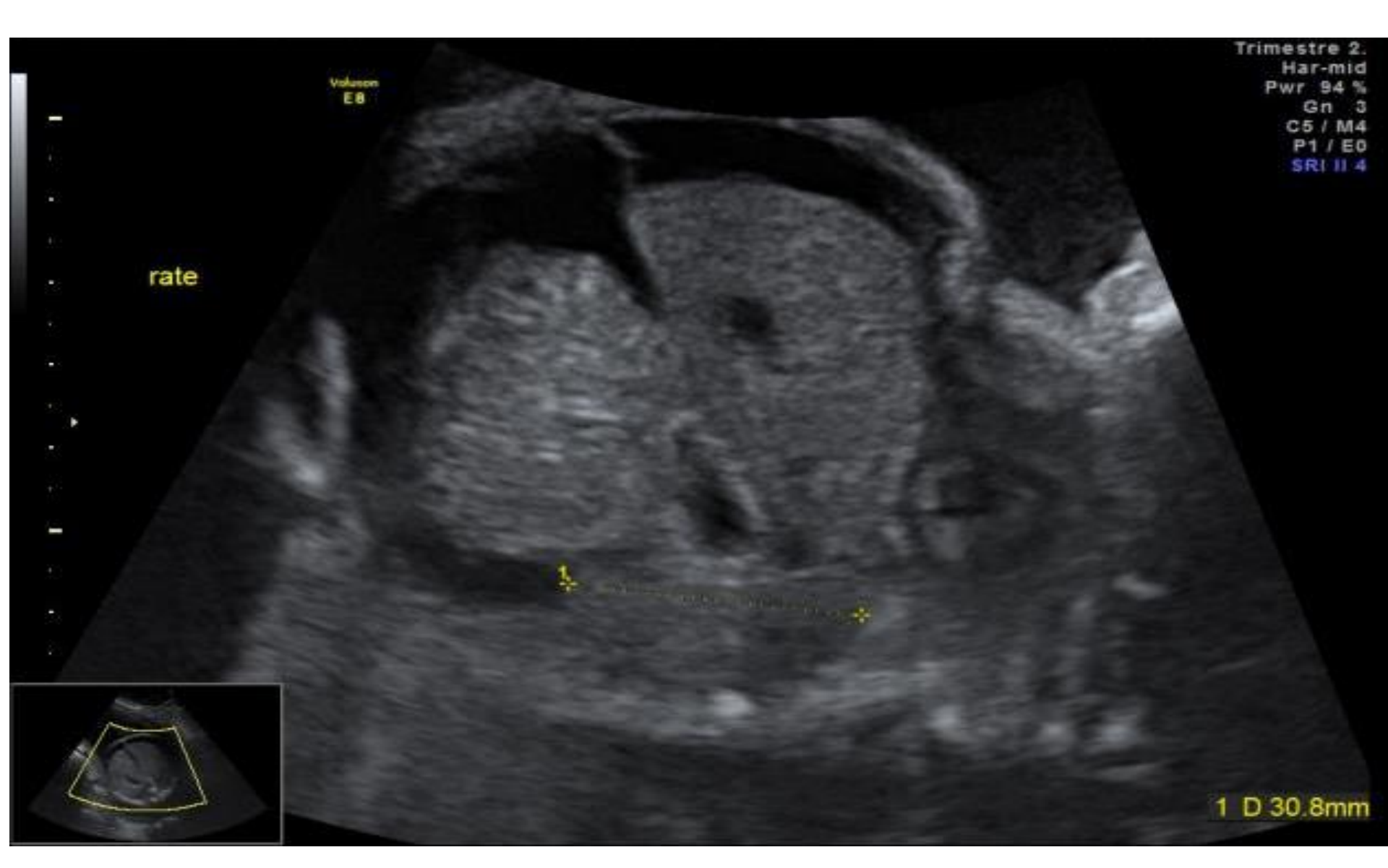


Hépatomégalie



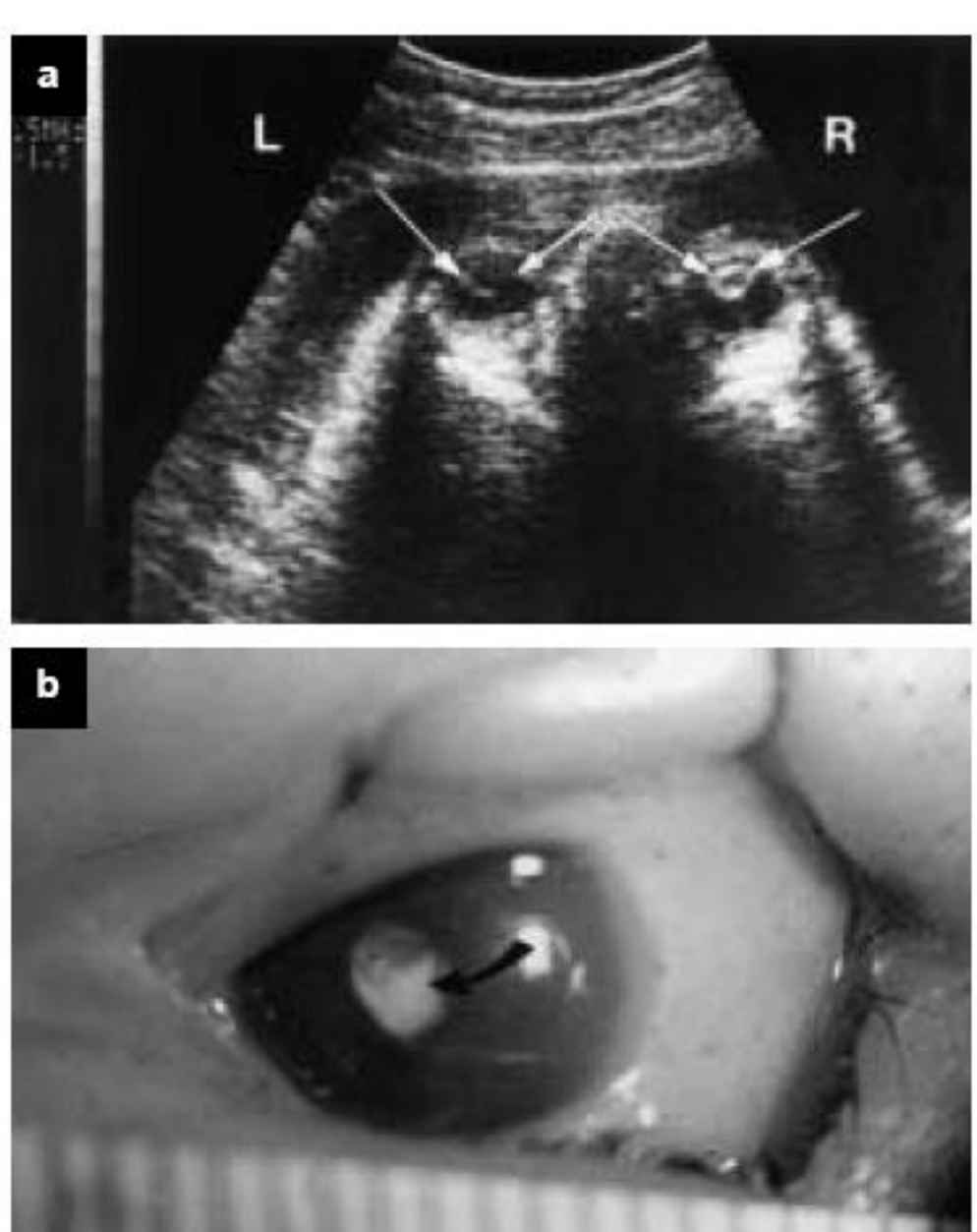
Splénomégalie





Fetal cataract in congenital toxoplasmosis

D. A. L. Pedreira, E. M. A. Diniz*, R. Schultz



Surveillance échographique

PCR NEG: TOUS les Mois

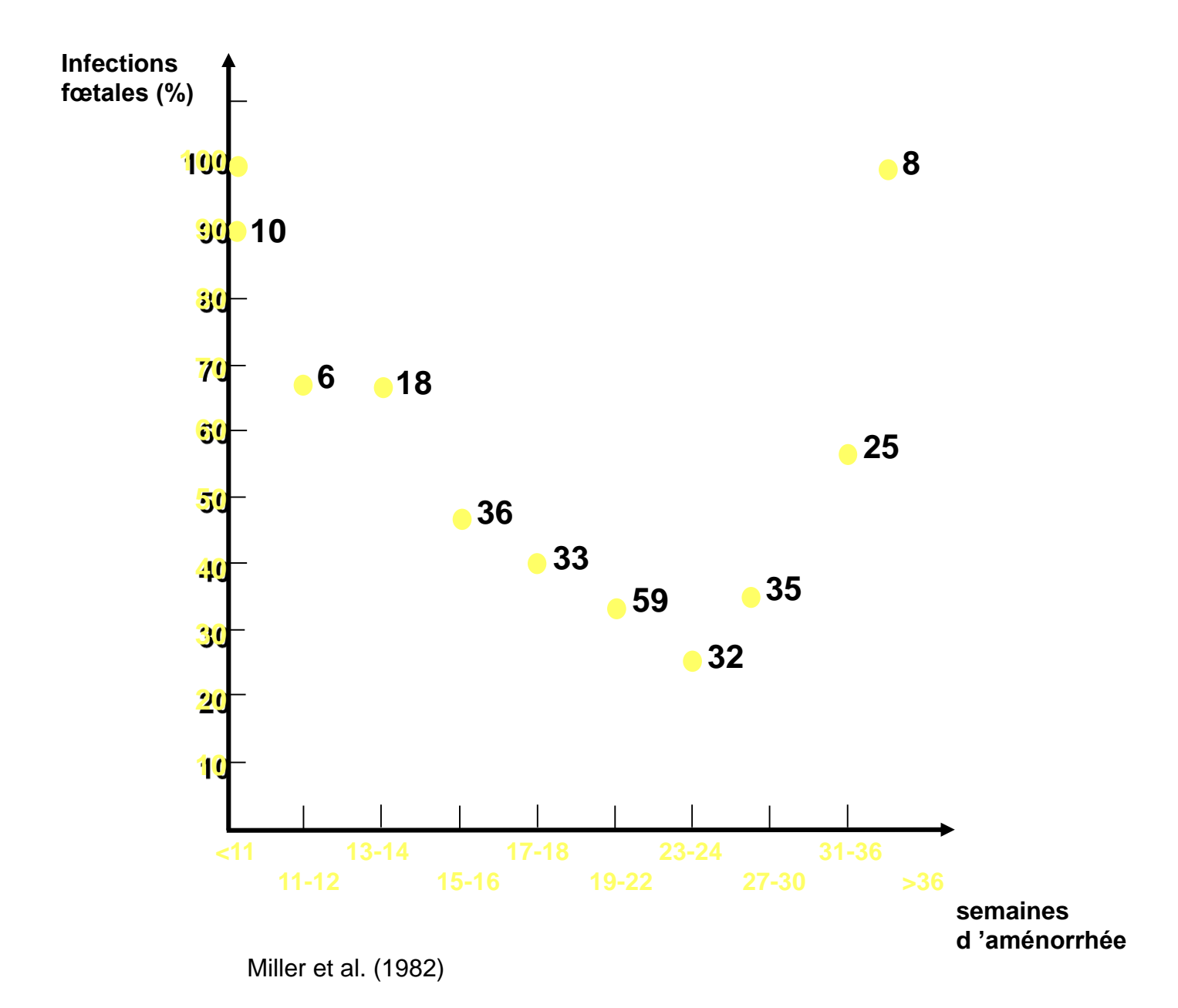
POS: TOUS les 15 Jours

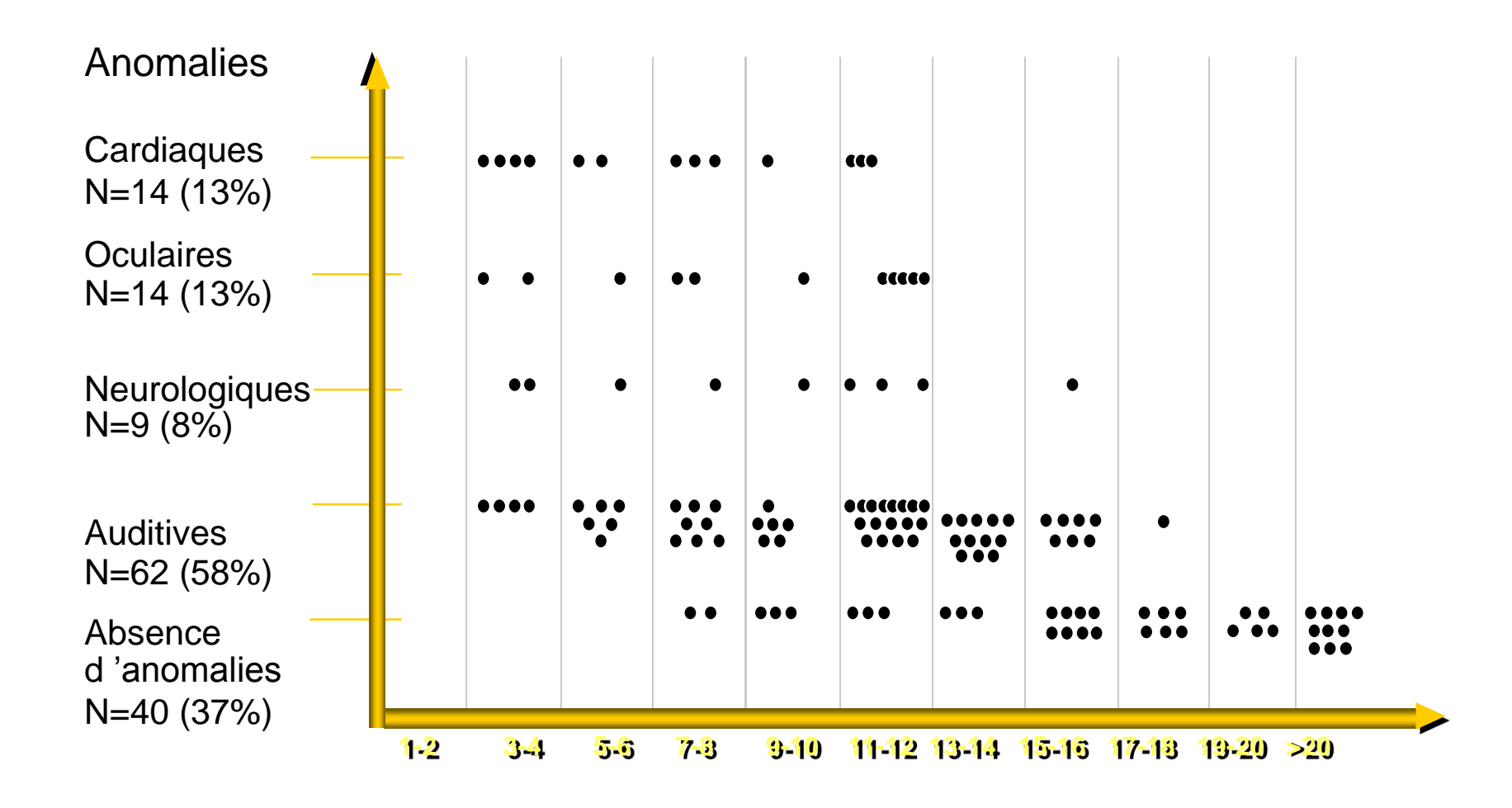
Rubéole congénitale

Pathogénie:

- Nécrose non inflammatoire
- Ralentissement des mitoses. Inhibition de l'assemblage de l'actine
- Processus apoptotiques
- Phénomènes auto immuns tardifs

| Stade de la grossesse (en SA) | Nombre d'enfants examinés | Enfants infectés n (%) |
|-------------------------------|---------------------------|------------------------|
| <11 | 10 | 9 (90) |
| 11-12 | 6 | 4 (67) |
| 13-14 | 18 | 12 (67) |
| 15-16 | 36 | 17 (47) |
| 17-18 | 33 | 13 (39) |
| 18-22 | 59 | 20 (34) |
| 23-26 | 32 | 8 (25) |
| 27-30 | 31 | 11 (35) |
| 31-36 | 25 | 15 (60) |
| >36 | 8 | 8 (100) |
| TOTAL | 258 | 117 (45) |





Syndrome de rubéole congénitale

Anomalies cardiaques : 60 %

persistance du canal artériel hypoplasie de l'AP

Surdité par atteinte oreille interne: 60 %

Retard psychomoteur fréquent, parfois associé à une microcéphalie anomalies osseuses, dentaires..SNC ..

ATTENTION A L'ASSOCIATION RCIU ET ANOMALIES CARDIAQUES ++

Atteinte oculaire quasi constante < 12 SA

cataracte rétinopathie microphtalmie



Revue de la littérature

1991-2014: 24 cas de description anténatale, dont 17 avec anomalies

54 anomalies vues à l'écho chez 17 enfants:

Qté LA (12/17)

RCIU (11/17)

Malformations cardiaques (11/17)

Anomalies cérébrales (7/17)

Anomalies occulaires (2/17)

1943-2014: 1109 enfants, 1970 anomalies

Ophtalmo: cataracte (234), microphtalmlie (41), chriorétinite (178)

Cœur (427): persistance canal artériel (115), sténose pulmonaire (81),

defects septaux (69)

Troubles auditifs (375)

PPN (174: 9%)

SNC: microcéphalie (97), hydrocéphalie (9), calcifications (6)

OGE/reins (40)

HSmégalie (55)



Fig. 4: cataracte congénitale et microphtalmie unilatérale au cours du SRC

Lahbil et al

Table 1. Anomalies accessible or not to prenatal diagnosis in cases of CRS (antenatal ± postnatal ± national reference center datas).

| | Anomalie | A nomelies not accessible to grantel disease | |
|---------------------------------|---|--|--|
| | >10 cases reported | <10 cases reported | Anomalies not accessible to prenatal diagnosis |
| Heart | septal defects $[2-4,6-8,14,17-19,22,23,26,27,33,34,36,37]$ $(n=74)$ pulmonary artery stenosis $[2,18,19,22,23,26,27,32,38,34,35]$ $(n=81)$ | Aorta coarctation $(n=3)$, Aorta atresia $(n=3)$, transposition of the great arteries $(n=1)$, tetralogy of Fallot $(n=5)$, cardiomegaly $(n=1)$, pulmonary veinous return anomalies $(n=1)$, axial heart deviation $(n=1)$, coarctation of the branches | patent ductus arteriosus ($n = 115$) [3,4,6,7,12,14,17–19, 27,30,31,28,32,38,33,34,36,37] |
| Brain | Microcephaly [2–4,7,13,15,18,23,24,31,38, 33,36,37] (<i>n</i> = 99) | of the pulmonary artery $(n = 1)$ [2,7, 23,27] Ventriculomegaly $(n = 10)$, Dandy-Walker syndrome $(n = 2)$, anencephaly $(n = 3)$, periventricular calcifications $(n = 8)$, cerebellar vermis agenesis $(n = 2)$, corpus callosum hypoplasia $(n = 1)$, hydranecephaly $(n = 1)$ [3,4,10,12,15,20,23,26,33] | |
| Face | Cataract [4–7,12–27] $(n = 237)$ micropthtalmia [4,12–14,17,18,21,23,28] $(n = 43)$ | cleft palate $(n = 1)$, low-inserted ears [18], micrognatia $(n = 7)$ [4,22] | Glaucoma ($n = 25$), Chorioretinitis ($n = 178$) [7,13,14,18 21,23,24,30,31], retinopathy ($n = 25$) [4,6,7,12–27] |
| Limbs Genitourinary tract | (1-7) | Syndactyly $(n = 4)$ [18,22] vesicoureteral reflux $(n = 3)$, renal agenesia $(n = 2)$, hydroneprhosis $(n = 1)$, hypospadias $(n = 1)$ [4,12,23,28] | long-bone anomalies $(n = 10)$ 22 ectopic testicle $(n = 18)$ [12,23,9] |
| Abdomen | Hepatosplenomegaly $(n = 57)$ [7,9,12–14,16,18,22,25,31–33,36] | Ascitis $(n=1)^8$, meconium peritonitis $(n=1)$, duodenal stenosis $(n=1)$, diaphragmatic hernia $(n=1)$ [9.18.20.38] | inguinal hernia [23] |
| Other | IUGR/Low birth weight $(n = 189)$ [3-5,7-9,11-13,15,22,23, 25,26,30-34,36,37,39] amniotic fluid abnormalities (n = 13) [4,7,8,11] | | Purpura ($n=45$), hearing-impairment ($n=347$), thrombocytopenia ($n=45$) [13,14,16,18,22,24,25] |
| Placenta | (> [.,,.,,.,-] | Placentomegaly $(n = 5)$ [4,8] single umbilical artery $(n = 2)^4$ | / |

MATERNAL-FETAL

NEONATAL

MEDICINE

©

http://informahealthcare.com/jmf ISSN: 1476-7058 (print), 1476-4954 (electronic)

J Matern Fetal Neonatal Med, Early Online: 1–5



REVIEW ARTICLE

Fetal and neonatal abnormalities due to congenital rubella syndrome: a review of literature

Alexandre Yazigi¹, Aurelia Eldin De Pecoulas¹, Christelle Vauloup-Fellous², Liliane Grangeot-Keros², Jean-Marc Ayoubi^{1,3}, and Olivier Picone^{1,3},

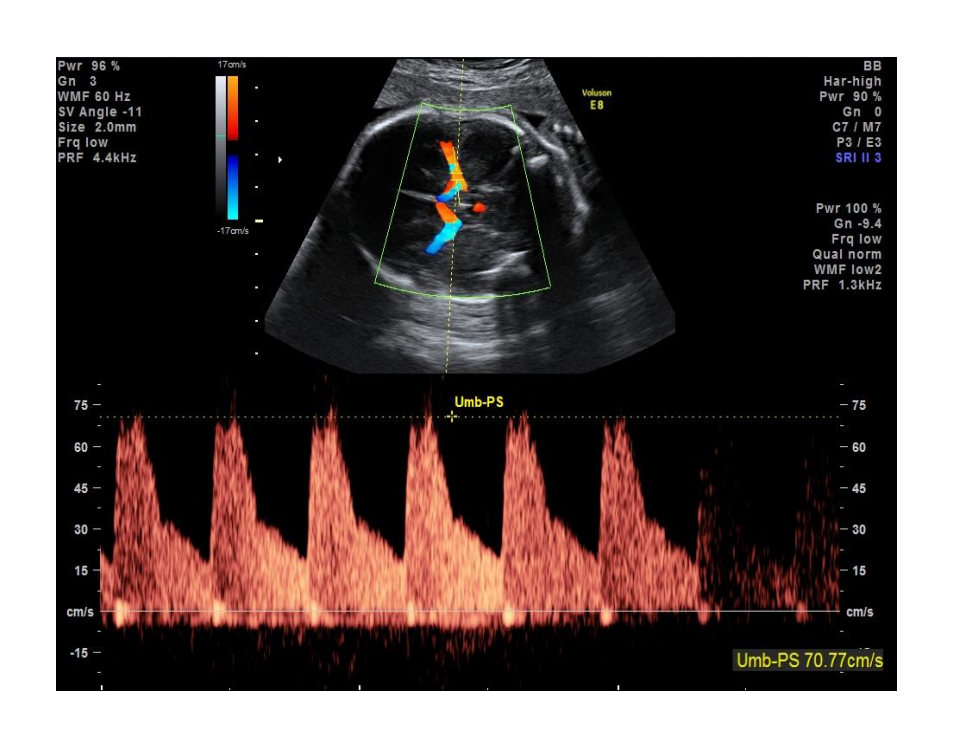
L'Erythrovirus (Parvovirus B19)

Surveillance suite à l'infection maternelle

Bilan d'anasarque

Premiers signes échographiques de décompensation de l'anémie fœtale

- *Baisse de la vitalité +++
- *Epanchement péricardique et signe de myocardiopathie.
- *Intestins trop bien vus
- *début d'ascite
- *Hépatosplénomégalie
- *Hydramnios Placenta épais



DOPPLER: Etude de la vitesse du pic systolique de l'artère cérébrale moyenne

(Mari et coll)

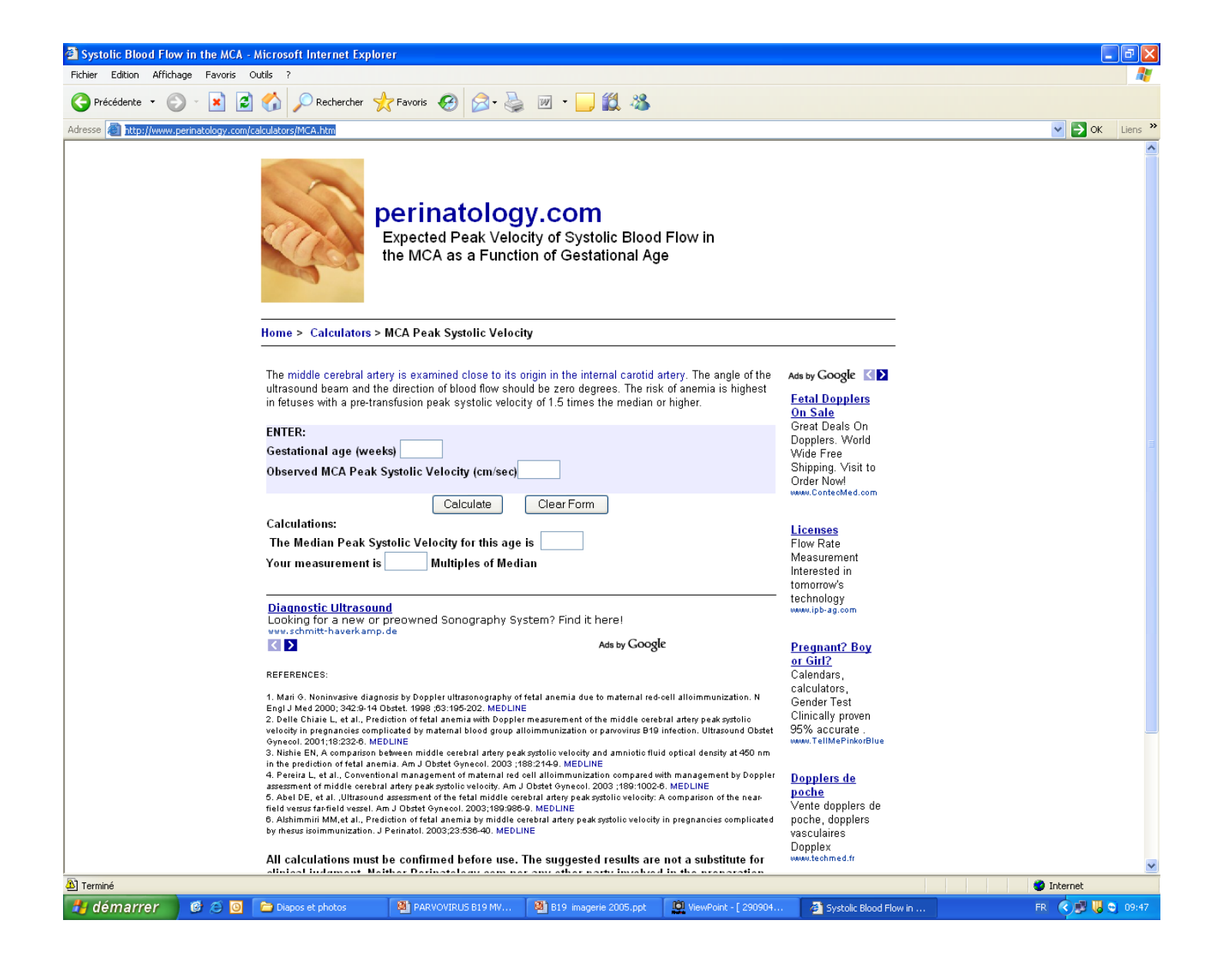
* si >1.50 MoM >anémie modéré

* si >1.55 MoM >anémie sévère

avec une sensibilité de 94% et une spécificité de 93.3%

Suivi échographique 8 à 12 S après le contage ++++

http://www.perinatology.com/calculators/MCA.htm





perinatology.com

Expected Peak Velocity of Systolic Blood Flow in the MCA as a Function of Gestational Age

Home > Calculators > MCA Peak Systolic Velocity

The middle cerebral artery is examined close to its origin in the internal carotid artery. The angle of the ultrasound beam and the direction of blood flow should be zero degrees. The risk of anemia is highest in fetuses with a pre-transfusion peak systolic velocity of 1.5 times the median or higher.

ENTER: Gestational age (weeks) 25 Observed MCA Peak Systolic Velocity (cm/sec) 70 Calculate Clear Form Calculations: The Median Peak Systolic Velocity for this age is 32.12 Your measurement is 2.17 Multiples of Median Diagnostic Ultrasound

REFERENCES:

< >

www.schmitt-haverkamp.de

 Mari G. Noninvasive diagnosis by Doppler ultrasonography of fetal anemia due to maternal red-cell alloimmunization. N Engl J Med 2000; 342:9-14 Obstet. 1998;63:195-202. MEDLINE

Looking for a new or preowned Sonography System? Find it here!

2. Delle Chiaie L, et al., Prediction of fetal anemia with Doppler measurement of the middle cerebral artery peak systolic velocity in pregnancies complicated by maternal blood group alloimmunization or parvovirus B19 infection. Ultrasound Obstet Gynecol. 2001;18:232-6. MEDLINE

Ads by Google

- 3. Nishie EN, A comparison between middle cerebral artery peak systolic velocity and amniotic fluid optical density at 450 nm in the prediction of fetal anemia. Am J Obstet Gynecol. 2003 ;188:214-9. MEDLINE
- Pereira L, et al., Conventional management of maternal red cell alloimmunization compared with management by Doppler assessment of middle cerebral artery peak systolic velocity. Am J Obstet Gynecol. 2003;189:1002-6. MEDLINE
- Abel DE, et al., Ultrasound assessment of the fetal middle cerebral artery peak systolic velocity: A comparison of the nearfield versus far-field vessel. Am J Obstet Gynecol. 2003;189:986-9. MEDLINE
- 6. Alshimmiri MM,et al., Prediction of fetal anemia by middle cerebral artery peak systolic velocity in pregnancies complicated by rhesus isoimmunization. J Perinatol. 2003;23:536-40. MEDLINE

All calculations must be confirmed before use. The suggested results are not a substitute for

Ads by Google 🔇 🔰

Fetal Dopplers On Sale

Great Deals On Dopplers. World Wide Free Shipping. Visit to Order Now!

Licenses

Flow Rate Measurement Interested in tomorrow's technology

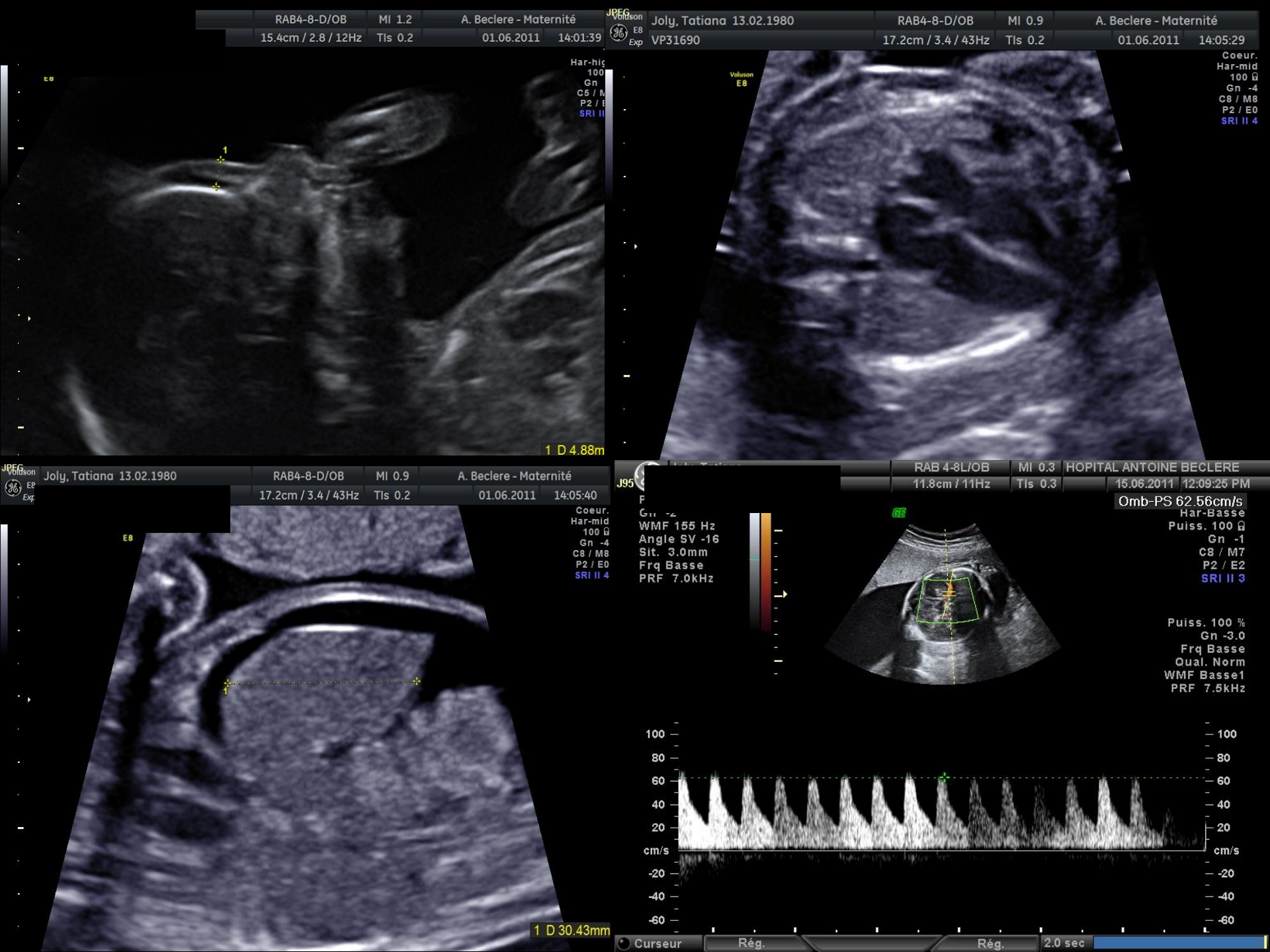
Pregnant? Boy or Girl?

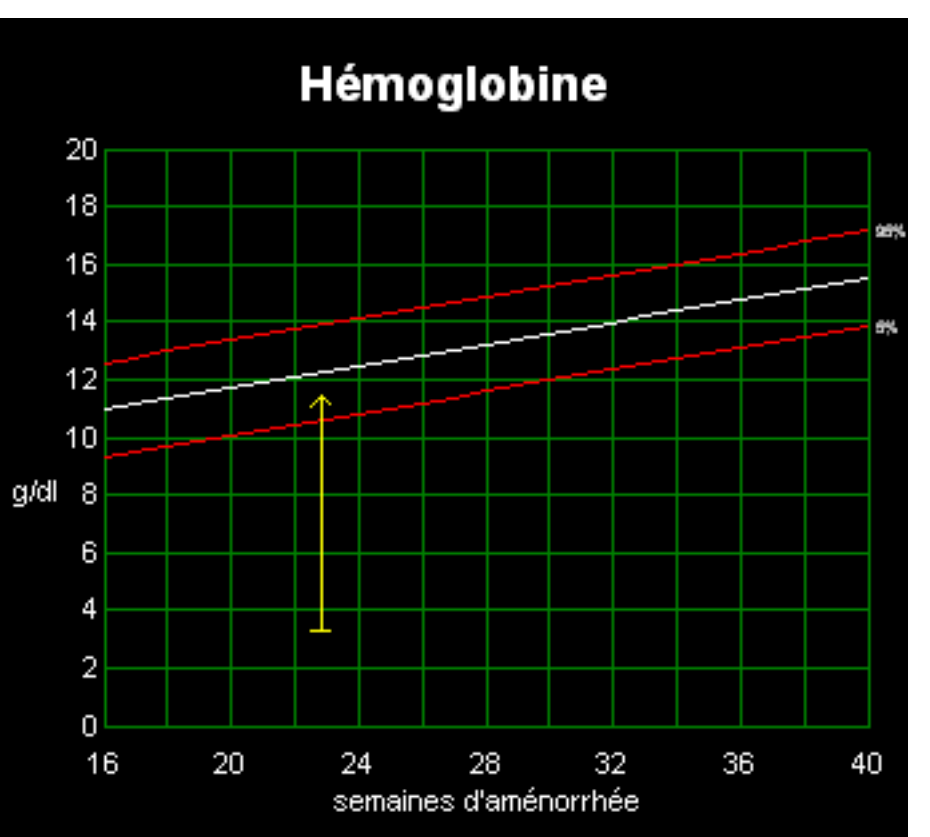
Calendars, calculators, Gender Test Clinically proven 95% accurate.

Dopplers de poche

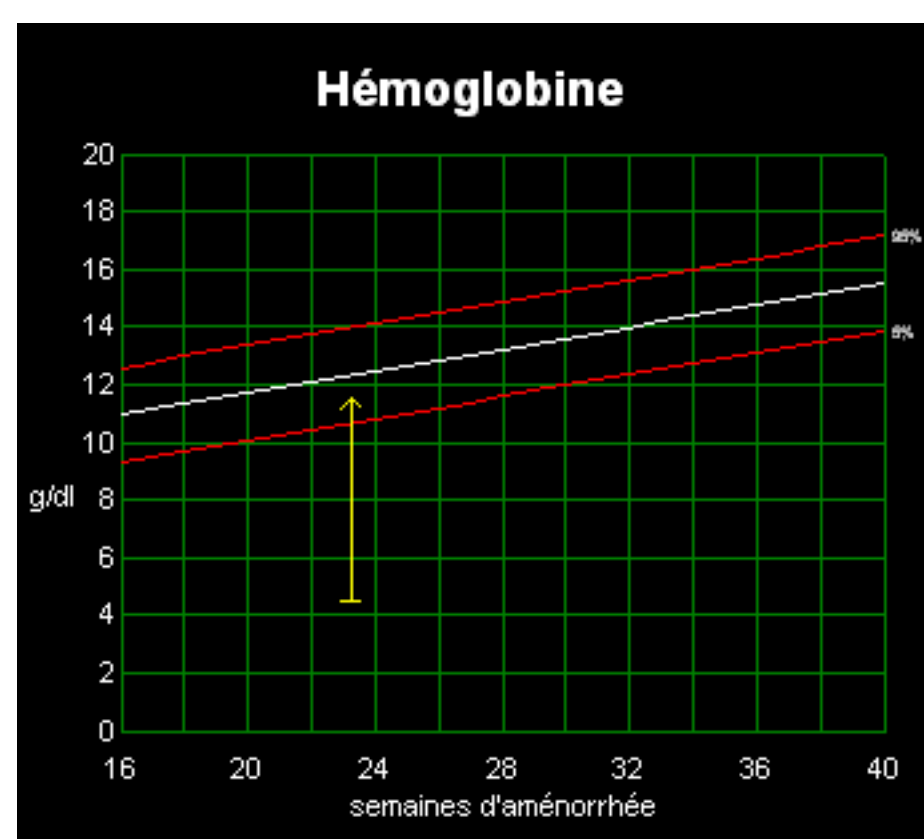
Vente dopplers de poche, dopplers vasculaires Dopplex www.techmed.fr







Nicotakies KH, Soottilli PW, Clewell WH, Rocleck CH, Mibastan RS, Campbell S. Fetal taemog lobin meastrement in the assessment of redicell isolmminisation. Lancet 1988; 1: 1073-1075.



Nicotaldes KH, Sootsiii PW, Clewell WH, Rodeck CH, Mibashar RS, Campbell S. Fetal haemoglobir measrementir the assessment of redicell kolmminisation. Lancet 1988; 1: 1073-1075

T.I.U : correction adaptée à ces anémies sévères

PARVOVIRUS B19

Autre complications?

Malformations? Exceptionnelles SNC?

Microphtalmie et dysplasie cornéenne (Weiland HT, Lancet 1987)

Atrophie cérébelleuse (...clastique?)

Sur plus de 300 cas en prospectif: pas de malformations rapportées (BMJ, Prospective study of human parvovirus B19 in pregnancy...1990; 300: 1166-1170)

Pas de prématurité ou RCIU...; 84% de naissances normales avec un suivi de un an , 16% de pertes fœtales dont l'essentiel se trouve au 2nd trimestre

Anémie persistante congénitale?

Plusieurs cas rapportés (Brown K, Lancet 1994; 343: 895-6) avec transfusions répétées

Aspect de microcéphalie par atteinte cérébrale d'origine anoxique dans le cadre d'une infection à Parvovirus



Aspect de microcéphalie par atteinte cérébrale d'origine anoxique dans le cadre d'une infection à Parvovirus



CONCLUSION

Infection anodine sauf chez la femme enceinte et l'immunodéprimé

Pas de dépistage systématique chez la femme enceinte

En cas de séroconversion maternelle : échographie avec vitesses cérébrales toutes les semaine pendant 8 à 12 5

Si anasarque ou ascite : Urgence à prendre en charge pour éviter la MIU

Savoir faire une Transfusion à bon escient

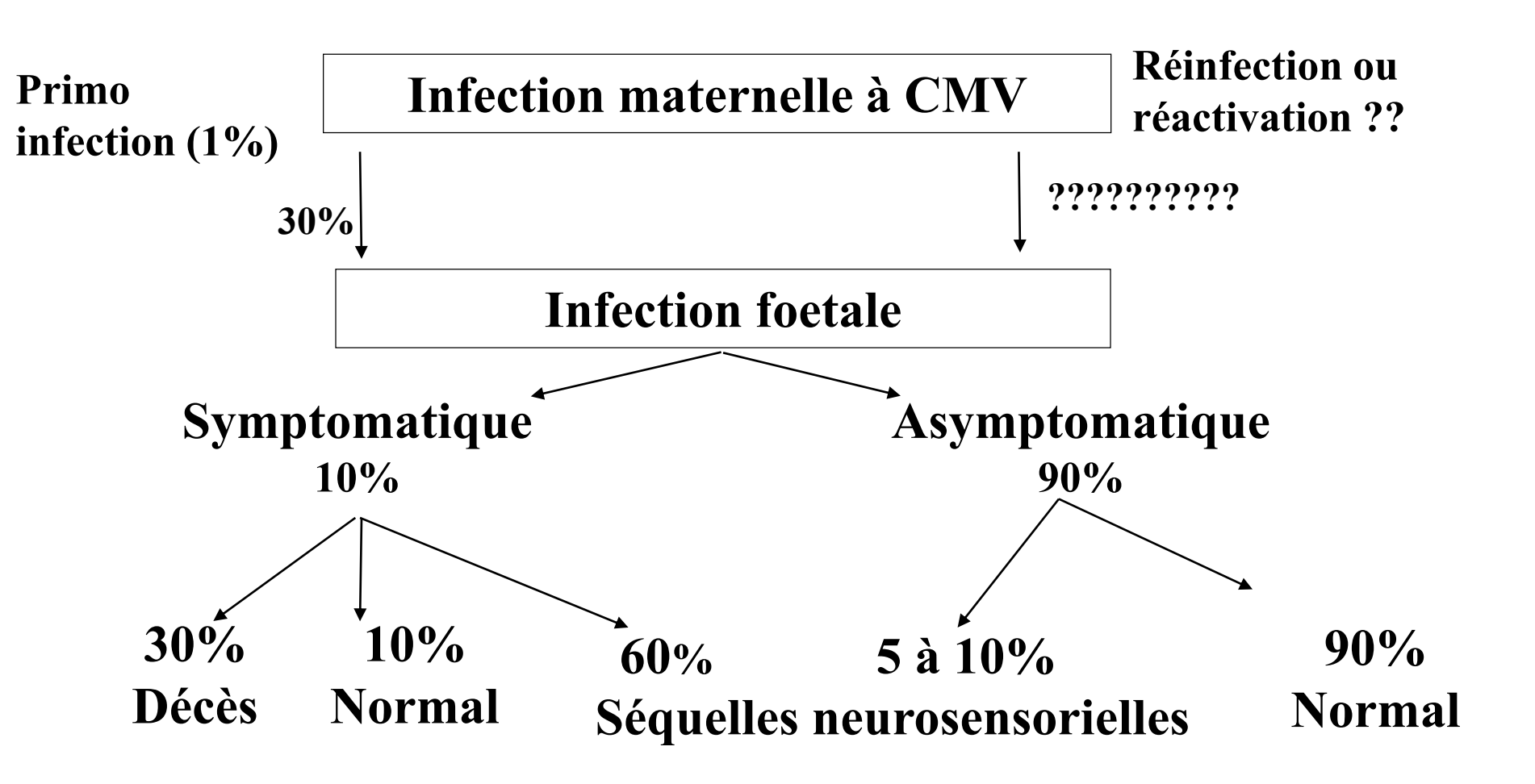
Si on passe le cap, le pronostic est bon

LE CYTOMEGALOVIRUS:

Principal agent responsable d'infection congénitale en Europe

1% des nouveaux-nés

Infection en cours de grossesse



Litterature Review

Ultrasound: Extra brain abnormalities

| infe | etal etions n) | US abnormalities (n) | IUGR | Hydrops | Ascitis | Hyperech ogenic Bowel |
|------|----------------------|----------------------------|------------|---------|---------|-----------------------------|
| 4 | 90 | 130 | 37 (4*) | 9 (1*) | 32 (4*) | 13 (2*) |
| % | | 26.5 | 28.5 | 6.9 | 24.6 | 10.0 |

Ultrasound Brain Abnormalities

| | Infected fetuses with US abnormali ties | Brain findings | VM | Hydro- cephaly | Micro- cephaly | Calci- fications |
|-------|---|-------------------|---------|-------------------|-------------------|---------------------|
| TOTAL | 130 | 39 | 32 (3*) | 13 (2*) | 21 (2*) | 21 (2*) |
| % | | 30.0 | 24.6 | 33.3 | 16.2 | 16.2 |

34 fœtus avec anomalies écho

17: an cérébrales et extra cérébrales

11 : an cérébrales isolées

6: an extra cérébrales isolées

Anomalies extra cérébrales (11 sortes):

Intestin hyperechogène (10)

RCIU (11)

Ascite (6), Epanchement péricardique (5), rein hyperechogène (3), hépatomégalie (3) Placentomegalie ou calcifications placentaire (3)

Cardiomégalie, Calcifications hépatiques, hydramnios, splénomégalie (1)

Anomalies cérébrales (14 sortes)

Calcifications cérébrales (12), Cavité corne postérieure (12),

PC<3eme percentile (10)

Ventriculomegalie (9), Kyste sous ependymaire (8)

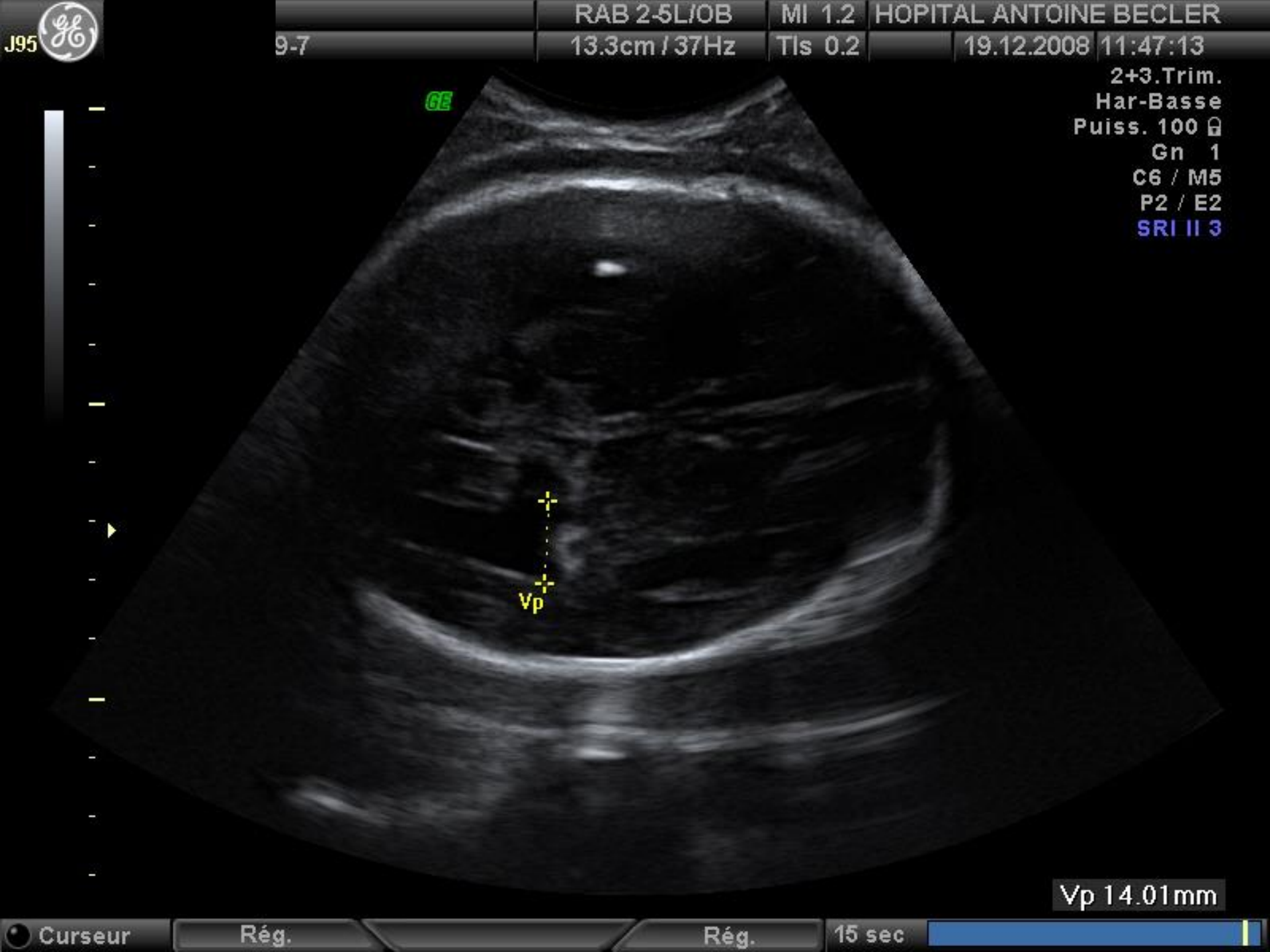
Halo periventřiculairé (7)

Candélabre (6), Anomalie gyration (6), élargissement espaces péri cérébraux (3)

Cavité corne temporale (3)

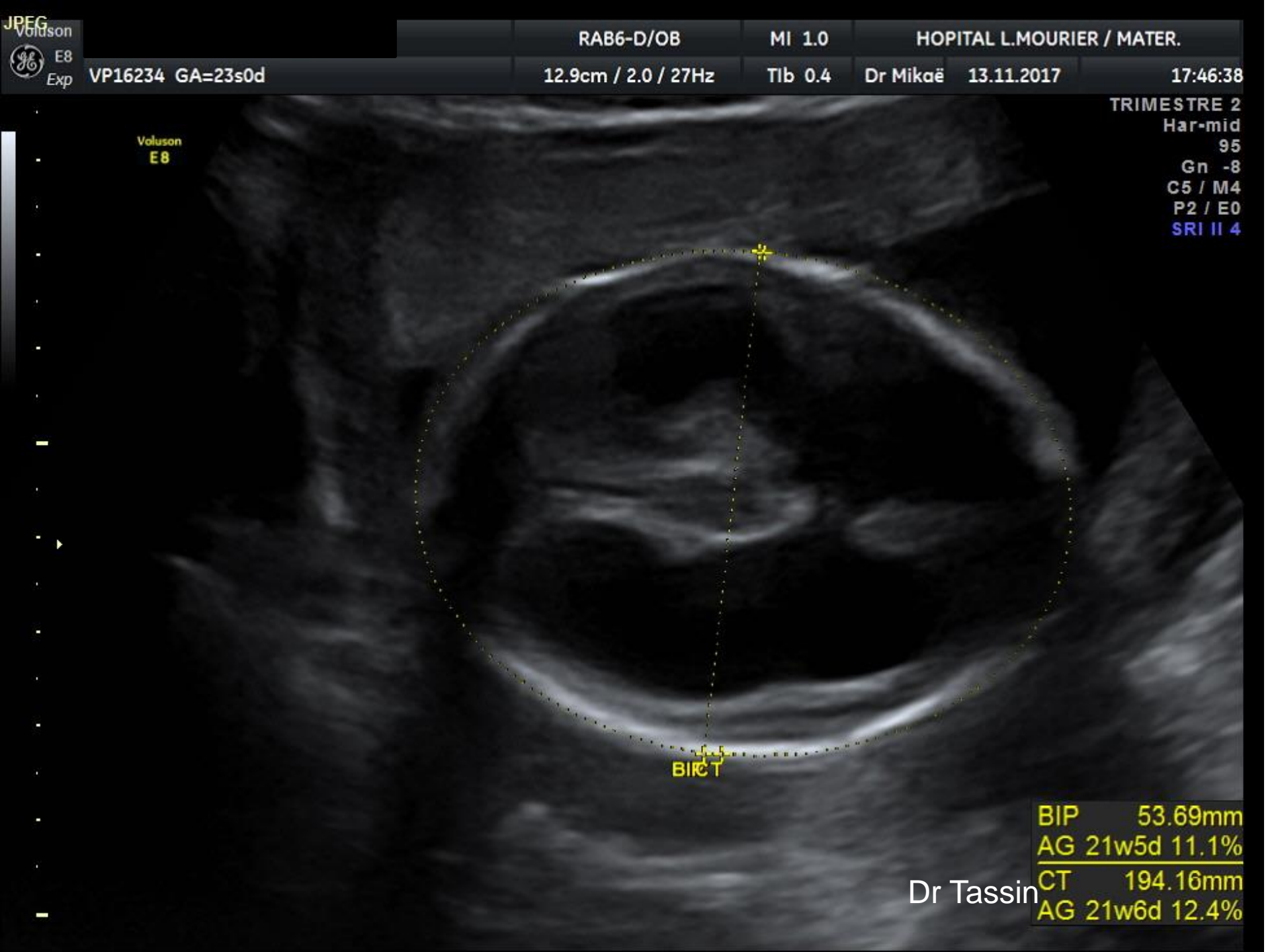
Anomalies du corps calleux (2), hypoplasie cérébelleuse (1)

Picone et al., Prenat Diagn 2014 Carrara et al., J Gynecol Obstet Biol Reprod 2015









Ventriculomégalie

5% des VMG seraient d'origine infectieuse

Holzgreve et al., Childs Nerv Syst 1993

Destructive

Obstructive

Nigro et al., Prenat Diagn 2002

En tous cas: souvent entre 10 et 15mm, rarement isolée, évolutive +++

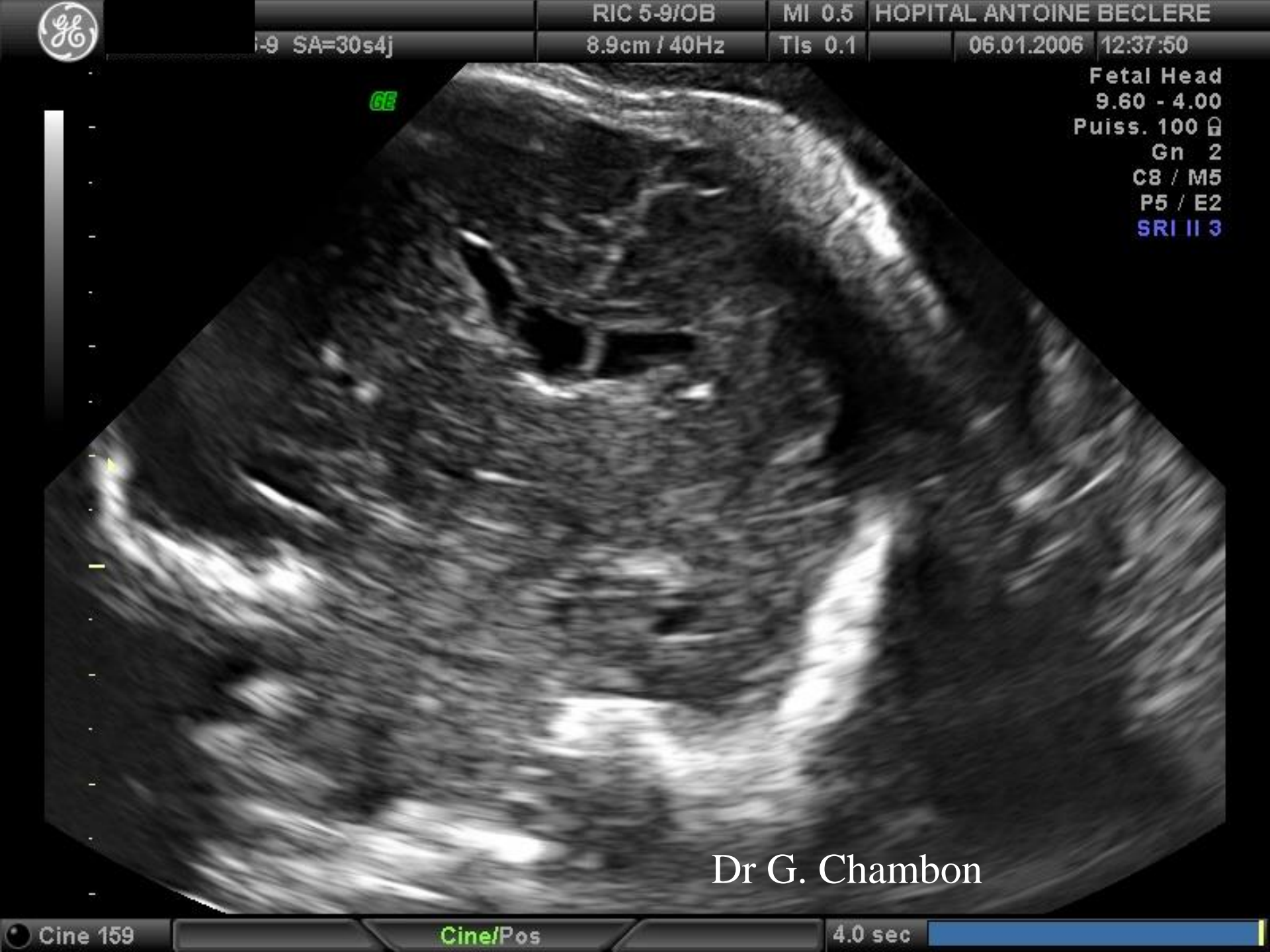












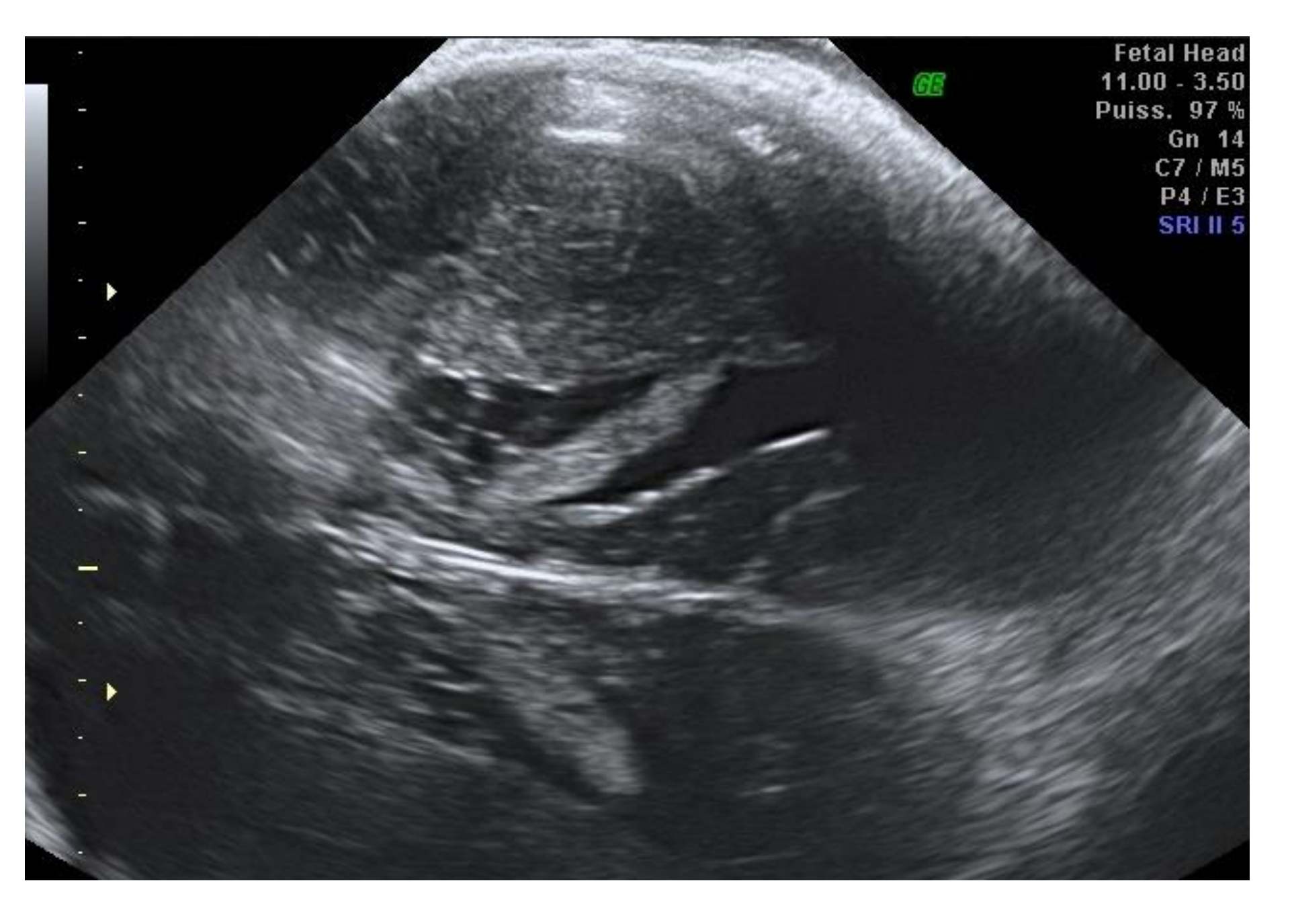








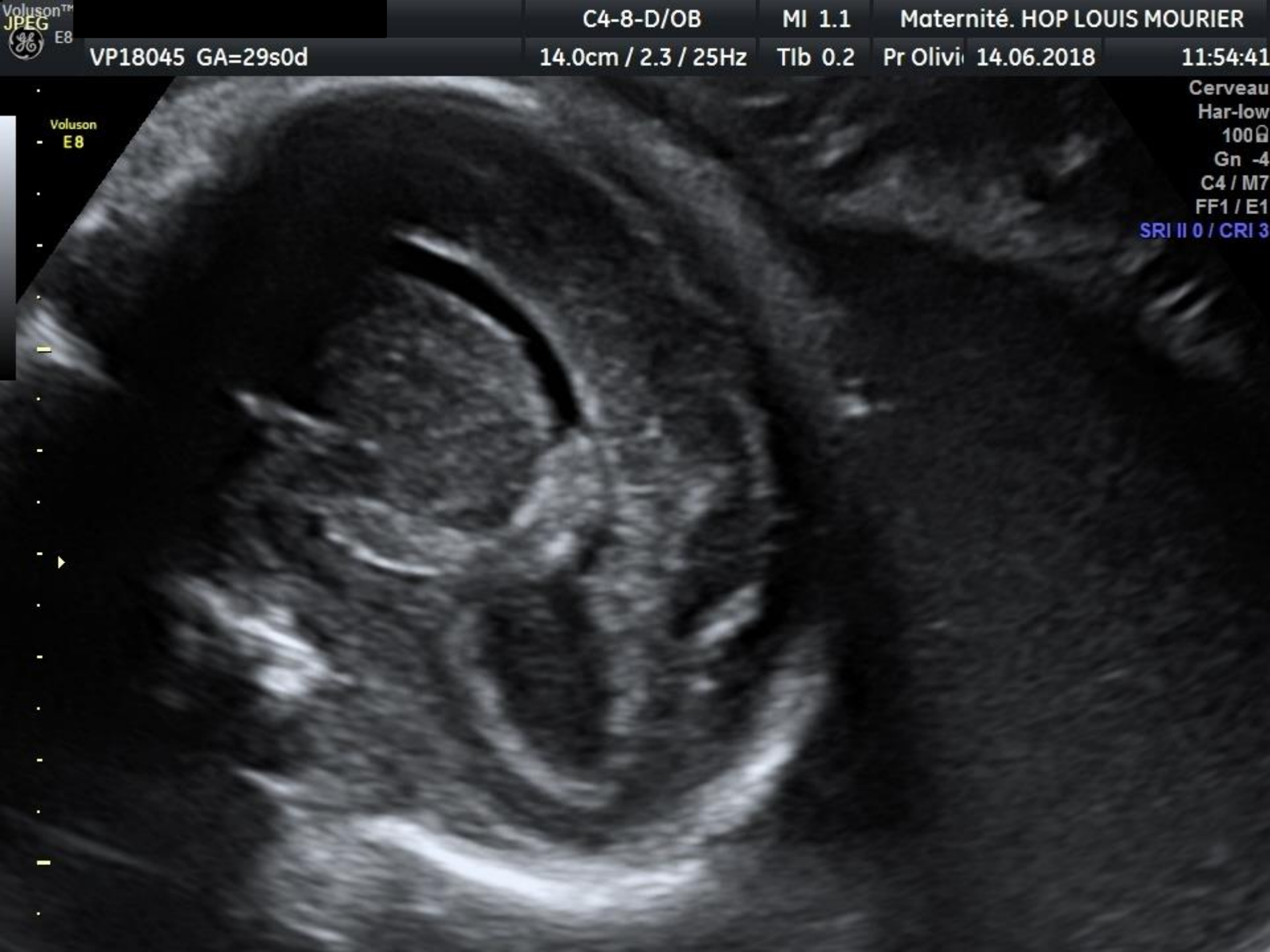












Candélabre





Non spécifique du CMV

Cantey et al., 2015 Early Hum Dev

Témoigne d'un inflammation cérébrale

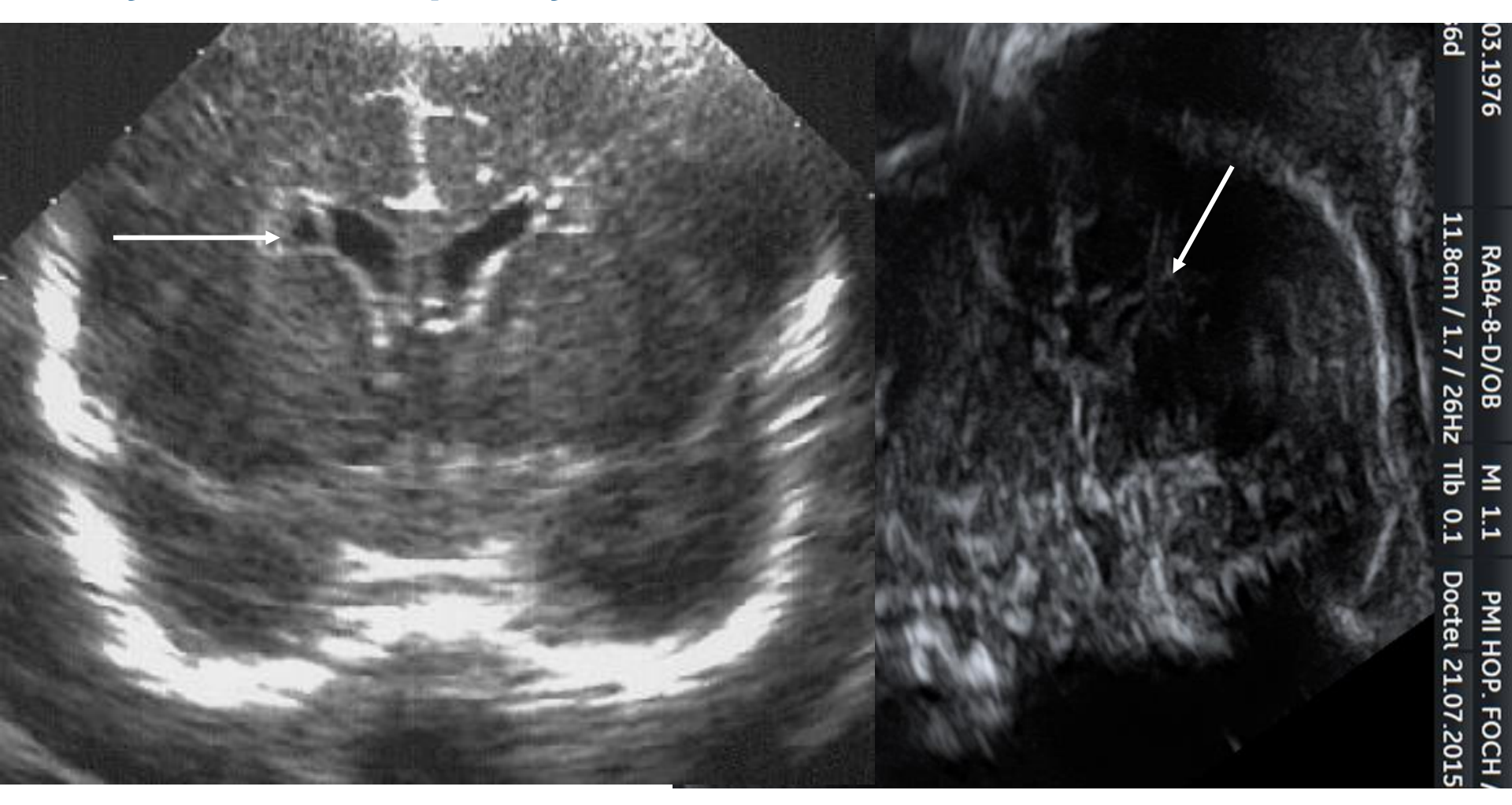
isolée augmente le risque de troubles auditifs

Amir et al., 2011 Arch Dis Childhood

Post natal: Mauvais pronostic si anomalies associées et absence de flux Doppler
Shin et al., 2015 J Clin Ultrasound

Hong et al., 2015 Pediatr Neurol

Kystes sous épendymaires



= atteinte fréquente de la matrice germinative

74 enfants: 8 CMV+

Cohorte Pédiatrique, JF Magny, Necker (non publiée)

Echographie cérébrale néonatale

55/168 (32.7%) anomalies cérébrales « minimes »

Hyperéchogénicité des vx thalamiques : 18

Kystes sous-épendymaires : 14 —— Seul associé à des séquelles auditives

Kystes + hyperéchogénicité : 16

Asymétrie ventriculaire : 7

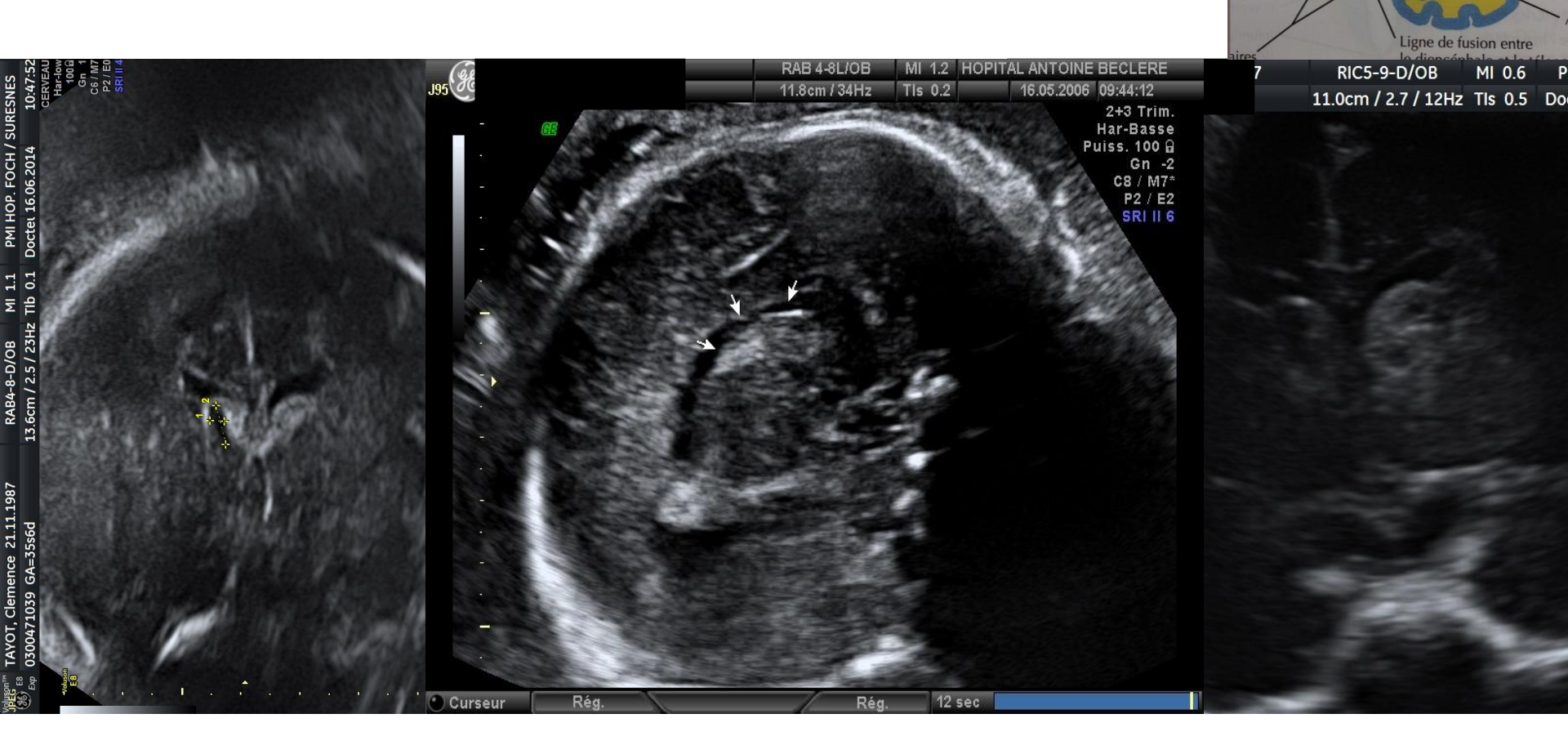
Cohorte Pédiatrique, JF Magny, Necker (non publiée)

| | Audition Nle n=149 | Déficit auditif n=19 | p | OR | OR : IC à 95% | VPN % |
|------------------------------|--------------------------|-------------------------|--------|------|---------------|-------|
| Kystes sous- ependymaires | 22 14.7% | 8 42.1% | <0.008 | 4.15 | [1.29;12.8] | 92 % |

Pas d'excès d'anomalies développementale à 6 ans

Qian JH et al., Zhonghua Er Ke Za Zhi 2004

Atteinte des noyaux gris centraux: noyau caudé, thalamus



Corps du noyau caudé (no

n pellucidum Fornix

callosum

Atteinte exceptionnellement isolée, Rôle dans la contrôle des mouvements, cognition: mauvais pronostic

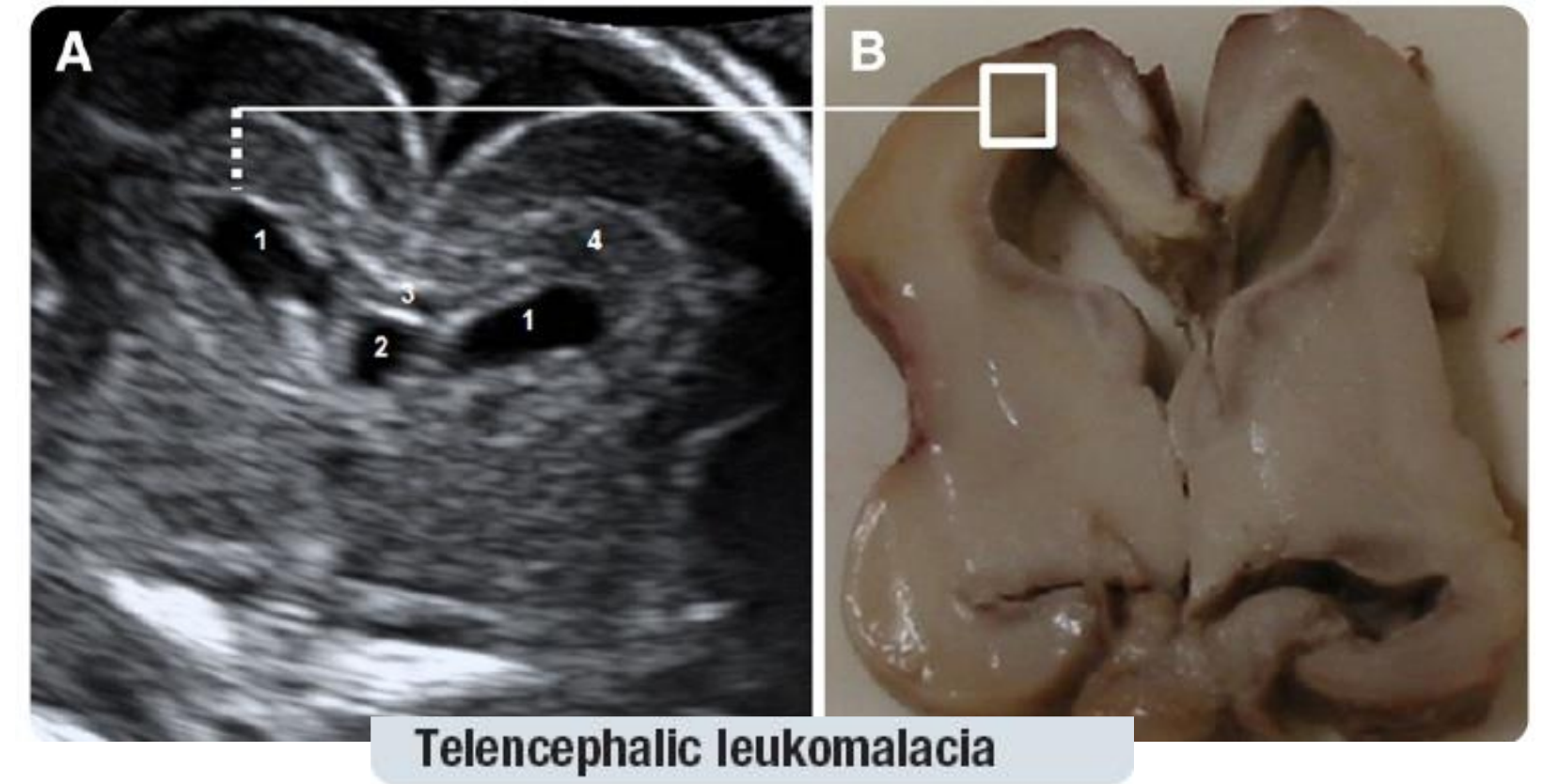


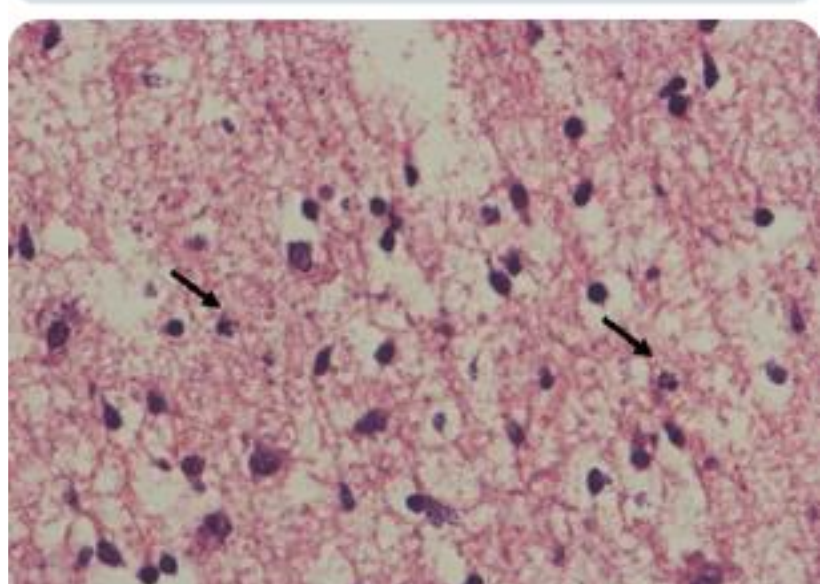
Parois ventriculaires hyperéchogènes



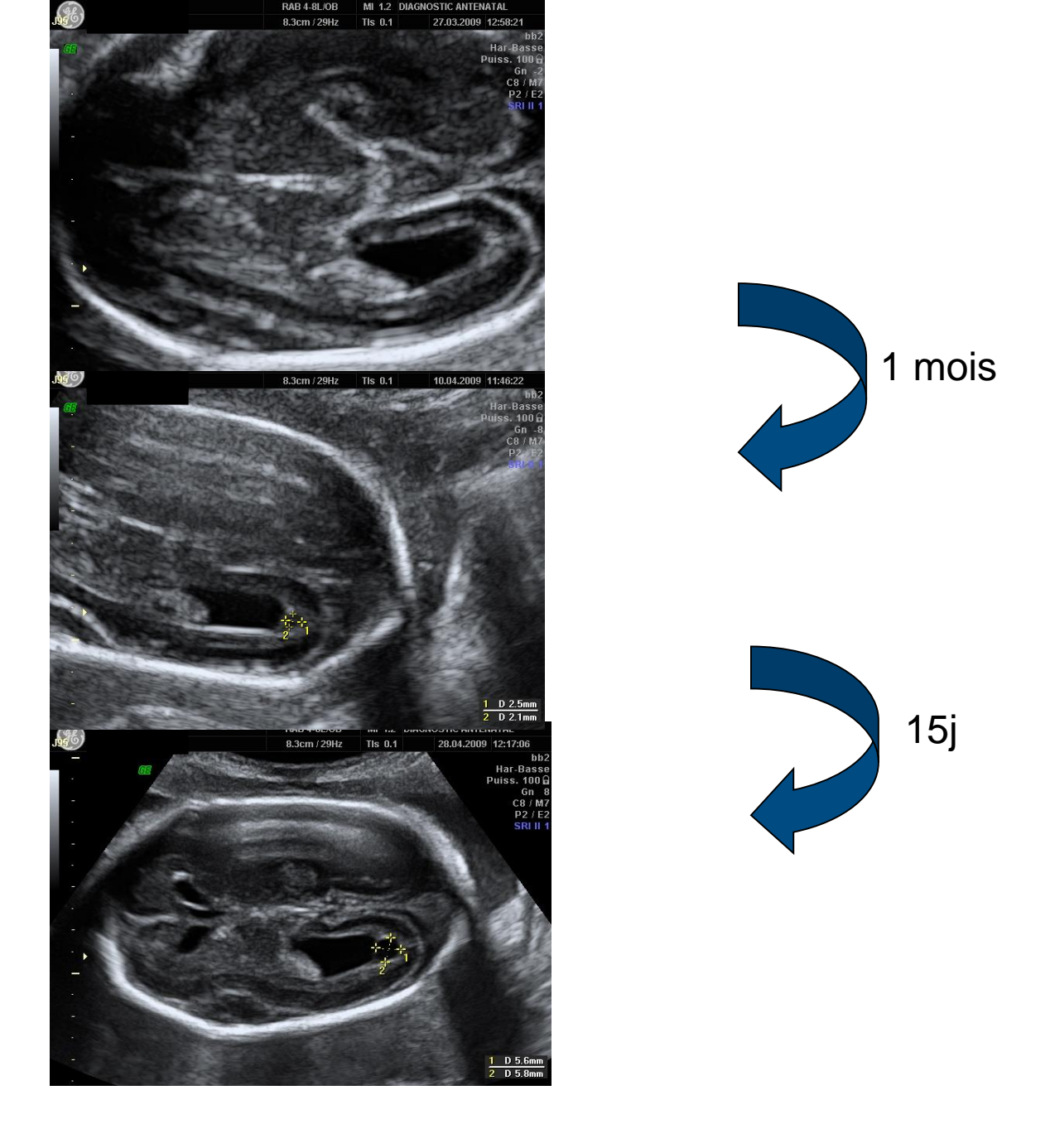
 signe précoce d'inflammation cérébrale Évolution possible vers cavitations

Simonazzi et al., Am J Obstet Gynecol 2010

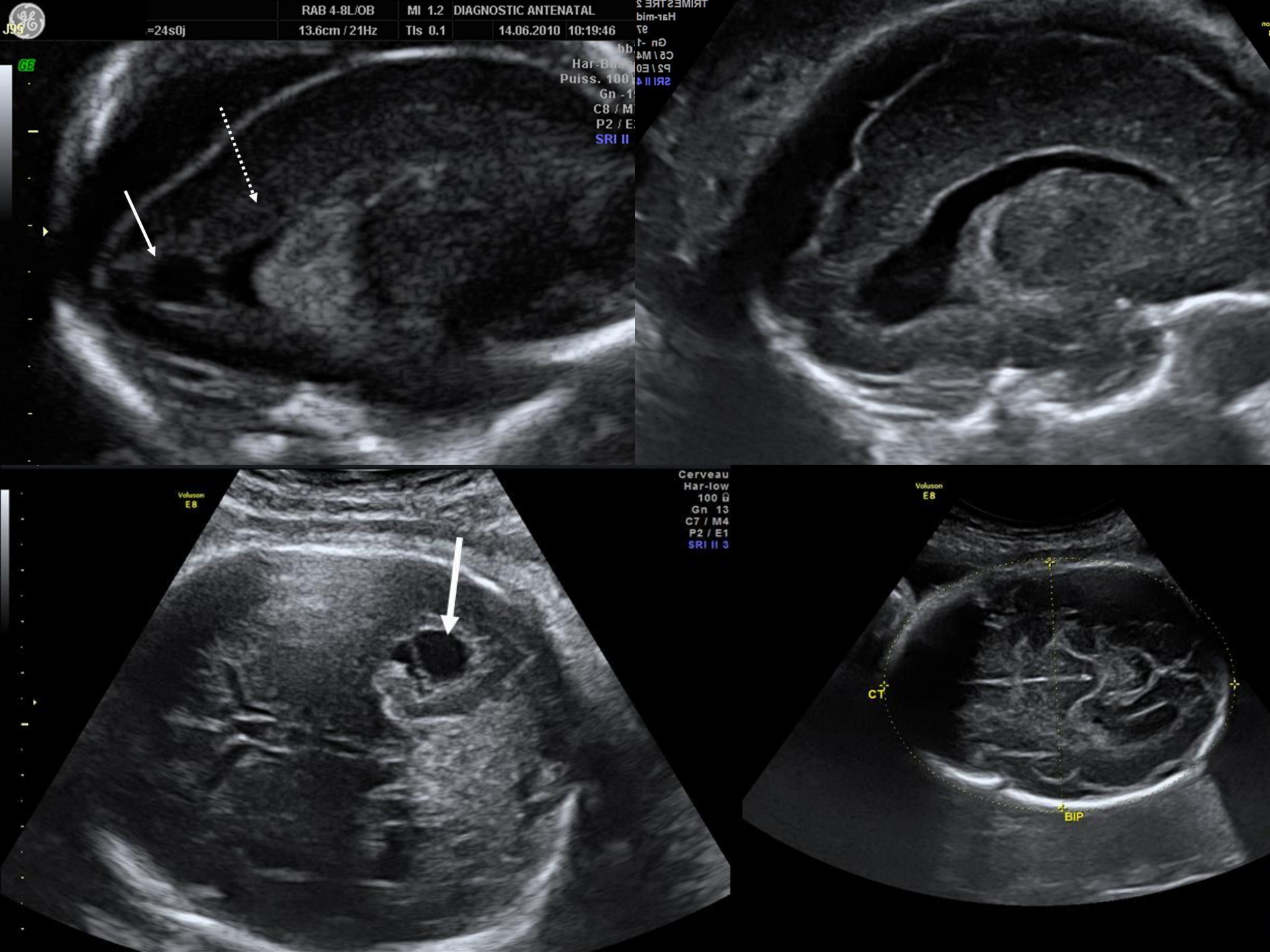




Cavitation corne postérieure et temporale

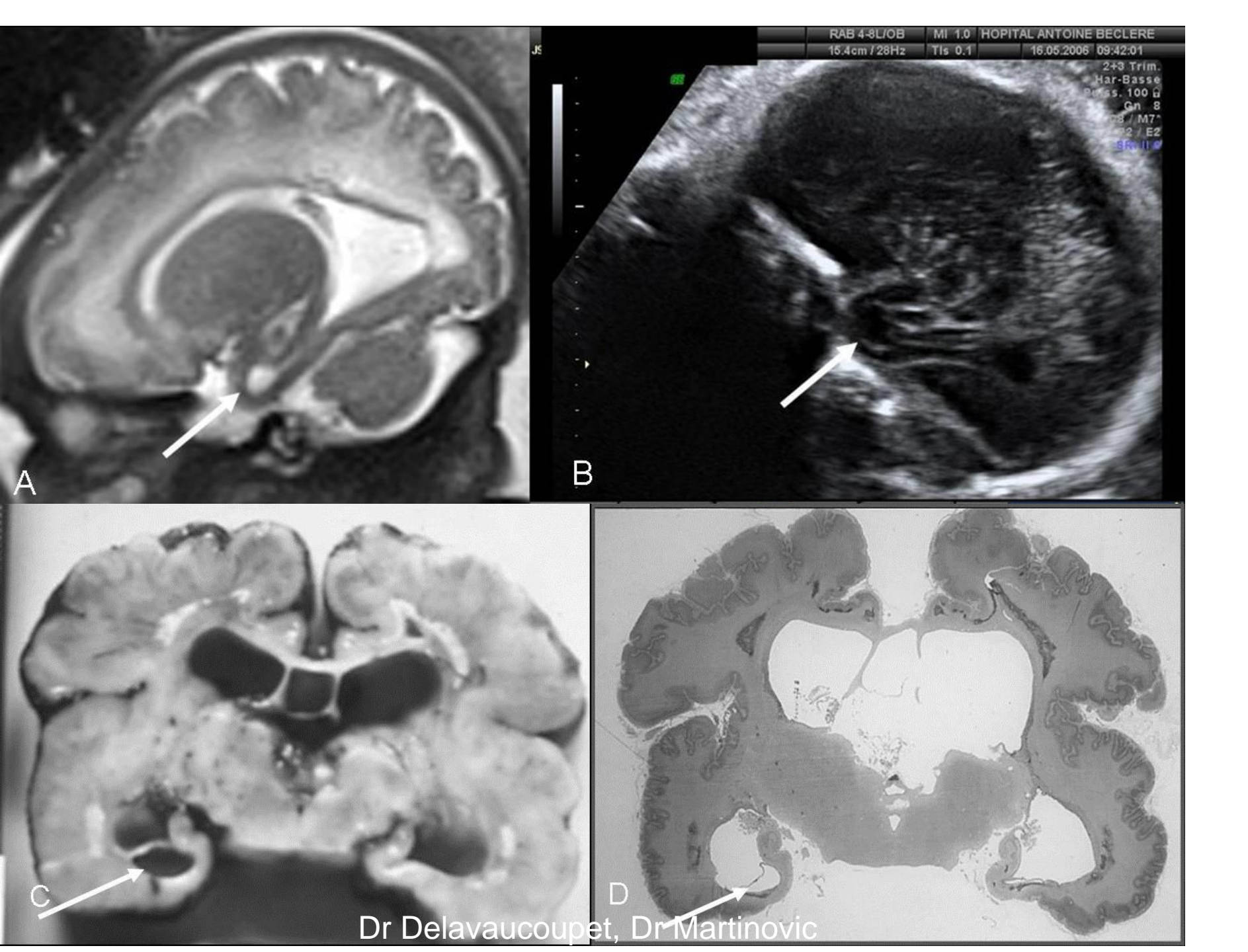


Picone O, Sonigo P et al., Prenat Diagn 2010









Anomalie gyration



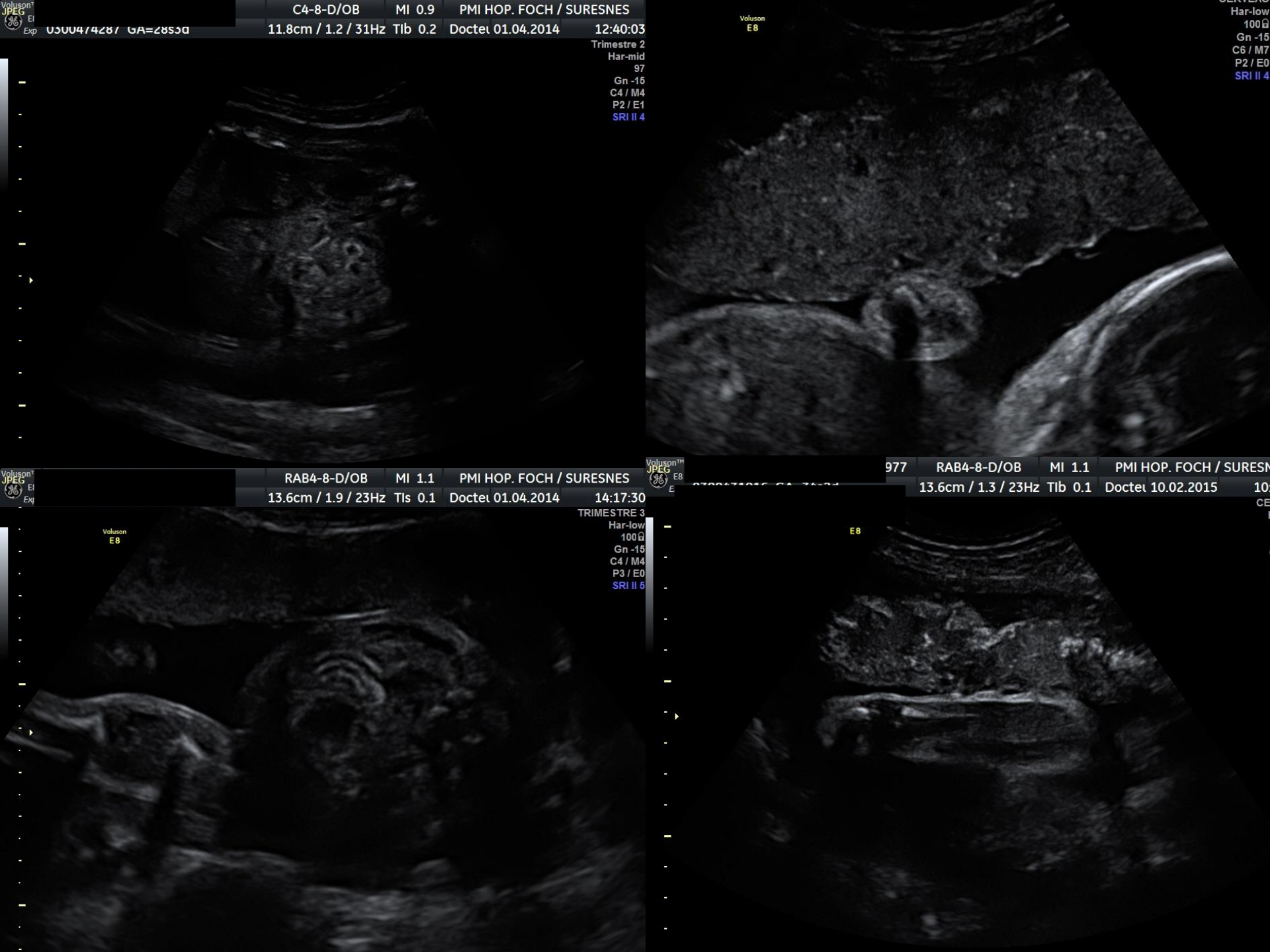
32SA!!!

Jamais décrit comme strictement isolée

Mesure du foie: hauteur de la flèche hépatique

Coupe parasagitale lobe droit a partir du diaphragme (mm)

| | 5 ème centile | 50 ^{ème} centile | 95 ème centile |
|------|------------------|------------------------------|-------------------|
| 18SA | 16 | 22 | 28 |
| 20SA | 20 | 26 | 31 |
| 22SA | 23 | 29 | 35 |
| 24SA | 26 | 32 | 38 |
| 26SA | 29 | 35 | 41 |
| 28SA | 33 | 38 | 44 |
| 30SA | 36 | 42 | 48 |
| 32SA | 39 | 45 | 51 |
| 34SA | 42 | 48 | 54 |
| 36SA | 45 | 51 | 57 |
| 38SA | 49 | 55 | 60 |



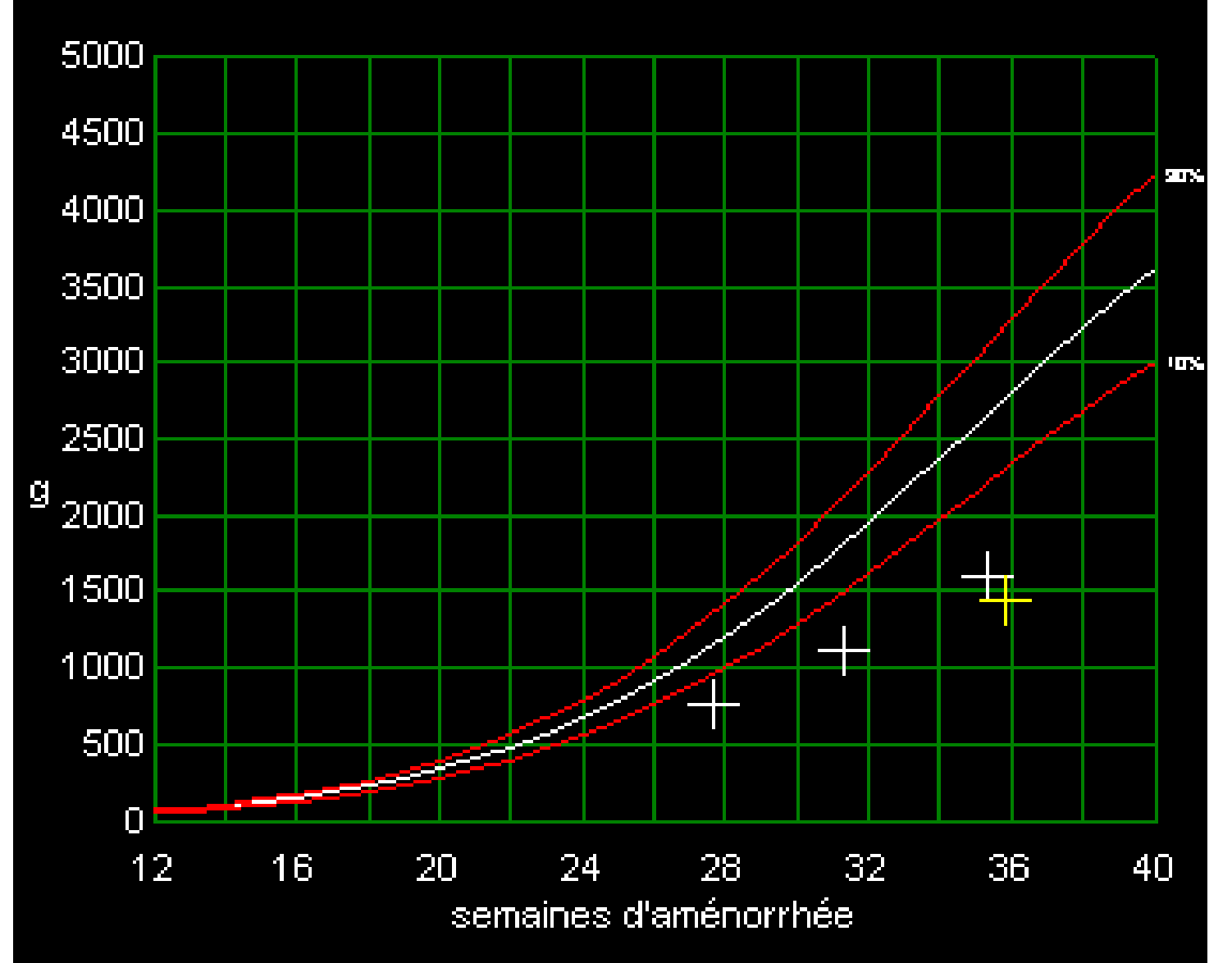






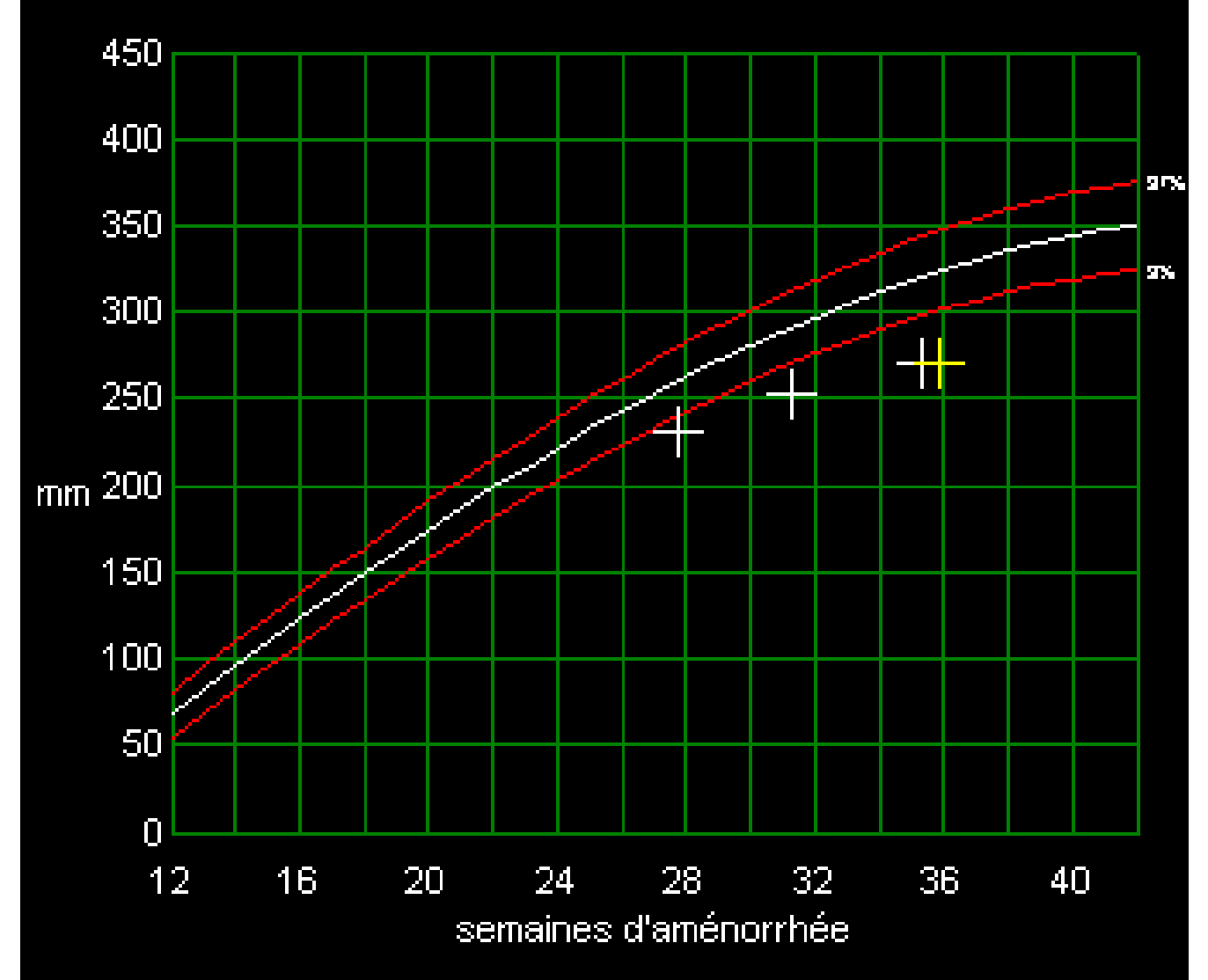


Poids foetal estimé



Hadlock FP, Harrist RB, Martinez-Poper J. In the rolanalysis of tetal growth: a sonographic weight standard. Radiology 1991; 188: 129-133

<u>Périmètre crânien</u>



Chitty LS, Altman DG , Henderson A, Campbell S, Charts of tetal size : 2. Head measurements . Br J Obstet Gynaecol 1994; 101: 35-43



CMV= Grand simulateur

Tout peut se voir

Caractéristique pronostique:

Evolutivité des signes

Atteinte rapidement multiple

Echo cérébrale normale

VPN globale de l'écho = 90%

Guerra et al., Am J Obstet Gynecol 2006

Stratégie basée sur amnio + echo: tous les cas grave ont étés diagnostiqués

Picone et al, Prenat Diagn 2013

Le risque de séquelles en cas d'écho et IRM nles = Troubles auditifs

Lipitz et al., Ultrasound Obstet Gynecol 2013

Conclusions

Absence de signe: fœtus a considérer comme asymptomatique:

Risque auditif: 10%

Présence d'une atteinte cérébrale grave:

cavitations, anomalie gyration, ventriculomégalie, atteintes multiples et évolutives

Fœtus a très haut risque de séquelles graves

Valeur des « petits signes » isolés

Candélabre, halo transitoire, kystes sous épendymaires, hyperechogenicités isolées stables

Augmentation risque auditif?

Zika et anomalies fœtales







Anomalies congénitales

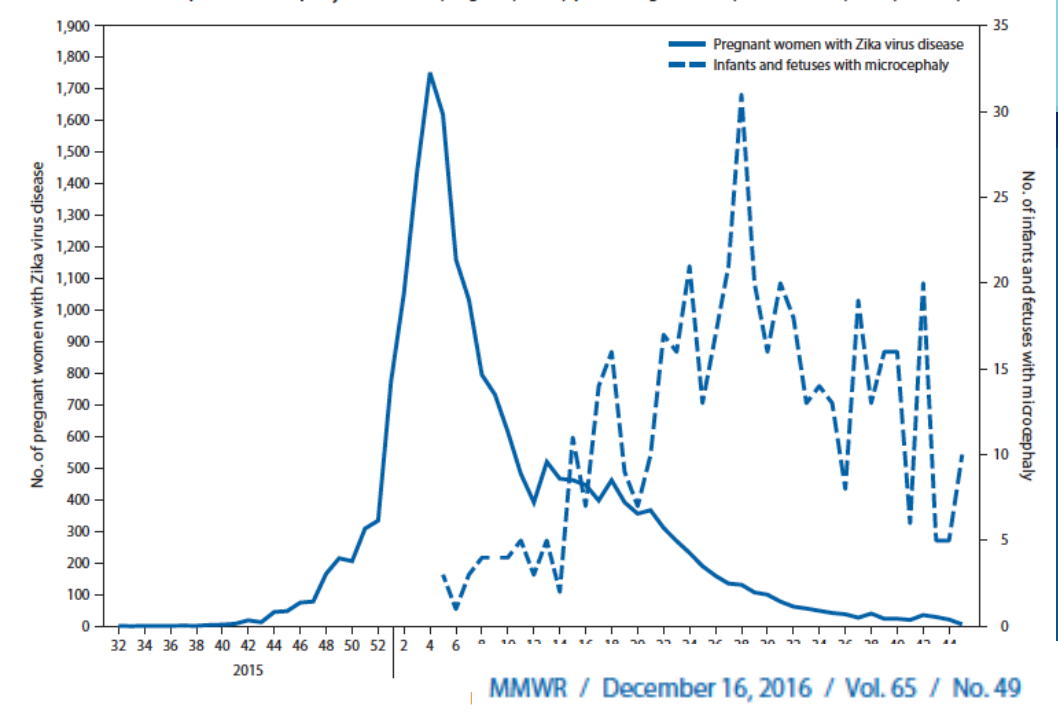


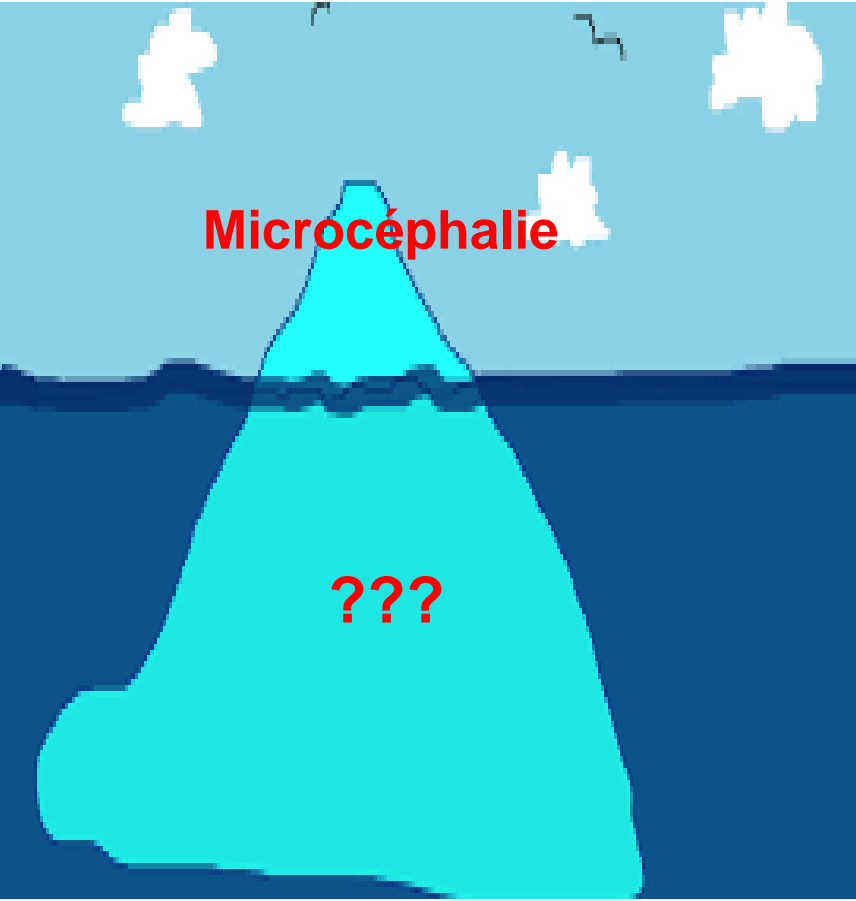
Morbidity and Mortality Weekly Report

Preliminary Report of Microcephaly Potentially Associated with Zika Virus Infection During Pregnancy — Colombia, January–November 2016

Esther Liliana Cuevas, MS, MPH¹; Van T. Tong, MPH²; Nathaly Rozo¹; Diana Valencia, MS²; Oscar Pacheco, MD¹; Suzanne M. Gilboa, PhD²; Marcela Mercado, MS¹; Christina M. Renquist, MPH²; Maritza González, MD¹; Elizabeth C. Ailes, PhD²; Carolina Duarte¹; Valerie Godoshian, MPH²; Christina L. Sancken, MPH²; Angelica Maria Rico Turca¹; Dinorah L. Calles, PhD²; Martha Ayala¹; Paula Morgan, MPH²; Erika Natalia Tolosa Perez, MD¹; Hernan Quijada Bonilla¹; Ruben Caceres Gomez¹; Ana Carolina Estupiñan³; Maria Luz Gunturiz¹; Dana Meaney-Delman, MD²; Denise J. Jamieson, MD²; Margaret A. Honein, PhD²; Martha Lucia Ospina Martínez, MD¹

FIGURE 1. Date of symptom onset of reported cases of Zika virus disease among pregnant women* and date of birth of infants or of pregnancy loss for fetuses with reported microcephaly† — Colombia, August 9, 2015 (epidemiologic week 32)–November 12, 2016 (week 45)





Guyane: St Laurent du Maroni

Etude prospective Janv-Juil 2016

498/1690 femmes enceintes Zika + (29,5%)

301 Z+

VS

399 Z-

TMF:

10,1%

Atteinte SNC:

27/301 (9%)

17/399 (4,3%)

RR 2,11 (1,18-4,13)

Microcéphalie:

5/301 (1,66%)

1/399 (0,25%)

p=0,07, NS

Pomar et al., Ultrasound Obstet Gynecol, 2017

ATTENTION

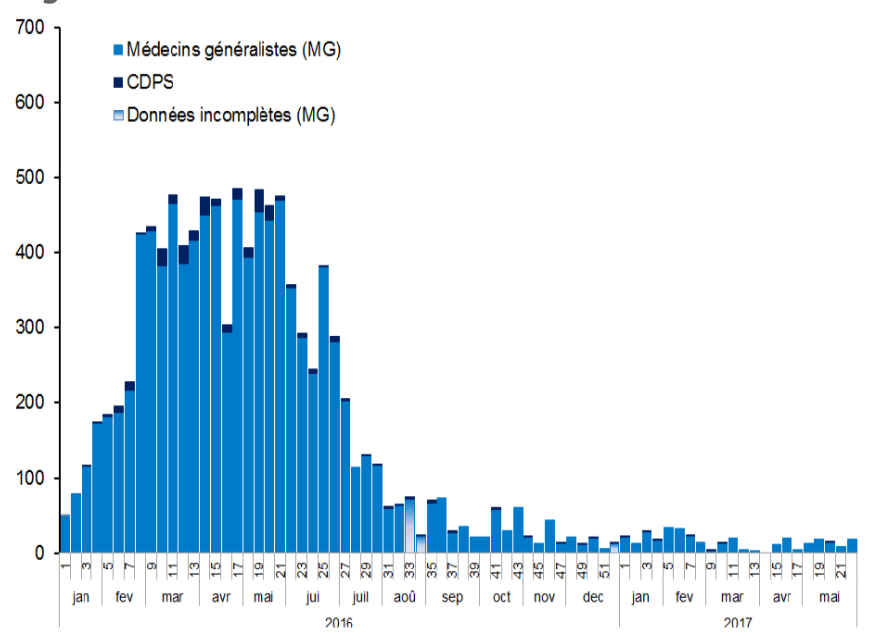
Pas encore nés 165/301

222/399

Parmi les fœtus avec anomalies combien de zika+?

Article en cours

Guyane, point en juin 2017



Total de 2083 FE Z+

18 anomalies cérébrales

(4microcephalies)
Surveillance du Zika

Bulletin mensuel : période du 3 avril au 4 juin 2017

Métropole:

1 117 personnes revenant de zone de circulation du virus Zika

58 femmes enceintes

5 cas complications neurologiques

12 cas par transmission sexuelle

TOTAL:

2681 femmes enceintes

18 Microcéphalies (0,6%)

25 autres anomalies (0,9%)

Une étude prospective (Zika-DFA-FE)

Article soumis NJEM (Dr B. Hoen)



Surveillance du virus Zika aux Antilles Guyane Situation épidémiologique



Que rechercher à l'échographie?

| - | Ultrasound findings | Total (N=52) |
|---|--|------------------|
| 1 | Median gestational age of first abnormality (IQR) | 24.1 (22.6-28.8) |
| | Median gestation age of fetal microcephaly diagnosis (IQR) | 27.7 (23.4-32) |
| | Other ultrasound findings associated with microcephaly | |
| | Ventriculomegaly, no. (%) | 34 (65.4%) |
| | Progressive ventriculomegaly, no. (%) | 14 (26.9%) |
| | Periventricular/basal ganglia calcifications, no. (%) | 23 (44.2%) |
| | Posterior fossa abnormalities, no. (%)* | 17 (32.7%) |
| | Corpus callosum dysgenesis, no. (%) | 02 (3.8%) |
| | Congenital talipes, no. (%) | 09 (17.3%) |
| | Arthrogryposis, no. (%) | 05 (9.6%) |
| | Cardiac calcification, no. (%) | 02 (3.8%) |
| | Pericardial effusion, no. (%) | 02 (3.8%) |
| | Oligohydramnios, no. (%) | 06 (11.5%) |
| | Fetal growth restriction, no. (%) | 25 (48.1%) |
| | Fetal death, no. (%) | 04 (7.7%) |

Sarno et al., Ultrasound Obstet Gynecol In Press











N=68 (81%)







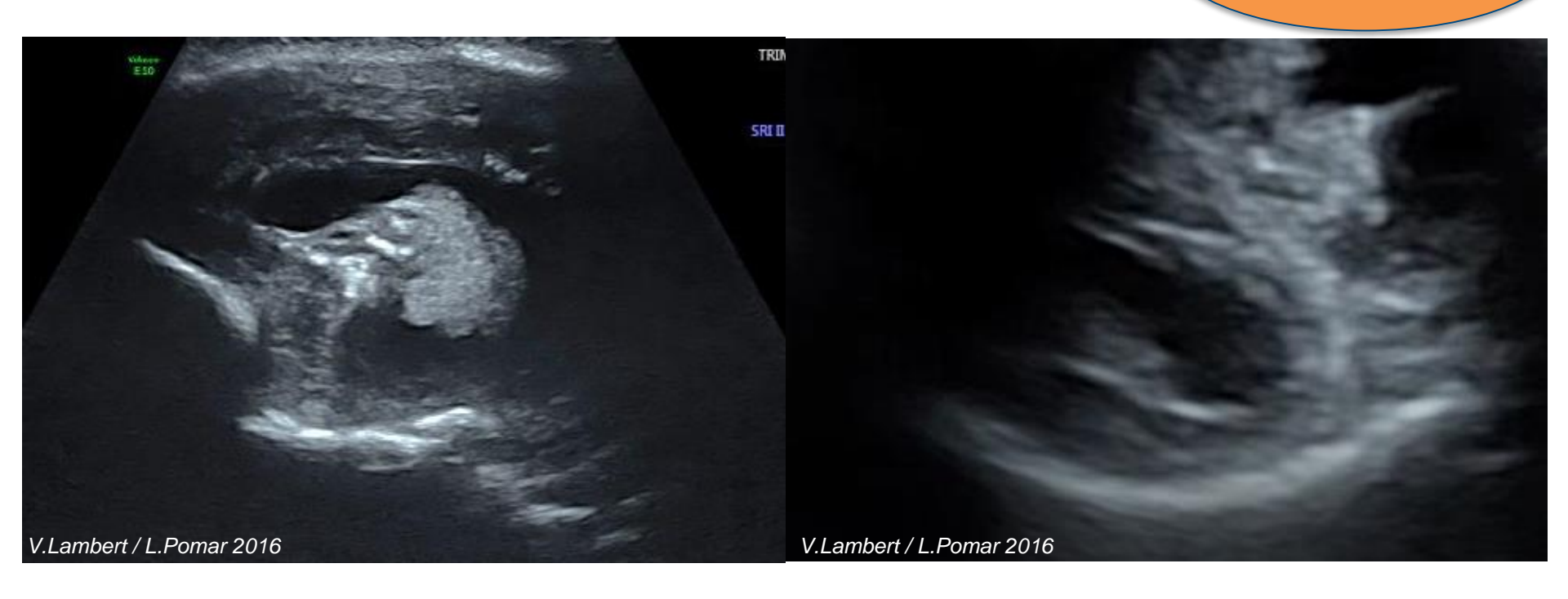


N=48 (57%)

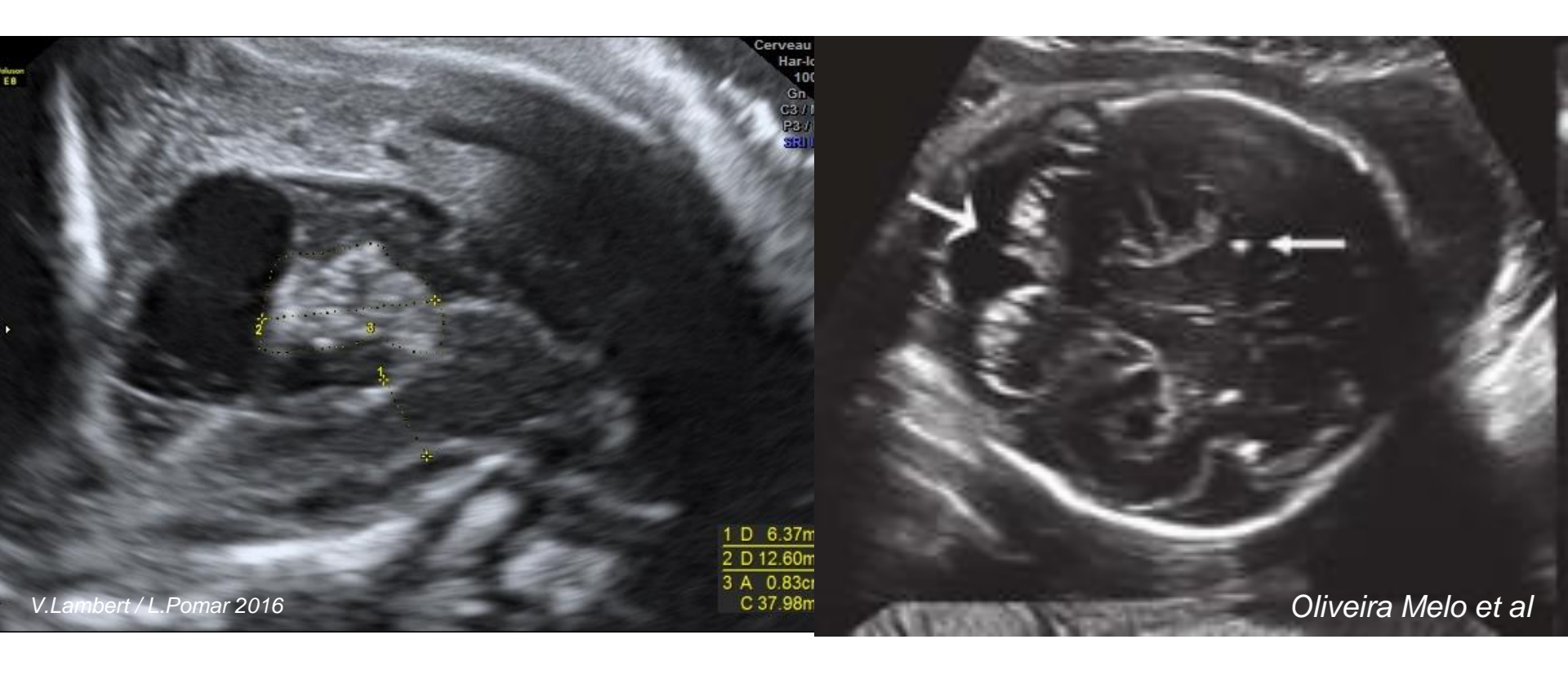








N=47 (56%)



















cification











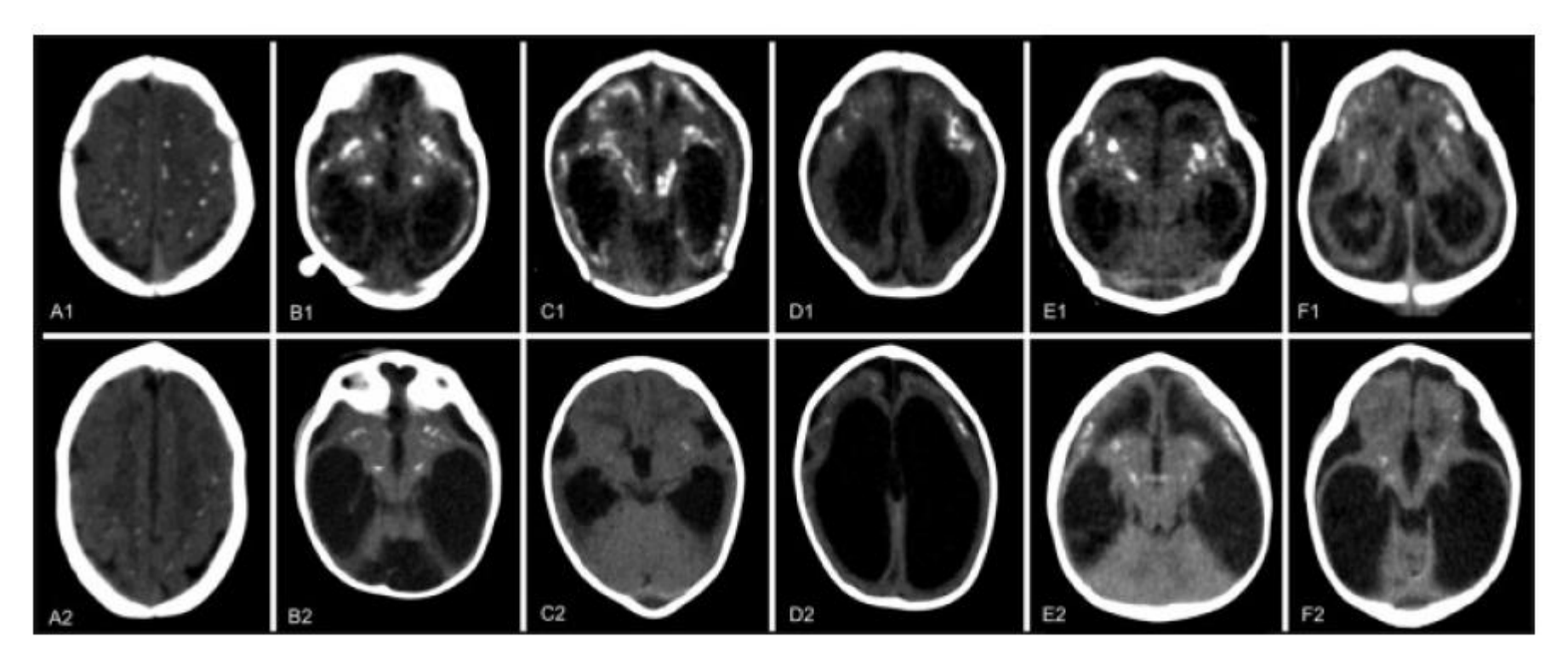


Attention:

nécessité de suivi échographique prolongé+++

Parfois délai long entre infection maternelle et signes écho

Imagerie post natale



CT Scan à la naissance et à un an: diminution des calcifications sans corrélation avec l'état neurologique

BMJ. 2017; 359: j4188.

Published online 2017 Oct 13. doi: <u>10.1136/bmj.j4188</u>

PMCID: PMC5639438

Follow-up brain imaging of 37 children with congenital Zika syndrome: case series study

Diagnostic différentiels

| Differential Diagnosis of Brain Abnormalities Observed in Congenital Infections: CMV, Zika Virus, and Toxoplasmosis | | | | | |
|---|--|---|--|--|--|
| Type of Abnormality | CMV | Zika Virus | Toxoplasmosis | | |
| Calcification | Periventricular or cortical distribution Punctate or thick pattern | Cortical-subcortical junction, bandlike distribution Punctate, dystrophic, linear, or coarse pattern | Cortical distribution Nodular pattern | | |
| Microcephaly | May be seen | May be seen; exuberant external occipital protuberance and redundant scalp skin in the occipital region | Less common | | |
| Neuronal migration disorder | May be seen | May be seen | Not seen | | |
| Ventriculomegaly | Mild to moderate | Mild to moderate | Moderate to severe | | |
| Cerebellum | Hypoplasia may be present | Not affected in most cases; hy- poplasia may be present | Hypoplasia may be present | | |
| Face | Normal | Reduced frontonasal angle | Normal | | |

Table 1 Comparison of major pathogens associated with congenital microcephaly

| Microorganism | Risk of symptomatic congenital infection ^a (%) | CNS manifestations at birth ^b (%) | Mode of transmission | Vaccine availability | References |
|-------------------|---|--|----------------------|----------------------|-------------|
| Zika virus | 8-10 | 80° | Mosquito and sexual | In clinical trials | [8, 9] |
| Cytomegalovirus | 1–15 | 10-50 | Sexual and oral | In clinical trials | [10-14] |
| Rubella virus | 20-50 | 10-20 | Respiratory | Available | [3, 15, 16] |
| Toxoplasma gondii | 10–20 | 5–10 | Ingestion | None available | [17, 18] |

Eur J Clin Microbiol Infect Dis DOI 10.1007/s10096-017-3111-8

CrossMark

REVIEW

The pathogenesis of microcephaly resulting from congenital infections: why is my baby's head so small?



Conclusions



Il n'y a pas que la microcéphalie

Faible nombre d'infections à Zika confirmées chez le fœtus et le NN

Infection proche d'autres fœtopathies infectieuses (CMV...)

Reste à éclaircir...

Taux de transmission materno-fœtale Marqueurs pronostiques, Gold standard diagnostique Suivi à long terme





Merci pour votre attention



Merci à G. Carles, V. Lambert et L. Pomar pour leurs images

Varicelle

1er et 2éme Trimestre

Risque de syndrome de varicelle congénitale: 0,7%

| T1 | T2 | ТЗ | | | |
|-------------------------|-------|-------|--|--|--|
| 4/725 | 9/642 | 0/385 | | | |
| 0,55% | 1,4% | 0% | | | |
| Exceptionnel après 20SA | | | | | |

Risque de transmission materno fœtal: 8-24% avant 24SA

Risque de syndrome de varicelle congénitale avant 20SA: 0.9 à 2 %

Pas d'augmentation du risque de FCS ou MFIU

Risque de Zona dans la première année de vie:

0,8% si T2 1,7% si T3

Embryo-foetopathie varicelleuse

Syndrome de varicelle congénitale:

RCIU

Cicatrices pigmentées

Microphtalmie, opacité cornéenne, cataracte, choriorétinite

Microcéphalie, paralysie phrénique ou bulbaire

Hypoplasie d'un membre, contracture articulaire

Calcifications digestives

Table III. Incidence of congenital varicella syndrome in cohort studies.

| Study | No. of CVS/no. of live births (%) | | | |
|---|---|----------------------------------|--|--|
| | First trimester | Second trimester | Third trimester | Overall (%) |
| Hill et al. (1958) Manson et al. (1960) Siegel (1973) Paryani and Arvin (1986) Balducci et al. (1992) | 1/27 (3.70) 1/11 (9.09)) 0/35 (0) | 0/32 (0) 0/11 (0) | 0/76 (0) 0/19 (0) | 0/30 (0) 0/288 (0) 1/135 (0.74) 1/41 (2.43) 0/35 (0) |
| Pastuszak et al. (1994) Enders et al. (1994) Jones et al. (1994) Dufour et al. (1996) ^a | 1/86 (1.16) 1/469 (0.21) 1/110 (0.91) 0/17 (0) | 6/477 (1.26) 1/46 (2.17) | 0/14 (0) 0/345 (0) 0/13 (0) 0/3 (0) | 0/33 (0) 1/100 (1) 7/1291 (0.54) 2/169 (1.18) 0/20 (0) |
| Figueroa-Damian and Arredondo-Garcia (1997) ^a Mouly et al. (1997) Harger et al. (2002) Sanchez et al. (2011) ^a Mean (%) | 0/22 (0) 12 weeks 1/252 (0.39) 0 à 9% | 19 weeks 24 weeks 1 à 2,1% | 0% | 0/22 (0) 2/94 (2.13) 1/231 (0.4) 1/252 (0.40) 16/2708 (0.59) |

^aFocusing on incidence of CVS in first 20 weeks; CVS, congenital varicella syndrome; No., number.

Table IV. Incidence of congenital varicella syndrome in the first 20 weeks.

| Study | No. of CVS/no. of live birth (%) |
|--|----------------------------------|
| Paryani and Arvin (1986) | 1/22 (4.55) |
| Balducci et al. (1992) | 0/35 (0) |
| Pastuszak et al. (1994) | 1/86 (1.16) |
| Enders et al. (1994) | 7/816 (0.86) |
| Jones et al. (1994) | 2/146 (1.37) |
| Dufour et al. (1996) | 0/17 (0) |
| Figueroa-Damian and Arredondo-Garcia (1997) | 0/22 (0) |
| Mouly et al. (1997) | 2/89 (0) |
| Harger et al. (2002) | 0/190 (0) |
| Sanchez et al. (2011) | 1/252 (0.40) |
| Mean (%) | 14/1675 (0.84) |
| CVS, congenital varicella syndrome; No., number. | 0 à 4,5% |

Obstetrics and Gynaecology

Journal of Obstetrics and Gynaecology

ISSN: 0144-3615 (Print) 1364-6893 (Online) Journal homepage: http://www.tandfonline.com/loi/ijog20

0 à 2,4%

Congenital varicella syndrome: A systematic review

Ki Hoon Ahn, Yun-Jung Park, Soon-Cheol Hong, Eun Hee Lee, Ji-Sung Lee, Min-Jeong Oh & Hai-Joong Kim

Table 2 Gestational and neonatal outcomes in cases of varicella in pregnancy according to the trimester of maternal varicella disease (192 pregnancies with known outcome of which 173 ended with birth of 175 newborns, including two twin pregnancies)

| Outcome | I° trimester <i>n/N</i> (%) | II° trimester n/N (%) | III° trimester n/N (%) | All n/N (%) |
|---|-----------------------------|---|--------------------------|---------------|
| Miscarriage | 6/105 (5.7) | 1/58 (1.7) | 0/27 (0) | 7/192 (3.6) |
| Voluntary termination of pregnancy | 9/105 (8.5) | 0/58 (0) | 0/27 (0) | 9/192 (4.7) |
| Intrauterine death | 0/105 (0) | 0/58 (0) | 1/27 (3.7) | 1/192 (0.5) |
| Pre-term birth | 2/91 (2.2) | 4/58 (5.2) | 0/27 (0) | 6/175 (3.4) |
| Post-term birth | 13/91 (14.3) | 16/58 (27.6) | 0/27 (0) | 29/175 (16.6) |
| Low birth weight | 2/91 (2.2) | 1/58 (1.7) | 0/27 (0) | 3/175 (1.7) |
| Neonatal varicella | 0/91 (0) | 0/58 (0) | 1/27 (3.8) | 1/175 (0.6) |
| Neonatal herpes zoster | 0/91 (0) | 0/58 (0) | 0/27 (0) | 0/75 (0) |
| Development problems | 0/91 (0) | 1/58 (1.7) | 1/27 (3.8) | 2/175 (1.1) |
| Suspected CVS according to APSU | 7/105 (6.7) | 3/58 (5.2) | 1/27 (3.7) | 11/192 (5.7) |
| Suspected CVS according to APSU excluding miscarriage | 2/105 (1.9) | 2/58 (3.4) | 1/27 (3.7) | 5/192 (2.6) |

Infection (2018) 46:693-699 https://doi.org/10.1007/s15010-018-1150-4

BRIEF REPORT



Epidemiology, management and outcome of varicella in pregnancy: a 20-year experience at the Tuscany Reference Centre for Infectious Diseases in Pregnancy

Michele Trotta^{1,2} · Beatrice Borchi^{1,2} · Alessandra Niccolai³ · Elisabetta Venturini^{4,5} · Susanna Giaché⁶ · Gaetana Sterrantino¹ · Maria Grazia Colao⁷ · Gian Maria Rossolini^{6,7} · Alessandro Bartoloni^{1,6} · Lorenzo Zammarchi^{1,2,6}

Table 1 Principal signs and symptoms of fetal varicella syndrome (n=96 children) literature review. Each child could have one or more symptom

| Symptoms | Proportion of children (%) |
|--|-------------------------------|
| Skin lesions (scars, skin loss) | 76 |
| Neurologic damage (cortical atrophy, spinal atrophy, limb paresis, seizures, microcephaly, Horner's syndrome, encephalitis, dysphagia) | 60 |
| Eye diseases (microphthalmia, chorioretinitis, cataract, nystagmus, anisocoria, optic atrophy) | 51 |
| Limb hypoplasia and other skeletal anomalies | 49 |
| IUGR | 22 |
| Muscle hypoplasia | 21 |
| Gastrointestinal abnormalities | 15 |
| Affections of internal organs | 13 |
| Developmental delay | 12 |
| Genitourinary abnormalities | 12 |
| Cardiovascular anomalies | 8 |
| Defects of other organs | 7 |

IUGR, intrauterine growth restriction.

Prenatal Diagnosis 2012, 32, 511-518 Mandelbrot L

| | RCIU | Extremités (hypo Mb) | SNC | Calcif. Hepat/digest | placenta | hydrops hydramnios | Autres | N |
|---------------------|------|----------------------|----------------------------|-------------------------|----------|--------------------|--|------|
| Lynch | 1 | 1 | 1 (VMG, hypop cereb) | 0 | ND | 0 | | 1 |
| Alkalay | 8 | 14 | 16 (μcephalie, μopht, VMG) | ND | ND | ND | | 22 |
| Pons | | | 1 | 1 | | 1 | | 1 |
| Lecuru | | | 1 (calcif) | 1 | | | | 1 |
| Boumahi | | | | 1 | | | | 1 |
| Enders | ND | 7 | 3 (μceph, μopht) | 0 | 0 | 0 | | 9 |
| Harger | 1 | | | | | 1 | | 2 |
| Pasteszack | 1 | 1 (pied bot) | 1 (VMG) | 1 | 1 | | méningocèle | 4 |
| Mazella | | | 1 (VMG) | | | | | 1 |
| Verstralen | 1 | 1 | 1 (pachygyrie, hypo cereb) | 1 + intest hyperecho | | | pyelectasie | 1 |
| Katz | | 1 | 1 (VMG) | | | | Méingocèle, CIA | 4 |
| Solomeyer | 1 | 1 | 1(VMG, calcif) | 1 | | 1 | Oedeme art, calcif thoracique | 1 |
| Chan | | | 1 (porenceph) | | | | | 1 |
| Hofmeyr | 1 | 1 | | | | | Calcif thoracique | 1 |
| Huang | 1 | 1 | | | | | Atrésie sigmoide, omphalo | 1 |
| Figuero | 1 | | 1 μceph | | | | | 2 |
| Petignat | | 1 | | 1 | 1 | | | 1 |
| TOTAL | 16 | 28 | 29 | 7 | 2 | 1 2 | | 53 |
| | 30% | 55% | 57% | 23% | 23% | 3% 6% | | |
| Néonat Sauerbrei | 22% | 49% | 60% + opht 51% | 15-28% | - | - | Peau (70%), muscle(20%), génito- uro, cardio | 96 |
| | | | | | | | G. | Macé |



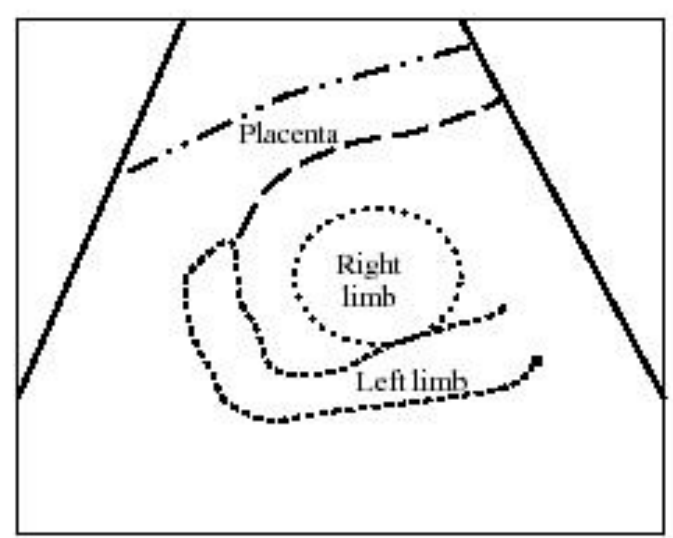


Figure 1-Hypoplastic left lower limb (longitudinal view) with club-foot deformity and axial view of the right lower limb

Copyright © 2003 John Wiley & Sons, Ltd.

Prenat Diagn 2003; 23: 705-709.



Panel B



Prenat Diagn 2003; 23: 705-709.

Published online in Wiley InterScience (www.interscience.wiley.com). DOI: 10.1002/pd.669

Prenatal ultrasound and magnetic resonance imaging in fetal varicella syndrome: correlation with pathology findings



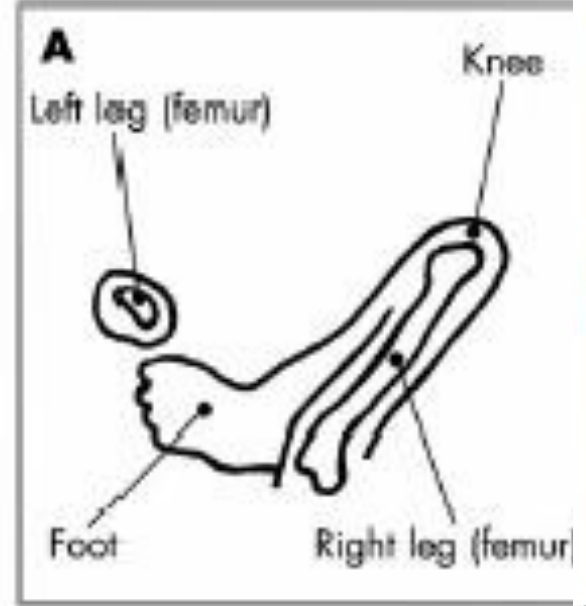






Figure 2 Right side of the back with skind mions in a demantical distribution

Rigars 3. Right lower limb with weignfur skin belone and with underlying severs hypophysis, of natural oslonical tiesus



23.9 mm



30.3 mm

SHORT COMMUNICATION

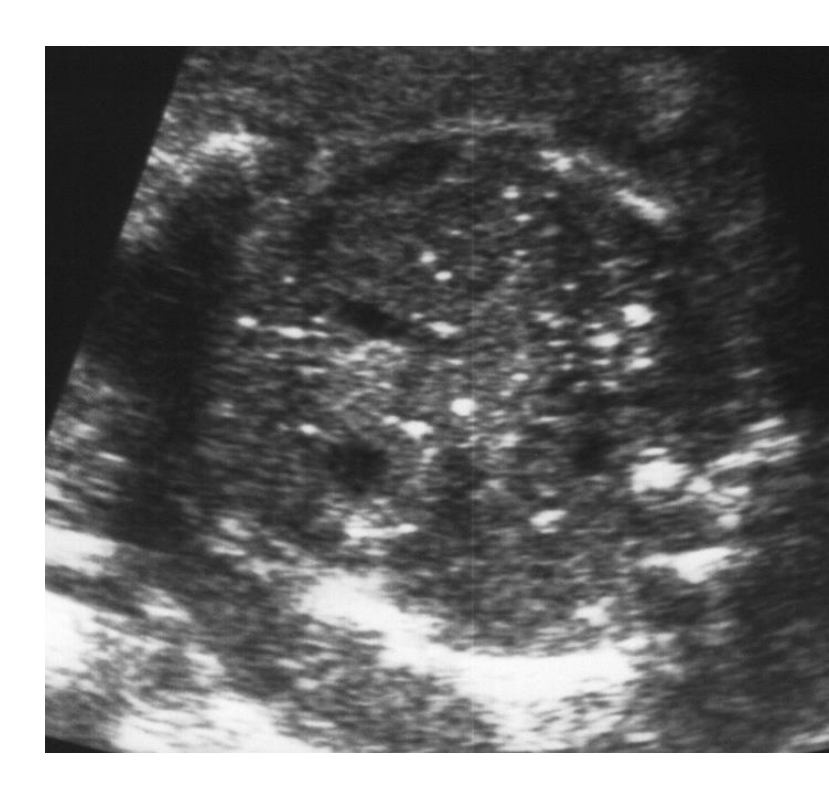
Fetal varicella-herpes zoster syndrome in early pregnancy:

1 (A) South and diagrams showing flourd right large and achieston of the log to the call. Source hypophole of the right lower Emb ultrasonographic and morphological correlation stall by a significant difference in the length of such face: (ii) right 23.9 mm, (C) left 30.3 mm.





Fig. 1—(A) Sonographical demonstration of contraction of the upper extren (B) Gross examination of the fetus with congenital varicella syndrome, illustrating limb contractions

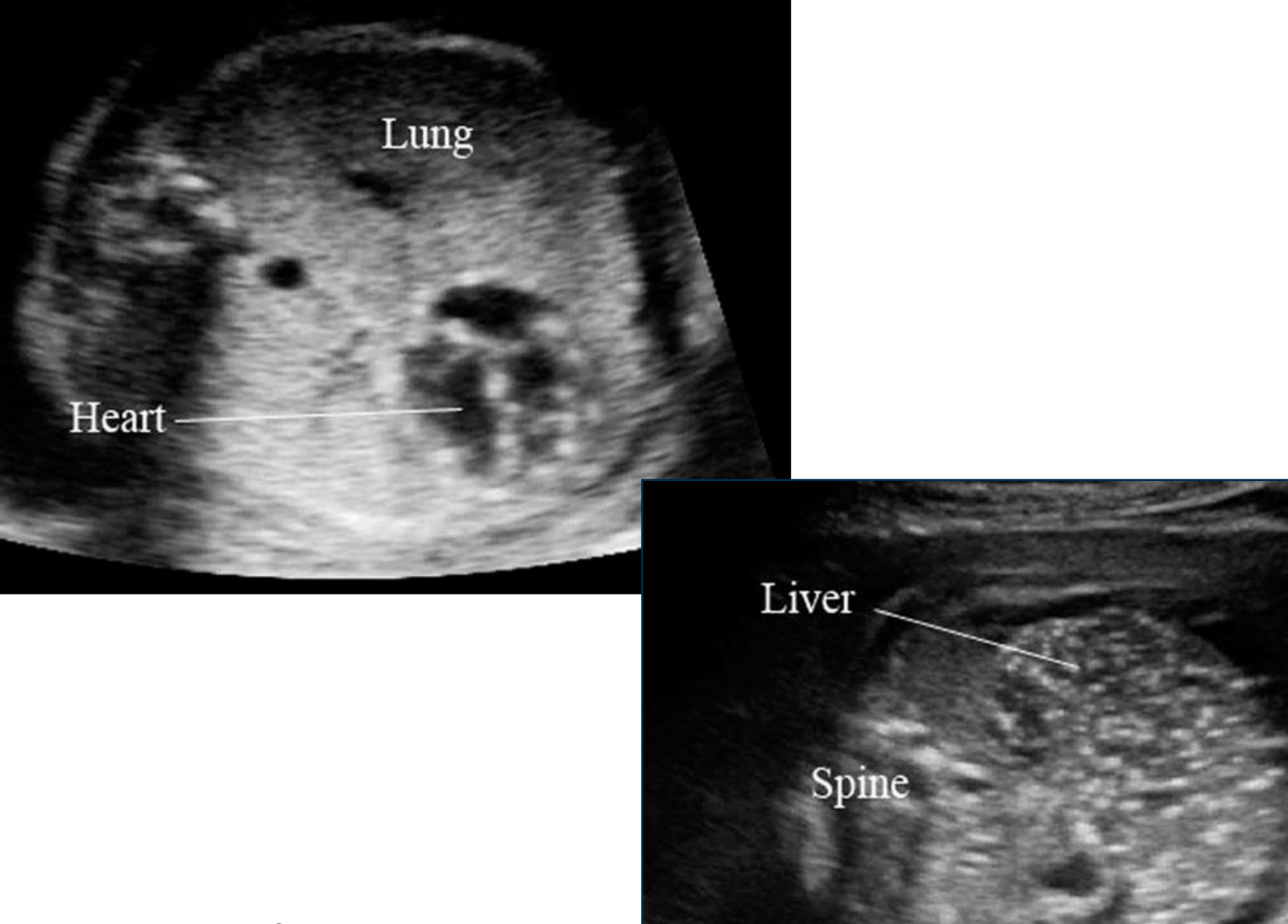


PRENATAL DIAGNOSIS
Prenat. Diagn. 19: 163–166 (1999)

SHORT COMMUNICATION

Prenatal Diagnosis of Congenital Varicella Syndrome and Detection of Varicella-zoster Virus in the Fetus: A Case Report

John Hartung¹*, Gisela Enders², Rabih Chaoui¹, Annette Arents², Cornelia Tennstedt³ and Rainer Bollmann¹



Ascites

Tongsong et al., J Clin Ultrasound 2012





CONCLUSION:

Varicelle confirmée avant 24 SA.

Risque fœtale ~ 2%

Surveillance échographique répétée 5 semaines après l'éruption et jusqu'au terme.

Recherche focalisée signes spécifiques / aspécifiques.

Examen post natal

Fœtopathie herpétique











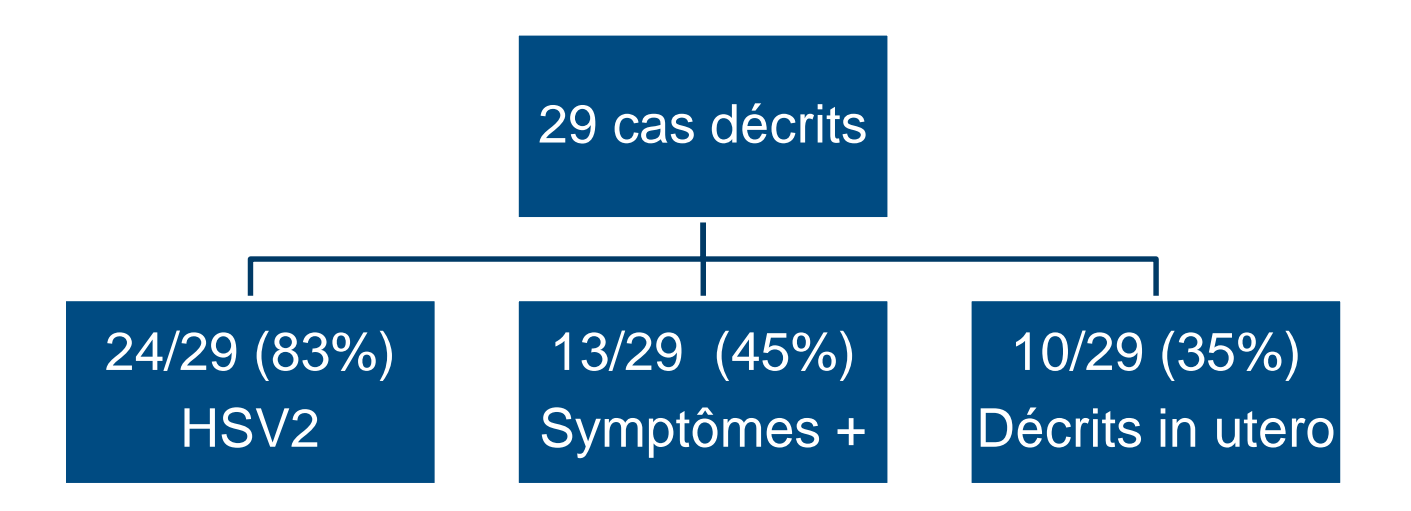
Cas rares: biais de publication

Récurrence HSV T1 et risque malformatif:

Pas de sur risque (étude cas témoin) (NP3)

Acs et al., Acta Obstet Gynecol Scand, 2008

Cas décrits: PI ou NPI



Récurrence HSV T1 et risque malformatif:

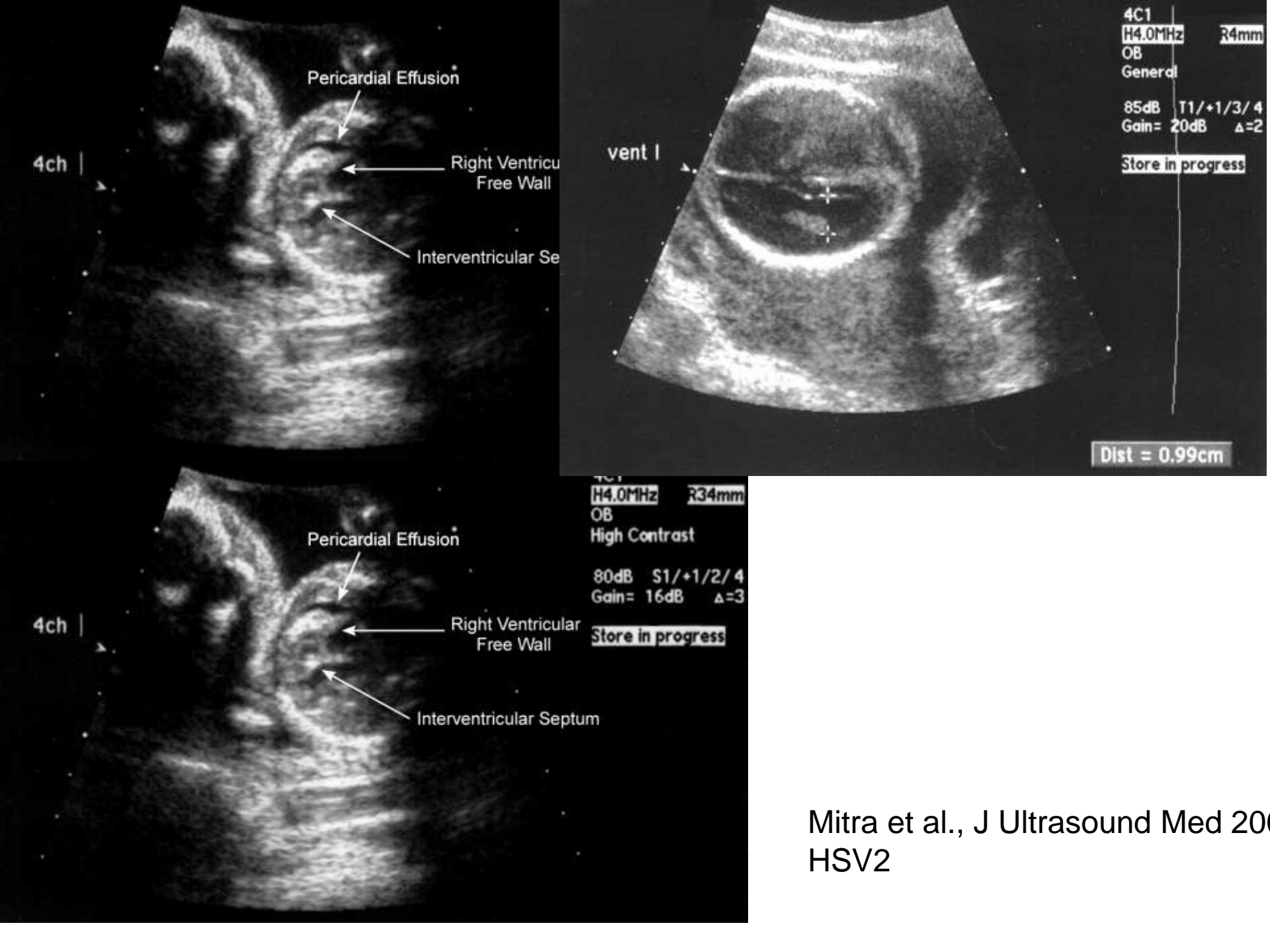
Pas de sur risque (étude cas témoin) (NP3)

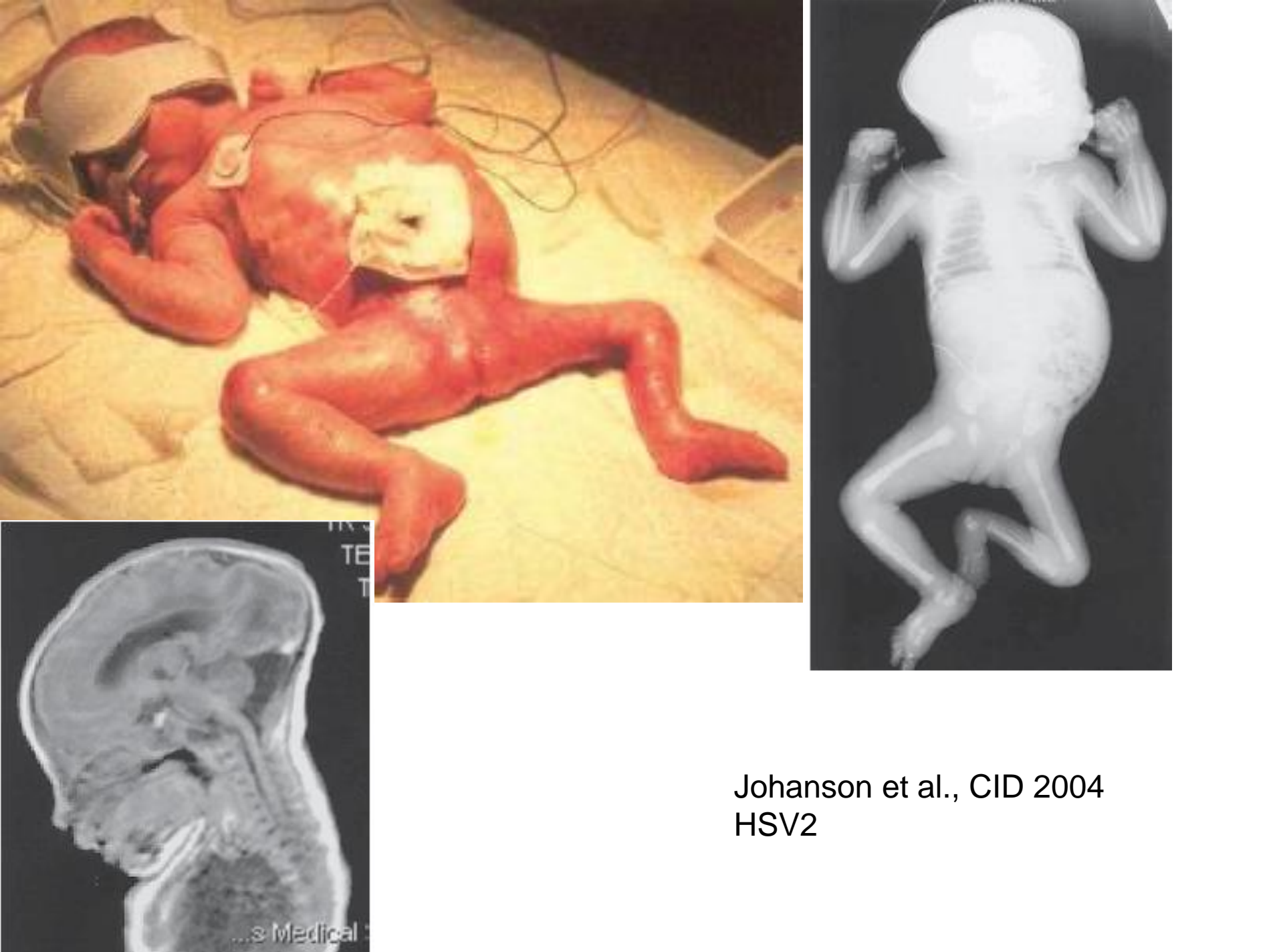
Anomalies décrites à l'échographie

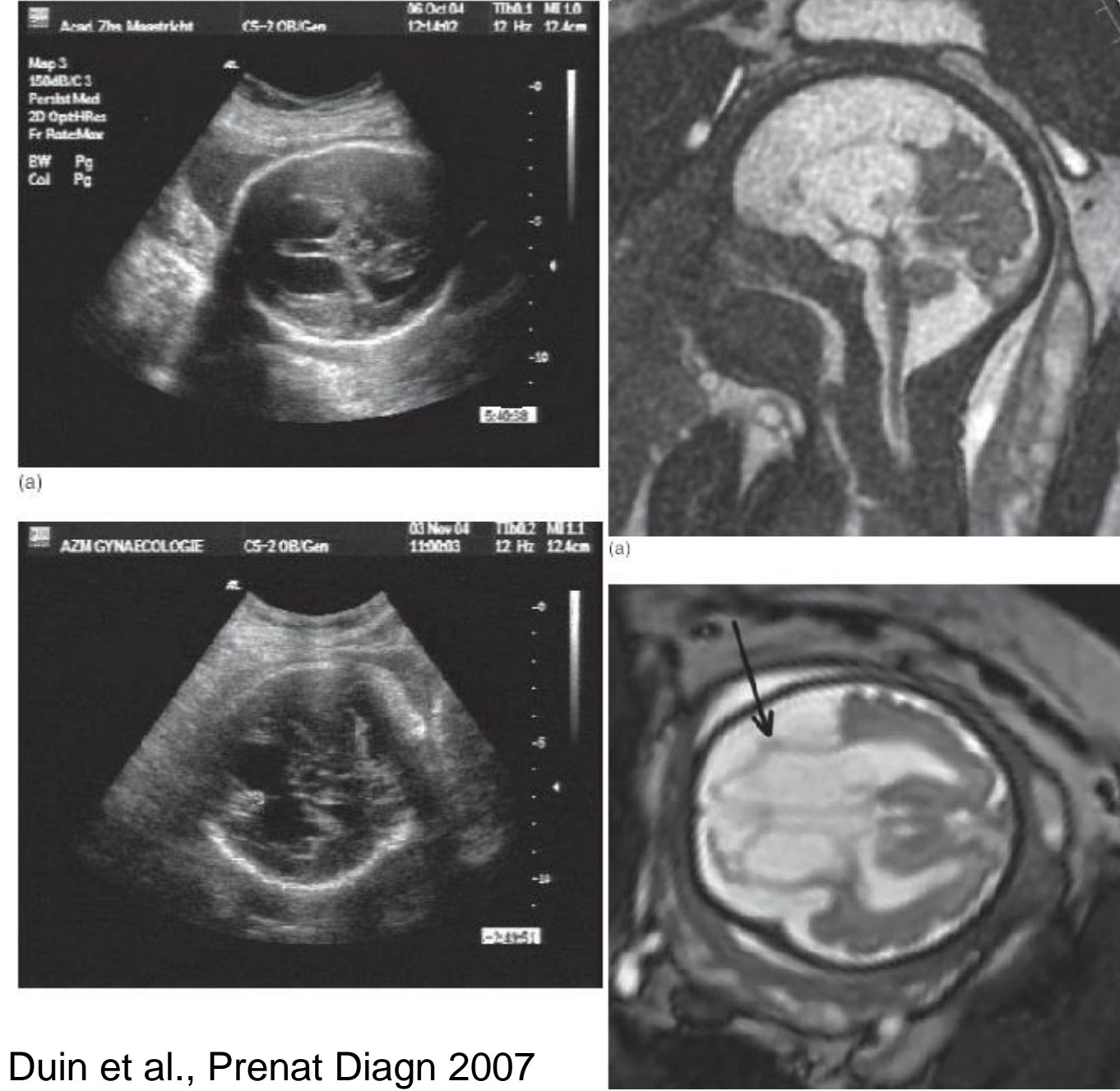
| | | Nbe Cas | Type HSV | Symptôme s maternels | Т | RCIU | VMG | A CC | poren cephali e | micro cephali e | Micro phtalmie | IH E | Myocard e HE | Foie HE | MFIU | Hypoplasi e membre | | Peau |
|-------------------|------|------------|-------------|----------------------------|----|------|-----|---------|-----------------------|-----------------------|-------------------|---------|-----------------|------------|------|-----------------------|---|------|
| Curtin et al., | 2013 | 1 | 2 | 0 | | 1 | | | | | | 1 | 1 | 1 | 1 | | | |
| Diguet et al., | 1996 | 1 | 1 | 1 | T1 | 1 | | | | | | 1 | | | | | 1 | 1 |
| Johansson et al., | 2004 | 1 | 2 | 0 | | 1 | | | | | | | | | | 1 | | |
| Duin et al., | 2007 | 1 | 2 | 1 | T1 | 1 | 1 | | 1 | 1 | | | | | | | | |
| Mitra et al., | 2004 | 1 | 2 | 1 | T1 | | 1 | | | | | | 1 | | | | | |
| Parish et al., | 2003 | 1 | 2 | 0 | | | 1 | | 1 | | | | | | | | | |
| Hoppen et al., | 2001 | 1 | 2 | 1 | T2 | 1 | 1 | | | 1 | 1 | | | | | | | |
| Jarayam et al., | 2010 | 1 | 2 | 0 | | | 1 | 1 | | | | | | | | | | |
| Carola et al., | 2014 | 2 | | | | | | | | | | | | | 1 | 1 | | |
| | | 10 | | 4 | | 5 | 5 | 1 | 2 | 2 | 1 | 2 | 2 | 1 | 2 | 2 | 1 | 1 |

Anomalies décrites en post natal

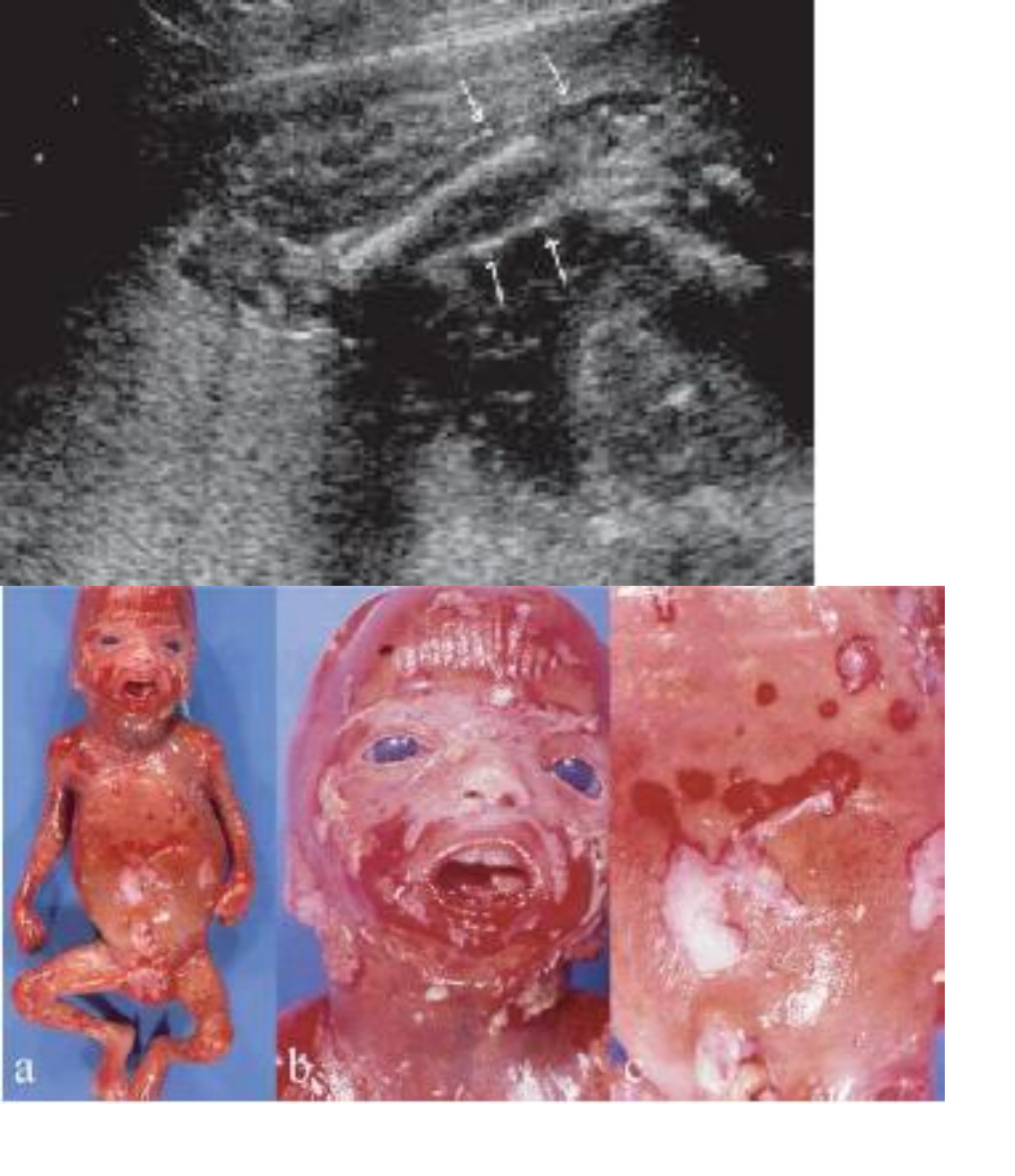
| | | Nbe Cas | Type HSV | Symptom es maternels | Trimestr e | chorio retinite | micro phtalmi e | hydro cephalie | por encephali e | hypoplasie cerebelleu se | hydranen cephalie | Foie nécrose | Peau | hypoplasie de membres |
|---------------------|------|---------|-------------|----------------------------|---------------|--------------------|-----------------------|-------------------|-----------------------|--------------------------------|----------------------|-----------------|------|--------------------------|
| Lanouette et al., | 1996 | 1 | | 0 | NC | | | | | | | | | |
| Hutto et al., | 1987 | 13 | 2 | 7 | NC | 8 | 2 | 7 | | | 5 | | 12 | |
| Lee et al., | 2003 | 1 | 2 | 1 | T2 | | | | | | | | | |
| Johansson | 2004 | 1 | 2 | 0 | NC | 1 | | 1 | 1 | 1 | | 1 | 1 | 1 |
| Carola et al., | 2014 | 1 | 2 | 0 | NC | | | | | | | | 1 | 1 |
| Suh et al., | 1987 | 1 | 2 | 0 | NC | | | 1 | 1 | | | 1 | 1 | |
| Vasileiadis et al., | 2003 | 1 | | 1 | Т3 | | | 1 | 1 | | | | | |
| | | 19 | | 9 | 0 | 9 | 2 | 10 | 3 | 1 | 5 | 2 | 15 | 2 |







Duin et al., Prenat Diagn 2007 HSV2



Diguet et al., Prenat Diagn 2006 HSV1

Recos CNGOF 2017

Les fœtopathies herpétiques sont exceptionnelles et peuvent être dues à des infections primaires comme non primaires, à HSV 1 ou 2, en présence ou non de symptômes maternels (NP4).

Il n'y a pas d'argument pour recommander une prise en charge spécifique de diagnostic anténatal en cas d'infection herpétique pendant la grossesse

(Accord Professionnel)

Fœtopathies infectieuses: Quoi d'autre?











Virus de choriomeningite lymphocytaire (LCMV)

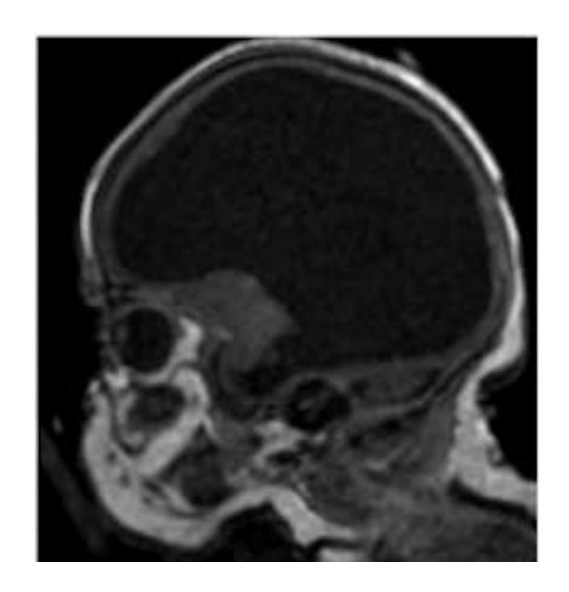
Arena virus transmis par les souris (virus à ARN)

Transmission aérienne

100 cas décrits dans la littérature

Virus a tropisme cérébral

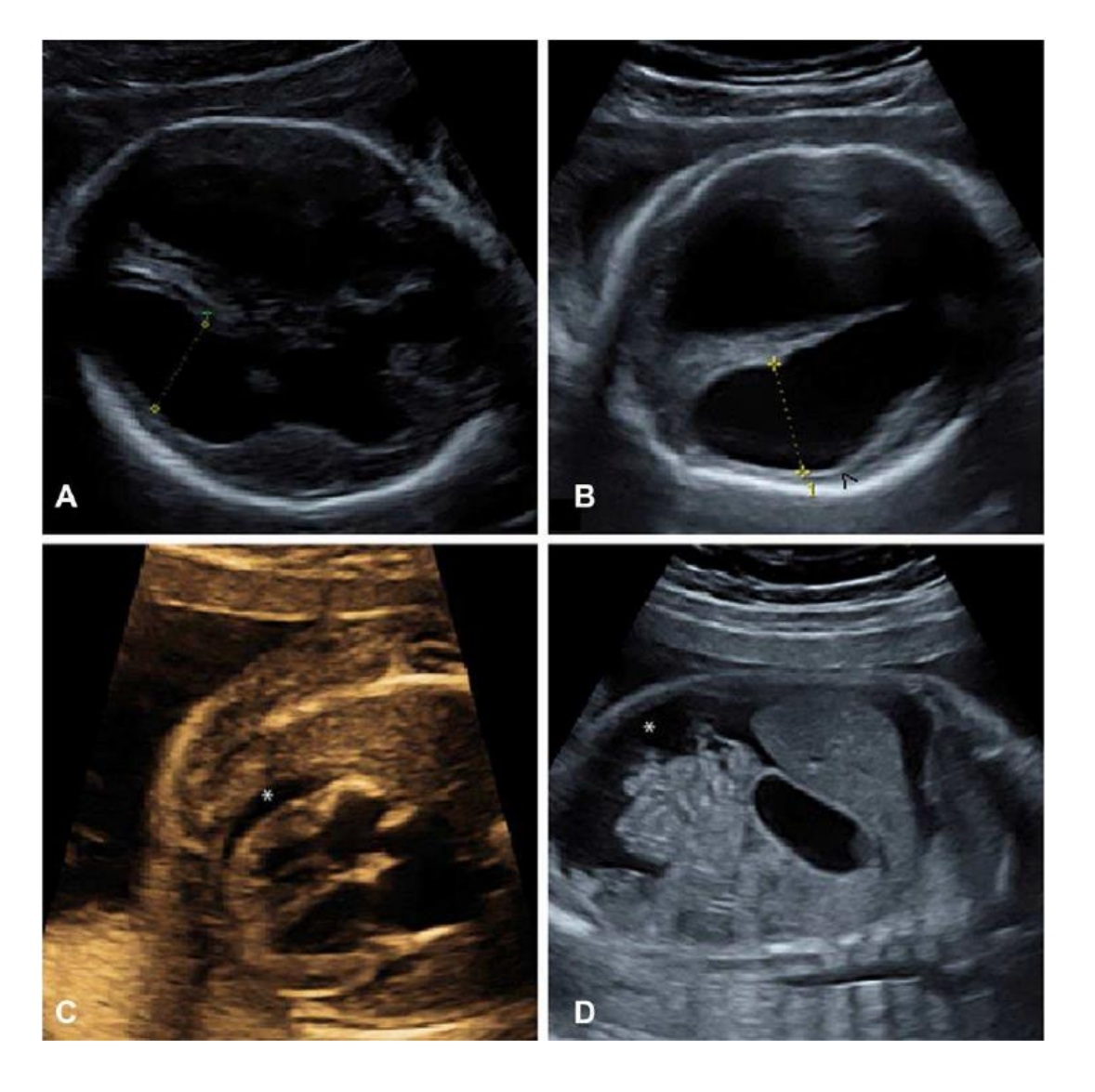
Y penser après exclusion des autres causes de tableau infectieux-like



Chastel et al, Nouv Presse Med 1978: Lyon: 1/34 hydrocephalies!

Anderson et al., J Chil Neurodev 2014

23SA



Delaine et al., J Ultrasound Med 2017

Syndrome grippal 2 mois avant l'écho

Pic systolique : 1,98mom: Suspicion de PVB19

Sérologies: VZV+, PB19-, Rub-, Toxo -, Syphilis -

Amnio: 46, XY

PSF: 9,3g

Recherche LCMV: +

Syphilis

Transmission Materno-Foetale

En l'absence de traitement: 30 à 60%

90% en cas d'infection récente

10% si ancienne

Risque quasi Nul si patiente Traitée++++

Chez le Fœtus

Spirochétémie

Hépatomégalie++ Nathan et al., JUM 1993 Splénomegalie Placentomegalie Anasarque Anémie (TIU) **MFIU** Prématurité (30%)

Chen et al., JOGC 2010

St Laurent du Maroni, Guyane: 85 cas

| PPN | pas d'attte Fœtale:56 25% | Atteinte Fœtale:29 34.5% |
|-------------|------------------------------|--------------------------|
| Prématurité | 8.9% | 37.9%* |
| MFIU | 0 | 55.2%* |

*p<0.001 G Carles, JGOBR 2008

Guyane

Echographie: 14 patientes

RCIU
Oligoamnios
Placentomegalie
Anasarques
Intestin hyperechogène
Microcéphalie



TABLE 3
Suggested nomograms for sonographic markers of fetal syphilis 90-94

| Structure/component | Nomogram for reference | Definition of abnormal |
|--|--|--|
| Liver length | Vintzileos et al ⁹⁰ | Hepatomegaly defined as liver length >95th percentile for EGA |
| Placental thickness | Hoddick et al ⁹¹ | Placental thickness > 2 SD for EGA |
| MCA Doppler | Mari et al ⁹² | MCA >1.5 MoM |
| Amniotic fluid index | Moore and Cayle ⁹³ | >250 mm |
| Evaluation for ascites or gross hydrops | Society for Maternal-Fetal Medicine et al ⁹⁴ | Ascites: free fluid within fetal abdominal cavity Hydrops: ≥2 cavities with abnormal fluid collections |

EGA, estimated gestational age; MCA, middle cerebral artery; MoM, multiples of median.

Rac. Syphilis during pregnancy. Am J Obstet Gynecol 2016.

TABLE 4

Treatment of syphilis during pregnancy according stage of disease¹¹

| Stage of syphilis | Treatment |
|--|---|
| Primary syphilis | BPG 2.4 million U IM once |
| Secondary syphilis | |
| Early latent syphilis | Some evidence suggests that additional therapy is beneficial for pregnant women; for women who have primary, secondary, or early latent syphilis, second dose of BPG 2.4 million U IM can be administered 1 wk after initial dose (total 4.8 million U) |
| Late latent syphilis Syphilis of unknown duration | BPG 7.2 million U total, administered as 3 doses of 2.4 million U IM each at 1-wk intervals |
| Tertiary syphilis | |
| Neurosyphilis | Aqueous crystalline penicillin G 18—24 million U/d, administered as 3—4 million U OV every 4 h or continuous infusion, for 10—14 d |

BPG, benzathine penicillin G; IM, intramuscular.

Rac. Syphilis during pregnancy. Am J Obstet Gynecol 2016.

Conclusion

Dépistage +++ / Groupes à risques

Traitement+++: attention réaction d'Herxheimer+++ (MFIU++)

Y Penser devant anomalie écho / Gpe à Risque

Autres MST++++

Enterovirus

Entérovirus = 1 milliard d'infections / an, enfants <15 ans

Tableaux cliniques variables

fièvre

syndrome grippal

méningite

diarrhée, une conjonctivite

éruption cutanée (exanthème, syndrome pieds-mains-bouche, herpangine) myocardite, péricardite, méningite aseptique, encéphalite

Soudée et al., Arch Ped 2014; Gilberty Med J Aust

2002

Pour quelles complications obstétricales?

Foetopathies à Enterovirus

Moss et al., Br Med J 1967

RCIU sévère isolé

Naissance 30SA, 700g

Bryce et al., J Inf 1988

Tableau le plus fréquent

Cardiomyopathie, épanchements des séreuses, hydramnios....

Dommergues et al., Fetal Diagn Therap 1994

Tassin et al., J Clin Virol 2014

Bonin et al., J Clin Virol 2015

MFIU Johansson et al., Scand J Infect Dis 1992

Tassin et al., J Clin Virol 2014

Yu et al., Pediatr Dev Pathol. 2015

Ventriculomégalie Dommergues et al., Fetal Diagn Therap 1994

Hypolasie pulmonaire Tassin et al., J Clin Virol 2014

Eruption cutanée Sauerbrei et al., Infection 2000

Conclusions

Enterovirus:

Probable cause sous estimée de complications obstétricales

Complications néonatales+++

Y penser++

Prise en charge??

Leptospirose

Spirochète présent dans les secrétions et les urines d'animaux (rats,...)

Présent dans les eaux souillées

responsable de FCS, MFIU

Shaked et al., Clin Inf Dis 1993, Carles J Gyn Obstet Gynecol 1995

50 mortalité (FCS, MFIU), Pas de séquelles, Pas de malformations

Tuberculose

Pas de description de sémiologie anténatale

Plusieurs cas décrits, mais chez les enfants

Diagnostic différentiel de MAKP

Kumar et al., Indian Pediatr 2014

Miliaire en Rx Thorax

Lésions nodulaires hépatiques, spléniques et retro péritonéales

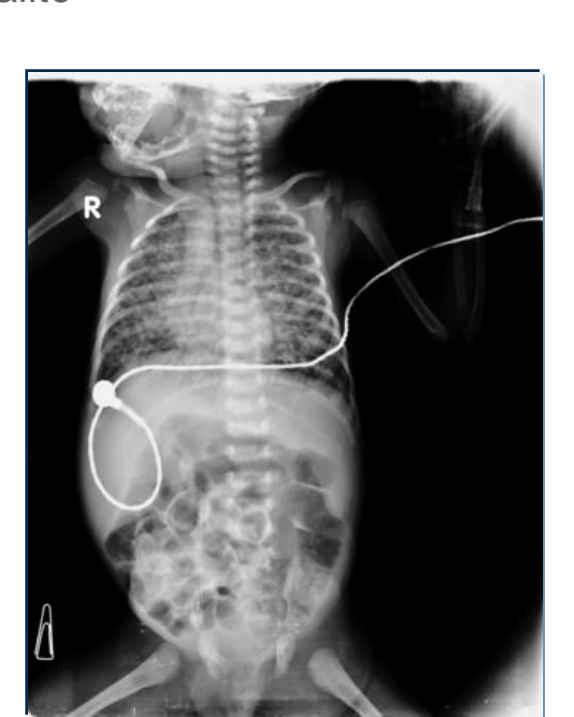
50% mortalité

Ascite

Dewan et al., paediatr Int Chid Health, 2014

Chakrabarti et al., Arch Dis Fetal Neonat, 2014

Lee et al., Jpn J Radiol 2013



Echo des maladies infectieuses

Differents contextes:

Dépistage échographique

À Partir d'une anomalie, évoquer une maladie infectieuse

Infection maternelle (Toxo, CMV, VZV, Parvo)

Surveillance: Échographie diagnostique /15j jusqu'à l'accouchement

Évolutivité+++

Signes non spécifiques

3D mode TUI++++, Voie vaginale





Cette image correspond à

une bride intra ventriculaire



une zone de porencephalie

ne se voit que dans le CMV

est de bon pronostic

